

**UNIVERSIDAD NACIONAL
TORIBIO RODRÍGUEZ DE MENDOZA DE AMAZONAS**



**FACULTAD DE INGENIERÍA CIVIL Y AMBIENTAL
ESCUELA PROFESIONAL DE INGENIERÍA CIVIL**

**TESIS PARA OBTENER EL TÍTULO PROFESIONAL
DE INGENIERO CIVIL**

**PRECISIÓN DE LA FOTOGRAMETRÍA AÉREA Y LA
ESTACIÓN TOTAL EN LA GENERACIÓN DE UN
MODELO DE ELEVACIÓN DIGITAL, CARRETERA DEL
FUNDO BOCANEGRA - CHACHAPOYAS - AMAZONAS**

**Autor : Bach. Jorge Soto Pulce
Asesores : Ing. Jhonsy Omar Silva López
Ing. Rolando Salas López**

Registro:

CHACHAPOYAS - PERÚ

2023

AUTORIZACIÓN DE PUBLICACIÓN DE LA TESIS EN EL REPOSITORIO INSTITUCIONAL DE LA UNTRM



ANEXO 3-H

AUTORIZACIÓN DE PUBLICACIÓN DE LA TESIS EN EL REPOSITORIO INSTITUCIONAL DE LA UNTRM

1. Datos de autor 1

Apellidos y nombres (tener en cuenta las tildes): SOTO PULCE JORGE
DNI N°: 74469725
Correo electrónico: 744697252@untrm.edu.pe
Facultad: INGENIERIA CIVIL Y AMBIENTAL
Escuela Profesional: INGENIERIA CIVIL

Datos de autor 2

Apellidos y nombres (tener en cuenta las tildes): _____
DNI N°: _____
Correo electrónico: _____
Facultad: _____
Escuela Profesional: _____

2. Título de la tesis para obtener el Título Profesional "PRECISION DE LA FOTOMETRIA AEREA Y LA ESTADION TOTAL EN LA GENERACION DE UN MODELO DE ELEVACION DIGITAL CORRECTORA DEL FUNDO BOLANEGRA - CHACHAPOYAS - AMAZONAS.

3. Datos de asesor 1

Apellidos y nombres: SILVA LOPEZ JHONSY OMAR
DNI, Pasaporte, C.E N°: 74661518
Open Research and Contributor-ORCID (<https://orcid.org/0000-0002-9670-0970>) <https://orcid.org/0000-0002-2618-7526>

Datos de asesor 2

Apellidos y nombres: SALAS LOPEZ ROLANDO
DNI, Pasaporte, C.E N°: 42670675
Open Research and Contributor-ORCID (<https://orcid.org/0000-0002-9670-0970>) <https://orcid.org/0000-0003-2184-6761>

4. Campo del conocimiento según la Organización para la Cooperación y el Desarrollo Económicos- OCDE (ejemplo: Ciencias médicas, Ciencias de la Salud-Medicina básica-Inmunología)

https://catalogos.concytec.gob.pe/vocabulario/ocde_ford.html
1.05.00 - Ciencias de la tierra, Ciencias Ambientales / 105.08 - Ciencias del Medio Ambiente

5. Originalidad del Trabajo

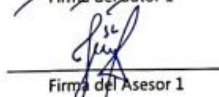
Con la presentación de esta ficha, el(la) autor(a) o autores(as) señalan expresamente que la obra es original, ya que sus contenidos son producto de su directa contribución intelectual. Se reconoce también que todos los datos y las referencias a materiales ya publicados están debidamente identificados con su respectivo crédito e incluidos en las notas bibliográficas y en las citas que se destacan como tal.

6. Autorización de publicación

El(los) titular(es) de los derechos de autor otorga a la Universidad Nacional Toribio Rodríguez de Mendoza de Amazonas (UNTRM), la autorización para la publicación del documento indicado en el punto 2, bajo la *Licencia creative commons* de tipo BY-NC: Licencia que permite distribuir, remezclar, retocar, y crear a partir de su obra de forma no comercial por lo que la Universidad deberá publicar la obra poniéndola en acceso libre en el repositorio institucional de la UNTRM y a su vez en el Registro Nacional de Trabajos de Investigación-RENATI, dejando constancia que el archivo digital que se está entregando, contiene la versión final del documento sustentado y aprobado por el Jurado Evaluador.

Chachapoyas, 28 de marzo de 2023


Firma del autor 1


Firma del Asesor 1

Firma del autor 2


Firma del Asesor 2

DEDICATORIA

A MI FAMILIA

Antípina Pulce Mosqueda y German Soto Fernández, mis padres, gracias a su sacrificio y consejos han hecho posible mi formación y realización profesional y a mis herman@s, que siempre estuvieron animándome para seguir adelante y no rendirme ante los obstáculos en mi esta de formación profesional.

A MIS AMIGOS

Para mis amigos, amigas y compañer@s hoy en día colegas de esta carrera profesional a todas aquellas personas, que alguna vez me brindaran su amistad, el simple hecho de haberlos conocido en alguna circunstancia de mi trajín en este mundo.

AGRADECIMIENTO

A los asesores, Ing. Jhonsy Omar Silva López y Ing. Rolando Salas López, porque brindarme las facilidades para la ejecución de esta tesis, confianza, paciencia y tiempo para dotar del conocimiento práctico y científico en fotogrametría aérea mediante Sistema Aéreo No Tripulado (UAS o “drone”).

A los docentes y miembros del jurado, Dr. Jorge Alfredo Hernández Chávarry, Mg. Nilton Beltrán Rojas Briceño e Ing. Mónica del Pilar Torrejón Llaja, por sus aportes y recomendaciones al proyecto de tesis, informe inicial e informe final, dando la oportunidad de aclarar las ideas y presentarlas en un lenguaje fácil de comprensión para cualquier lector.

**AUTORIDADES DE LA UNIVERSIDAD NACIONAL TORIBIO RODRÍGUEZ
DE MENDOZA DE AMAZONAS**

Ph.D. Jorge Luis Maicelo Quintana

Rector

Dr. Oscar Andrés Gamarra Torres

Vicerrector Académico

Dra. María Nelly Luján Espinoza

Vicerrectora de Investigación

Ph.D. Ricardo Edmundo Campos Ramos

Decano de la Facultad de Ingeniería Civil y Ambiental

VISTO BUENO DEL ASESOR 1 DE LA TESIS



UNTRM

REGLAMENTO GENERAL

PARA EL OTORGAMIENTO DEL GRADO ACADÉMICO DE BACHILLER, MAESTRO O DOCTOR Y DEL TÍTULO PROFESIONAL

ANEXO 3-L

VISTO BUENO DEL ASESOR DE TESIS PARA OBTENER EL TÍTULO PROFESIONAL

El que suscribe el presente, docente de la UNTRM (X)/Profesional externo (), hace constar que ha asesorado la realización de la Tesis titulada "PRECISION DE LA FOTOMETRIA DERECHA Y LA ESTACION TOTAL EN LA GENERACION DE UN MODELO DE ELEVACION DIGITAL, CARRETERA FONDO BOCANEGRA - CHACHAPOYAS - AMAZONAS" del egresado JORGE SOTO PULCE de la Facultad de Ingeniería Civil y Ambiental - FIUAM Escuela Profesional de Ingeniería Civil de esta Casa Superior de Estudios.

El suscrito da el Visto Bueno a la Tesis mencionada, dándole pase para que sea sometida a la revisión por el Jurado Evaluador, comprometiéndose a supervisar el levantamiento de observaciones que formulen en Acta en conjunto, y estar presente en la sustentación.

Chachapoyas, 16 de Febrero de 2023

Firma y nombre completo del Asesor

Rolando Salas López



VISTO BUENO DEL ASESOR 2 DE LA TESIS



UNTRM

REGLAMENTO GENERAL
PARA EL OTORGAMIENTO DEL GRADO ACADÉMICO DE
BACHILLER, MAESTRO O DOCTOR Y DEL TÍTULO PROFESIONAL

ANEXO 3-L

VISTO BUENO DEL ASESOR DE TESIS PARA OBTENER EL TÍTULO PROFESIONAL

El que suscribe el presente, docente de la UNTRM (X)/Profesional externo (), hace constar que ha asesorado la realización de la Tesis titulada "PRECISIÓN DE LA FOTOMETRÍA AEREA Y LA ESTUDIO TOTAL EN LA GENERACION DE UN MODELO DE EVOLUCIÓN DIGITAL, CARRETERA FONDO BOLDNEGRA - CHACHAPOYAS - AMAZONAS; del egresado JORGE SOTO PULCE de la Facultad de Ingeniería Civil y Ambiental - FICIAM Escuela Profesional de Ingeniería Civil de esta Casa Superior de Estudios.



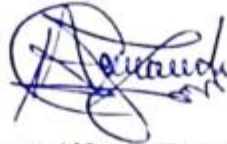
El suscrito da el Visto Bueno a la Tesis mencionada, dándole pase para que sea sometida a la revisión por el Jurado Evaluador, comprometiéndose a supervisar el levantamiento de observaciones que formulen en Acta en conjunto, y estar presente en la sustentación.

Chachapoyas, 16 de Febrero de 2023

Firma y nombre completo del Asesor


Johnny O. Silva López

JURADO CALIFICADOR



Dr. Jorge Alfredo Hernández Chávarry
Presidente



Ing. Mónica del Pilar Torrejón Llaja
Secretario



Mg. Nilton Beltrán Rojas Briceño
Vocal

CONSTANCIA DE ORIGINALIDAD DE LA TESIS



ANEXO 3-Q

CONSTANCIA DE ORIGINALIDAD DE LA TESIS PARA OBTENER EL TÍTULO PROFESIONAL

Los suscritos, miembros del Jurado Evaluador de la Tesis titulada: "PRECISION DE LA FOTODIOMETRIA AEREA Y ESTACION TOTAL EN LA GENERACION DE UN MODELO DE ELEVACION DIGITAL, CARRETERA FONDO BUCANEGRA, CHACHAPOYAS-AMAZONAS" presentada por el estudiante () /egresado (X) JORGE SOTO PULCE de la Escuela Profesional de INGENIERIA CIVIL con correo electrónico institucional 7446972552@untrm.edu.pe después de revisar con el software Turnitin el contenido de la citada Tesis, acordamos:

- a) La citada Tesis tiene 12 % de similitud, según el reporte del software Turnitin que se adjunta a la presente, el que es menor (X) / igual () al 25% de similitud que es el máximo permitido en la UNTRM.
- b) La citada Tesis tiene _____ % de similitud, según el reporte del software Turnitin que se adjunta a la presente, el que es mayor al 25% de similitud que es el máximo permitido en la UNTRM, por lo que el aspirante debe revisar su Tesis para corregir la redacción de acuerdo al Informe Turnitin que se adjunta a la presente. Debe presentar al Presidente del Jurado Evaluador su Tesis corregida para nueva revisión con el software Turnitin.



Chachapoyas, 06 de marzo del 2023

[Signature]
SECRETARIO

[Signature]
VOCAL

[Signature]
PRESIDENTE

OBSERVACIONES:

.....
.....

ACTA DE SUSTENTACIÓN DE TESIS



ANEXO 3-5

ACTA DE SUSTENTACIÓN DE TESIS PARA OBTENER EL TÍTULO PROFESIONAL

En la ciudad de Chachapoyas, el día 15 de MARZO del año 2023, siendo las 18:30 horas, el aspirante: JORGE SOTO PULCE, asesorado por ING. JHONSY OMAR SILVA LOPEZ ING. ROLANDO SALAS LOPEZ defiende en sesión pública presencial (x) / a distancia () la Tesis titulada: PRECISIÓN DE LA FOTOGRAFÍA AEREA Y LA ESTACIÓN TOTAL EN LA GENERACIÓN DE UN MODELO DE ELEVACIÓN DIGITAL, CARRETERA DEL FUNDO BOCANEGRA - para obtener el Título Profesional de INGENIERO CIVIL a ser otorgado por la Universidad Nacional Toribio Rodríguez de Mendoza de Amazonas; ante el Jurado Evaluador, constituido por:

Presidente: Dr. JORGE ALFREDO HERNÁNDEZ CHAVARRY

Secretario: Ing. MONICA DEL PILAR TORRESON LLAZA

Vocal: Ing. NILTON BELTRÁN ROSAS BRICEÑO

Procedió el aspirante a hacer la exposición de la Introducción, Material y métodos, Resultados, Discusión y Conclusiones, haciendo especial mención de sus aportaciones originales. Terminada la defensa de la Tesis presentada, los miembros del Jurado Evaluador pasaron a exponer su opinión sobre la misma, formulando cuantas cuestiones y objeciones consideraron oportunas, las cuales fueron contestadas por el aspirante.

Tras la intervención de los miembros del Jurado Evaluador y las oportunas respuestas del aspirante, el Presidente abre un turno de intervenciones para los presentes en el acto de sustentación, para que formulen las cuestiones u objeciones que consideren pertinentes.

Seguidamente, a puerta cerrada, el Jurado Evaluador determinó la calificación global concedida a la sustentación de la Tesis para obtener el Título Profesional, en términos de:

Aprobado (x) por Unanimidad (x) / Mayoría () Desaprobado ()

Otorgada la calificación, el Secretario del Jurado Evaluador lee la presente Acta en esta misma sesión pública. A continuación se levanta la sesión.

Siendo las 19:50 horas del mismo día y fecha, el Jurado Evaluador concluye el acto de sustentación de la Tesis para obtener el Título Profesional.


SECRETARIO


VOCAL


PRESIDENTE

OBSERVACIONES:

CONTENIDO

AUTORIZACIÓN DE PUBLICACIÓN DE LA TESIS EN EL REPOSITORIO INSTITUCIONAL DE LA UNTRM.....	ii
DEDICATORIA.....	iii
AGRADECIMIENTO	iv
AUTORIDADES DE LA UNIVERSIDAD NACIONAL TORIBIO RODRÍGUEZ DE MENDOZA DE AMAZONAS.....	v
VISTO BUENO DEL ASESOR 1 DE LA TESIS.....	vi
VISTO BUENO DEL ASESOR 2 DE LA TESIS.....	vii
JURADO CALIFICADOR.....	viii
CONSTANCIA DE ORIGINALIDAD DE LA TESIS	ix
ACTA DE SUSTENTACIÓN DE TESIS.....	x
CONTENIDO	xi
ÍNDICE DE TABLAS	xiii
ÍNDICE DE FIGURAS.....	xiv
RESUMEN	xv
ABSTRACT	xvi
I. INTRODUCCIÓN.....	17
II. MATERIALES Y MÉTODOS	21
2.1. Área de estudio.....	21
2.2. Variables de estudio	22
2.3. Equipos.....	23
2.4. Procedimiento metodológico.....	24
2.5. Caracterización del área de estudio y establecimiento de puntos de control de orden C.25	
1.6.1. Levantamiento topográfico con estación total (ST) y generación de MED.....	27
1.6.2. Levantamiento fotogramétrico con Sistema Aéreo No Tripulado (UAS) y generación de MED.....	30
1.7. Evaluación de la de precisión de los MED mediante datos estadísticos.....	33
III. RESULTADOS	34
3.1. Caracterización del área de estudio y establecimiento de puntos de control de orden C.34	

3.2.1.	Modelo de Elevación Digital (MED) basado en datos de estación total (ST)	35
3.2.2.	Modelo de Elevación Digital (MED) basado en datos de Sistema Aéreo No Tripulado (UAS) – Modo RTK flotante	36
3.2.3.	Modelo de Elevación Digital (MED) basado en datos de Sistema Aéreo No Tripulado (UAS) – Modo RTK con GCP.....	36
3.3.	Evaluación de la precisión de los MED mediante datos estadísticos	40
IV.	DISCUSIÓN.....	43
V.	CONCLUSIONES	45
VI.	REFERENCIAS BIBLIOGRÁFICAS	46
	ANEXOS.....	52
	Anexo 1. Establecimiento de puntos de control de orden C.	52
	Anexo 2. Levantamiento y análisis de datos del estudio topográfico y fotogramétrico	53
	Anexo 3. Ejemplo de resultados de procesamiento de un punto de Orden “C” en el software Trimble Business Center y data base del IGN.....	57
	Anexo 4. Reporte de procesamiento fotogramétrico del levantamiento en modo RTK flotante. 67	
	Anexo 5. Reporte de procesamiento fotogramétrico del levantamiento en modo RTK con GCP. 74	
	Anexo 6. Registro de 1314 puntos obtenidos en campo mediante una Estación Total Trimble M3 81	
	Anexo 7. Doce imágenes fotogramétricas representativas de las 2127 capturadas en campo con el UAS Phantom 4 RTK.....	109

ÍNDICE DE TABLAS

Tabla 1. Operacionalización de variables	22
Tabla 2. Parámetros de vuelo del UAS.....	30
Tabla 3. Coordenadas de los puntos de control.....	34
Tabla 4. Errores del MED basado en datos de UAS – Modo RTK flotante.....	36
Tabla 5. Errores del MED basado en datos de UAS – Modo RTK con GCP.....	40
Tabla 6. Estadísticos descriptivos de la elevación de los MED.....	41
Tabla 7. Comparación de la elevación de los MED _{UAS} respecto al MED _{ST}	42

ÍNDICE DE FIGURAS

Figura 1. Ubicación la carretera que articula la ciudad de Chachapoyas con el camal municipal.	22
Figura 2. Estación Total Trimble M3 2" y UAS DJI Phantom 4 RTK.....	23
Figura 3. GNSS diferencial Trimble R10.	24
Figura 4. Proceso metodológico del estudio.....	25
Figura 5. Proceso metodológico del establecimiento de puntos de control de orden C.25	
Figura 6. Levantamiento con GNSS diferencial en monumento de punto de orden "C" por el método estático.	26
Figura 7. Línea base de procesamiento de datos para puntos de orden "C".....	27
Figura 8. Proceso metodológico del levantamiento topográfico con estación total (ST).	28
Figura 9. Ámbito de levantamiento con ST y ubicación de los ocho GCP.	29
Figura 10. Proceso metodológico del levantamiento fotogramétrico con Sistema Aéreo No Tripulado (UAS).	31
Figura 11. Armado de base RTK y del equipo UAS del Phantom4RTK para el levantamiento fotogramétrico.	32
Figura 12. DISTRIBUCIÓN de los puntos de control EN EL FUNDO BOCANEGRA.	345
Figura 13. MED generado a partir de datos de Estación Total (ST).	37
Figura 14. MED basado en datos de Sistema Aéreo No Tripulado (UAS) – Modo RTK flotante.	38
Figura 15. MED basado en datos de Sistema Aéreo No Tripulado (UAS) – Modo RTK con GCP.	39
Figura 16. Perfil topográfico (MED _{ST}) y fotogramétrico (MED _f y MED _{GCP}).....	40
Figura 17. Diferencia en la elevación de los MED de fotogrametría con el MED de estación total.	41

RESUMEN

Los Modelos Digitales de Elevación (MED) son muy útiles para resolver diversos problemas como la planificación, evaluación de riesgos, predicciones de peligros y todo tipo de obras civiles, lo que hace que su producción precisa sea muy esencial. En esta investigación se evaluó la solidez de los MEDs producidos a partir de imágenes obtenidas de un Sistema Aéreo No Tripulado (UAS o “drone”) de modo flotante (MED_f) y con ocho Puntos de Control Geodésicos – GCP (MED_{GCP}), contrastados con el MED generado a partir de datos de una Estación Total – ST (MED_{ST}) en la carretera de fundo Bocanegra - Chachapoyas. Las imágenes fotogramétricas fueron procesadas en Agisoft PhotoScan v. 1.7.6 y los datos de ST en ArcGIS 10.8 en la generación de los MEDs con un pixel de 50 cm. Se compararon los parámetros resaltantes como el promedio, mediana, moda, rango, y desviación estándar entre MED_f , MED_{GCP} y MED_{ST} . Además, para la diferencia de los MEDs se empleó la prueba estadística t-Student ($\alpha= 0.05$). Los resultados demostraron una mayor precisión del eje vertical derivados del MED_{GCP} frente al MED_f con un error combinado de 69.1 cm en eje “z” y un R^2 de 0.999986, esto se debe al uso de los GCPs para rectificar la posición en todos los ejes del MED generado. En efecto el uso de los UAS es de gran aplicabilidad en la generación de MED y son complementarios con los datos de una estación total para la formulación, desarrollo e implementación de proyectos de obras civiles.

Palabras clave: RPAS, Estación Total, GCP, Georreferenciación, MEDs

ABSTRACT

Digital Elevation Models (DEMs) are very useful for solving various problems such as planning, risk assessment, hazard predictions and all types of civil works, which makes their accurate production very essential. In this research, the robustness of DEMs produced from images obtained from an Unmanned Aerial System (UAS or "drone") in floating mode (DEM_f) and with eight Geodetic Control Points - GCP (DEM_{GCP}) was evaluated, contrasted with the DEM generated from data from a Total Station - ST (DEM_{ST}) on the Bocanegra - Chachapoyas road. The photogrammetric images were processed in Agisoft PhotoScan v. 1.7.6 and the ST data in ArcGIS 10.8 in the generation of the DEMs with a pixel of 50 cm. The salient parameters such as mean, median, mode, mode, range, and standard deviation between DEM_f , DEM_{GCP} and DEM_{ST} were compared. In addition, the t-Student statistical test ($\alpha= 0.05$) was used for the difference of DEMs. The results showed a higher accuracy of the vertical axis derived from DEM_{GCP} versus DEM_f with a combined error of 69.1 cm in "z" axis and an R^2 of 0.999986, this is due to the use of the GCPs to rectify the position in all axes of the generated DEM. In effect, the use of UAS is of great applicability in the generation of DEMs and they are complementary to the data from a total station for the formulation, development and implementation of civil works projects.

Key words: RPAS, Total Station, GCP, Georeferencing, DEMs.

I. INTRODUCCIÓN

En los últimos años, las tecnologías aplicadas al sector construcción asociados a la topografía han evolucionado gracias a nuevos inventos de fácil acceso y amigable para el usuario final (Jaud et al., 2019). El uso de Estaciones Totales Robóticas (RTS) y Sistema Satelitales de Navegación Global (GNSS), con fines topográficos e ingenieriles es un ejemplo sin precedentes; así como productos cartográficos como los Modelos de Elevación Digital (MED). Los MED han facilitado comprender el territorio y realizar modelamiento para trabajos de ingeniería civil, agricultura, y otros (Kim et al., 2021). Por ello, entre las técnicas de fácil acceso y mayor demanda se requiere de la Estación Total (ST) y la fotogrametría aérea mediante Sistema Aéreo No Tripulado (UAS o “drone”), considerados un enfoque confiable para las aplicaciones de topografía junto a los GNSS (Kim et al., 2021).

Sin embargo, su construcción demanda de metodologías como triangulación y medida de distancias con equipos de alta precisión para recopilación de datos (El-Ashmawy, 2014; Pérez et al., 2022). En este contexto, presenta algunas limitaciones para el desarrollo de proyectos ingenieriles ya que la toma de datos en zonas de vegetación se asocian a las copas de los árboles disminuyendo las precisiones (Salas López et al., 2022; Salinas Castillo et al., 2015). Por ello, entre las técnicas de fácil acceso y mayor demanda se requiere de la ST y la fotogrametría aérea mediante UAS, considerados un enfoque confiable para las aplicaciones de topografía junto a los GNSS (Kim et al., 2021). Sin embargo, presentan limitaciones de accesibilidad un requerimiento denso de datos para interpolar información de una ST. Por otro lado, la fotogrametría aérea ofrece nuevas oportunidades al momento de captar datos, sin embargo, requiere de cierto conocimiento para procesar e interpretar esta información (Hupy & Wilson, 2021). Ambas técnicas presentan un elevado grado de modernización en la captura de datos cartográficos que facilitan el desarrollo de los MED, en eficiencia, tiempo, económicos y otros (Carvajal et al., 2019; Ajayi et al., 2018). Este estudio contempla la revisión de estudios similares a fin de abordar la problemática, y así mismo tiene la finalidad de respaldar la futura investigación.

Paredes et al. (2013) en la Universidad Autónoma de Tamaulipas, Centro Universitario Victoria, (Tamaulipas, México). Evaluaron y compararon la precisión de los MED utilizando los métodos de interpolación determinístico y probabilístico. Demostraron

que el método probabilístico Kriging with a Trend model (KT) genera MEDs más precisos que los de método de interpolación con Inverse Distance Weighting (IDW), método ANU-DEM y Ordinary Kriging (OK). Por lo tanto, no es posible establecer que los modelos probabilísticos de interpolación generen MED más precisos que el método determinístico, ya que el MED con Error Medio Cuadrático (EMC) más alto fue generado usando uno de los métodos probabilísticos OK. Sin embargo, KT generó el MED más representativo gráficamente y con la mejor precisión estadística en distintos tipos de terreno. De este modo, menciona la necesidad de elaborar otros estudios que confirmen la superioridad de KT sobre otros métodos de interpolación.

Dentro de la fotogrametría la elaboración de planos topográficos es importante para la planificación de proyectos en terrenos específicos. Sin embargo, esto puede requerir de mucho tiempo y personal especializado. Apráz Bastidas (2020) utilizó un dron DJI Mavic 2 Pro para el levantamiento fotogramétrico, lo que permitió reducir el tiempo y las mediciones necesarias en campo. Utilizó un software Agisoft Metashape y Pix4D para procesar las imágenes obtenidas y se evaluó el error de la corrección con el uso de un GPS y un equipo RTK. Finalmente, se desarrolló una herramienta computacional en el software QGIS para obtener los planos topográficos del área de estudio. El RMS obtenido fue de un error de 0.350 m con el GPS, y un error de 0.022 m con el equipo RTK.

Por otro lado, Sharma et al. (2021) emplearon los datos LiDAR para generar un MED de alta resolución, que es uno de los datos principales para la mayoría de las aplicaciones de teledetección. Asimismo, usaron puntos de control terrestre para mejorar las presiones de los MED, con una densidad de 1.02 puntos en el terreno por metro cuadrado, teniendo como referencia puntos tomados en campo con una ST. Concluyeron que en todos los estudios evaluados sobre la exactitud vertical de la nube de puntos cumple con las especificaciones publicitadas por los proveedores de datos Lidar, ya que el EMC observado no superó los 0.150m a excepción de los casos IDW 48 y KT 06. Sin embargo, al aplicar métodos con tamaño de terreno apropiado, el EMC vertical de la nube de puntos fue estimado en la región de los 0.069m para áreas con cambios gentiles de topografía y escasa vegetación; en 0.111m para terrenos con cambios constantes de topografía en distancias cortas y vegetación densa; y con 0.100 m para terrenos mixtos.

De manera similar Svenson, G. (2016), evaluó la fotogrametría UAS como una herramienta para monitorear el progreso de producción de obras de ingeniería civil. El autor adaptó un UAS para la fotogrametría aérea y comparó la precisión de las mediciones con la estación total y el escaneo láser terrestre. Los resultados demostraron que la fotogrametría aérea fue de 4 a 8 veces más eficiente que los métodos convencionales (sin uso de puntos de control) y tuvo una precisión de 9 mm. La desviación media fue de 9 mm para la zona plana y 14 a 30 mm para las zonas montañosas. Sin embargo, existen desventajas en el uso de la tecnología UAS, como la dependencia del clima y el software en desarrollo para el procesamiento de datos. En general, se sugiere que la fotogrametría UAS tiene potencial para mejorar la eficiencia y precisión en la industria de la construcción y la ingeniería civil, pero se requiere más investigación y desarrollo.

Para la fotogrametría aérea Bühler et al. (2016) emplearon UAS para tomar imágenes de la capa de nieve en terrenos alpinos con fines fotogramétricos en condiciones topográficas y meteorológicas complejas. En este estudio, se investigaron la aplicabilidad y el rendimiento de la fotogrametría de estructura a partir del movimiento (SfM) basada en drones en superficies de nieve muy homogéneas en dos sitios de prueba alpinos. Se discutieron los desafíos topográficos y meteorológicos para volar drones en terrenos alpinos altos y se compararon los modelos digitales de superficie calculados a partir de imágenes en la parte visual y en el infrarrojo cercano del espectro electromagnético. Los resultados revelaron el potencial y las limitaciones de la fotogrametría SfM basada en drones, demostraron el beneficio de las imágenes en el infrarrojo cercano para mejorar la precisión y la exactitud de los resultados. Además, se evaluaron cualitativa y cuantitativamente los MED utilizando mediciones diferenciales del GNSS y escaneo láser terrestre en los sitios de prueba suizo y austriaco, respectivamente. Estos obtuvieron una precisión alrededor de 0,1 m dentro de x, y, y direcciones z.

Carrera-Hernández et al. (2020) evaluó la exactitud y precisión de datos topográficos dentro de un área construida heterogénea de casi 33 ha (entre 1899 y 1944 ms.n.m). Utilizando el método de levantamiento topográfico tradicional ST y UAS-SfM. Demostraron que los resultados del método UAS tienen mayor desviación en comparación a los resultados obtenidos con ST, lo que hace que el método sea menos

preciso; la desviación de elevación promedio y media es de 0.054 m y 0.057 m respectivamente, aunque esto parece una pérdida significativa de precisión, los levantamientos UAS presenta un método de levantamiento alternativo, barato y rápido.

Grijalba (2018), en *Robotic Air Systems*, en el departamento de Junín, Perú. Determinó los factores que intervienen en el correcto empleo de las tecnologías UAS en levantamientos fotogramétricos. Llegó a la conclusión que los Puntos de Control Geodésicos (GCP) tiene que ser todos con un GPS diferencial de sistema Real Time Kinematic (RTK) con precisión menor a 0.010 m. En cuanto a la calidad y precisión de los GCP dependerán de las especificaciones del proyecto. En cuanto a los UAS lo más óptimo para trabajar será con resoluciones de muestreo de entre 4 a 7 cm por pixel, pudiendo llegar a 10 cm/pixel si se desea optimizar el costo y sacrificar la precisión, la resolución permite generar cartografía en escala de 1/100 hasta 1/50 y las nuevas tecnologías y software permiten obtener curvas de nivel a cualquier intervalo y cota.

Manfreda et al. (2019), a 20 km al NW de Timisoara (Rumania) investigo en una presa de tierra. Estudiaron 16 GCP distribuidos a lo largo de la estructura principal de la presa, como resultados obtuvieron que, los ortomosaicos derivados de UAS puede producir una precisión plana de pocos centímetros; mientras que la precisión vertical de los MEDs siempre será menor, probablemente se deba al hecho de que en la mayoría de los UAS su cámara adopta una posición cenital que proporciona una descripción más precisa de las características planas. Además, el plan de vuelo y la cámara pueden afectar significativamente en la calidad general MED. Por ello, sugieren tener en cuenta todos los parámetros fotogramétricos necesarios para un plan de vuelo como altitud, traslape de imágenes (Pérez et al., 2022).

Mesa & Ariza (2020), en el Departamento de Ingeniería Cartográfica, Geodésica y Fotogrametría, Universidad de Jaén, España. Analizaron los métodos utilizados para evaluar la precisión de los MEDs en las últimas tres décadas. Utilizando la metodología de interpolación multi-cuadrática. demostraron que, la evaluación sigue siendo un tema abierto ya que no existen pautas específicas o estándares, pero si existe avances notables, aunque esto no es suficiente y menos desde el punto de vista de la calidad funcional y la de perspectiva de calidad. La evaluación de calidad, el procedimiento y la documentación de la calidad de los MED es un desafío para toda la comunidad geoespacial y requiere de mayor atención.

Con respecto a los estudios de investigación a nivel local, relacionados directamente con el tema propuesto anteriormente, se desconocen antecedentes publicados sobre las variables de investigación, dado que se trate de un tema antes no estudiado. Sin embargo, una reciente investigación realizada por Salas et al. (2022) ha demostrado la importancia de la evaluación de productos fotogramétricos mediante diferentes sistemas de registro de datos (RTK, PPK) y empleo de GCP. En este sentido existe la necesidad de evaluar a mayor detalle los MED como producto fundamental para posteriores trabajos ingenieriles.

La presente investigación tuvo como objetivo evaluar la fotogrametría aérea con un UAS y un levantamiento topográfico con ST en la generación de un MED, en la carretera del fundo Bocanegra - Chachapoyas – Amazonas. Por ello, *i*) se caracterizó el área de estudio para el establecimiento de puntos de control (GCP), *ii*) se generó los MEDs mediante el proceso fotogramétrico aéreo y de estación total y *iii*) se evaluó la precisión los MEDs generados mediante estadísticos. En efecto, este estudio permitió evaluar la precisión de ambas técnicas en la generación de MEDs, según las necesidades y/o requerimientos en la toma de decisiones para obras civiles.

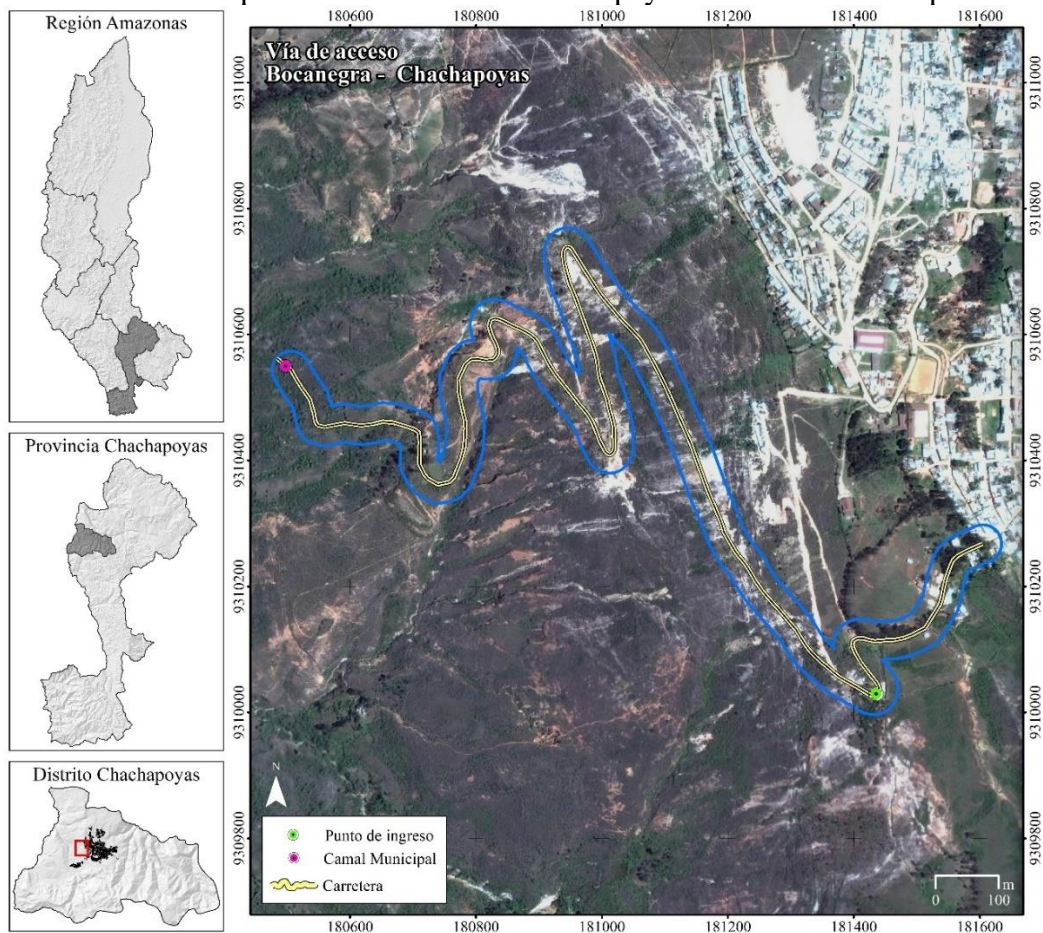
II. MATERIALES Y MÉTODOS

2.1. Área de estudio

El estudio se llevó a cabo en la carretera que articula la ciudad de Chachapoyas con el camal municipal ubicado en el fundo Bocanegra, lado oeste de la ciudad de Chachapoyas, distrito y provincia Chachapoyas, región Amazonas (Figura 1). De acuerdo con SENAMHI (2021), la temperatura ambiente está en los 21°C, pero en los meses de junio – noviembre también puede variar entre los 8°C como mínimo y puede alcanzar los 26°C, como máximo y con presencias de corrientes de viento moderado por las tardes.

Figura 1.

Ubicación la carretera que articula la ciudad de Chachapoyas con el camal municipal.



2.2. Variables de estudio

Para el presente estudio se tuvo en consideración las variables de Modelo de Elevación Digital (MED) del levantamiento fotogramétrico y topográfico, dimensiones e indicadores que se aprecian en la Tabla 1.

Tabla 1.

Operacionalización de variables

Variable	Definición	Dimensión	Indicador
Modelo de Elevación Digital (MED)	Representación digital del relieve terrestre, permite caracterizar la forma del terreno y los objetos y/o elementos que presenta (Saiz Rodríguez et al., 2017).	Elevación	m s.n.m.

Levantamiento fotogramétrico	Técnica que se utiliza para medir y reconstruir la forma del terreno en 3D generando información detallada (El-Ashmawy, 2014).	Precisión	mm
Levantamiento topográfico	Estudio técnico y descriptivo del terreno, por tal examina el terreno teniendo en cuenta sus características físicas, geográficas, geológicas y sus alteraciones en el tiempo (Fuentes, 2012).	Precisión	mm

2.3. Equipos

Para el presente estudio se utilizó tres equipos principales. Por un lado, para la topografía se utilizó una ST Trimble M3 2", donde la precisión de este equipo en posiciones de puntos detallados está dentro de 1 cm (Moser et al., 2016). Por otro lado, para la fotogrametría aérea se utilizó un UAS DJI Phantom 4 RTK, el cual es un equipo muy rentable en cuanto a producción de mapas topográficos de objetos largos y estrechos como carreteras, debido a que la precisión del componente de altitud obtenida por este equipo es de unos 10 cm (Moser et al., 2016).

Figura 2.

Estación Total Trimble M3 2" y UAS DJI Phantom 4 RTK.



Además, para ubicar puntos de control geodésicos corregidos con data del Instituto Geográfico Nacional, necesarios para evaluar la precisión de los tipos de levantamiento de la investigación, se utilizó un GNSS diferencial Trimble R10. Todos los equipos fueron facilitados por el Laboratorio de Geomática del Instituto de Investigación para el Desarrollo Sustentable de Ceja de Selva (INDES CES).

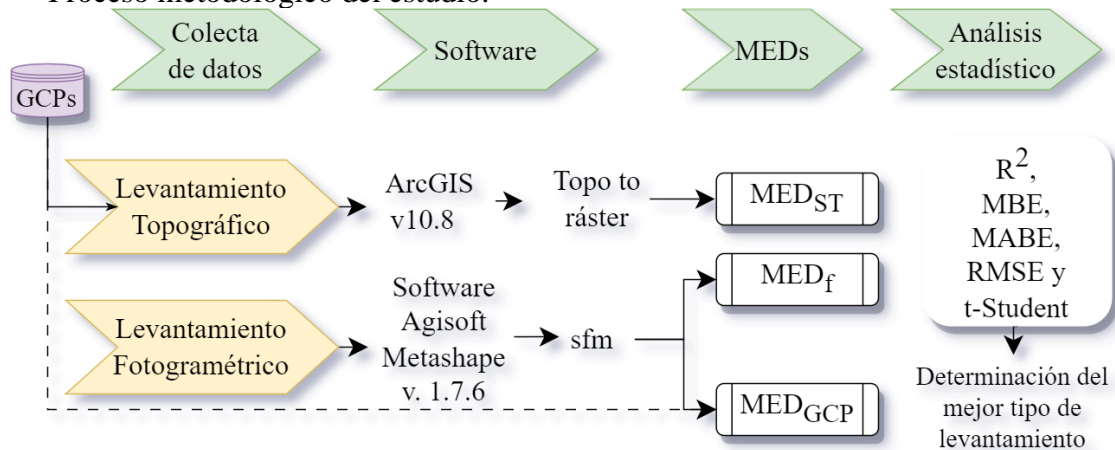
Figura 3.
GNSS diferencial Trimble R10.



2.4. Procedimiento metodológico

Para evaluar la precisión de la fotogrametría aérea y la ST en la generación de un MED en la carretera al fundo Bocanegra – Chachapoyas – Amazonas, se siguió el proceso metodológico indicado en la Figura 4. Se utilizaron dos métodos (directo la topografía e indirecto la fotogrametría) de colecta de datos en campo. Luego, se generaron tres MED, uno basado en datos del método directo (MED_{ST}) y dos basado en datos del método indirecto (MED_{UAS} : MED_f y MED_{GCP}). Finalmente se aplicaron estadísticos para evaluar la precisión de los MED.

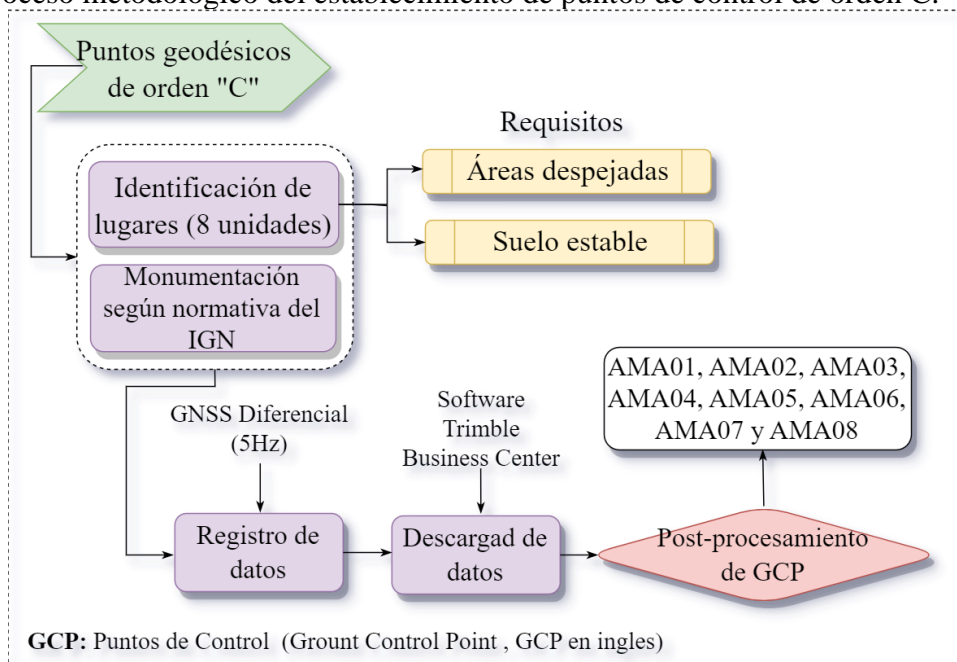
Figura 4.
Proceso metodológico del estudio.



2.5. Caracterización del área de estudio y establecimiento de puntos de control de orden C.

En esta fase se realizó una visita a la carretera del fundo Bocanegra, para identificar zonas en la cuales monumentar Ground Control Points (GCP) de orden “C”. Este orden de puntos se establecen en áreas urbanas y rurales, para poder desarrollar proyectos básicos de ingeniería, con fines de investigación científica, y en su mayoría a cualquier tipo de trabajo que requiera precisiones de un nivel máximo de 10.00 mm (IGN, 2015). El proceso metodológico se muestra en la Figura 5.

Figura 5.
Proceso metodológico del establecimiento de puntos de control de orden C.



Para mayor precisión del estudio se monumentito ocho GCP en la zona de trabajo. Lo monumentos consistieron en cilindros de cemento ($\varnothing 4''$) enterrados 30 cm, con un fierro sobresaliente en la parte central (Anexo 1). Para la medición se utilizó el modo de levantamiento estático con un GNSS diferencial Trimble R10 (Figura 6). Este tipo de posicionamiento clásico, permite medir con gran precisión ($5 \text{ mm} + 1 \text{ ppm}$) en un periodo mínimo de $30''$ por estación, teniendo como resultados precisiones muy altas logrando alcanzar niveles milimétricos (DHN, 2020).

Se realizaron mediciones de aproximadamente 3 horas en cada monumento, con intervalo de medición de 5 segundos. Mediante correo y pago respectivo, se adquirió la data base de la Estación de Rastreo Permanente del IGN, ubicada en el Gobierno Regional Amazonas (AM01 en la Figura 7), para las mismas fechas en las que se realizó la medición. Luego, con el software Trimble Business Center (con llave de licencia del Laboratorio de Geomática del INDES CES) se realizó el procesamiento de línea base (Figura 7) y se obtuvieron los GCP de alta precisión. El Anexo 2 muestra un ejemplo de reporte de procesamiento.

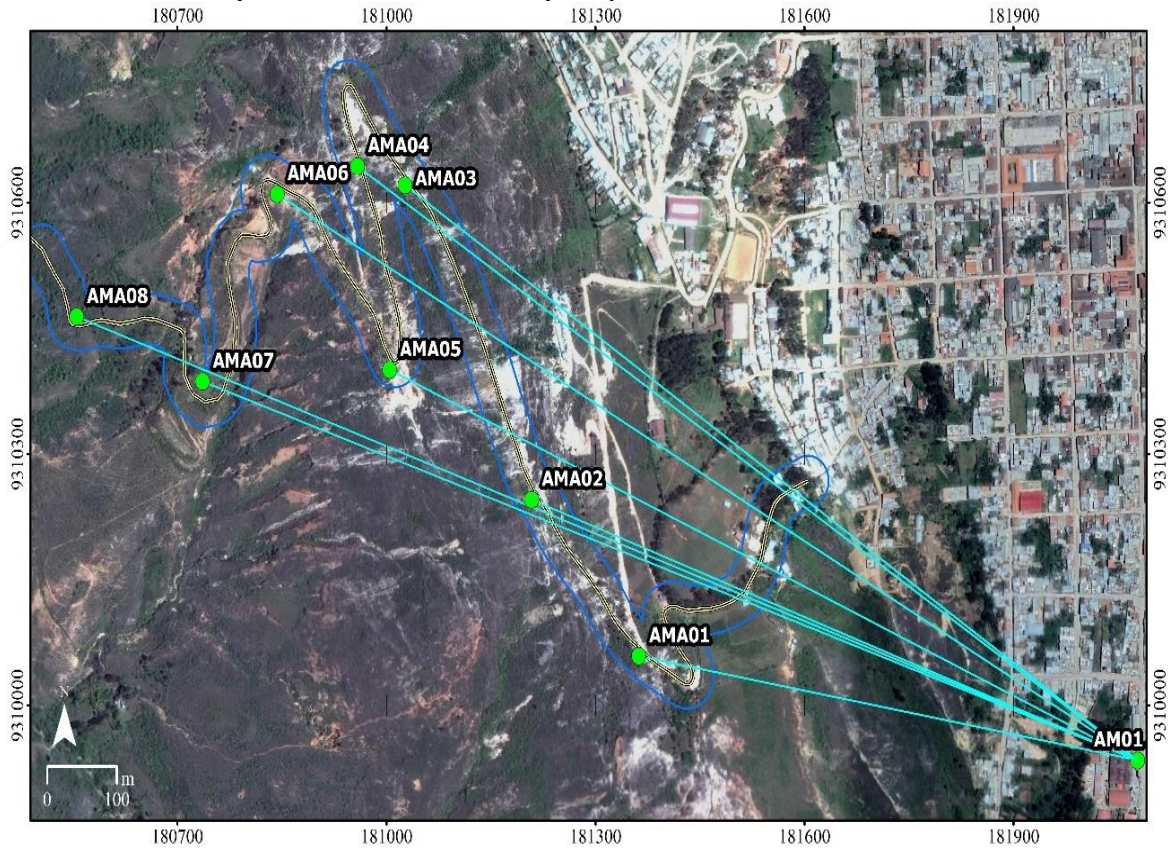
Figura 6.

Levantamiento con GNSS diferencial en monumento de punto de orden “C” por el método estático.



Figura 7.

Línea base de procesamiento de datos para puntos de orden “C”.



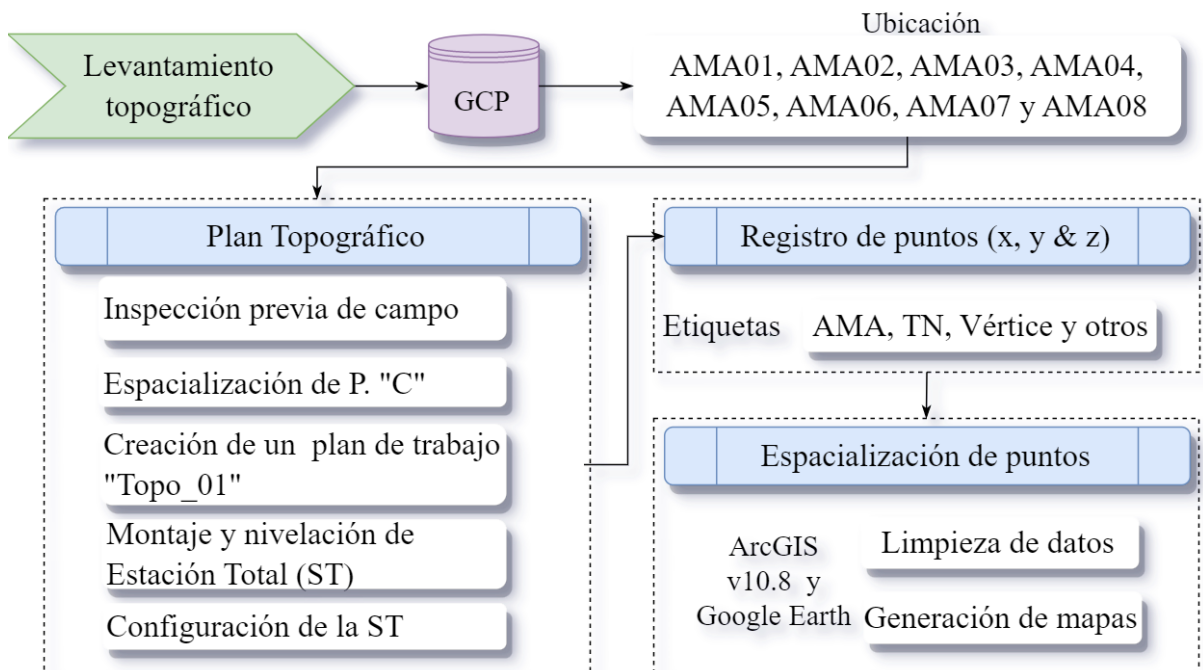
1.6. Generación de MEDs mediante datos de la estación total y de la fotogrametría aérea.

1.6.1. Levantamiento topográfico con estación total (ST) y generación de MED.

El proceso metodológico del levantamiento topográfico con ST se muestra en la Figura 8. Se realizó la toma de datos de toda la carretera del fundo Bocanegra siguiendo las siguientes etapas *i*) Plan topográfico (reconocimiento del terreno, plan de trabajo en campo), *ii*) registro de puntos y *iii*) espacialización de puntos en la generación de mapas y del MED_{ST}

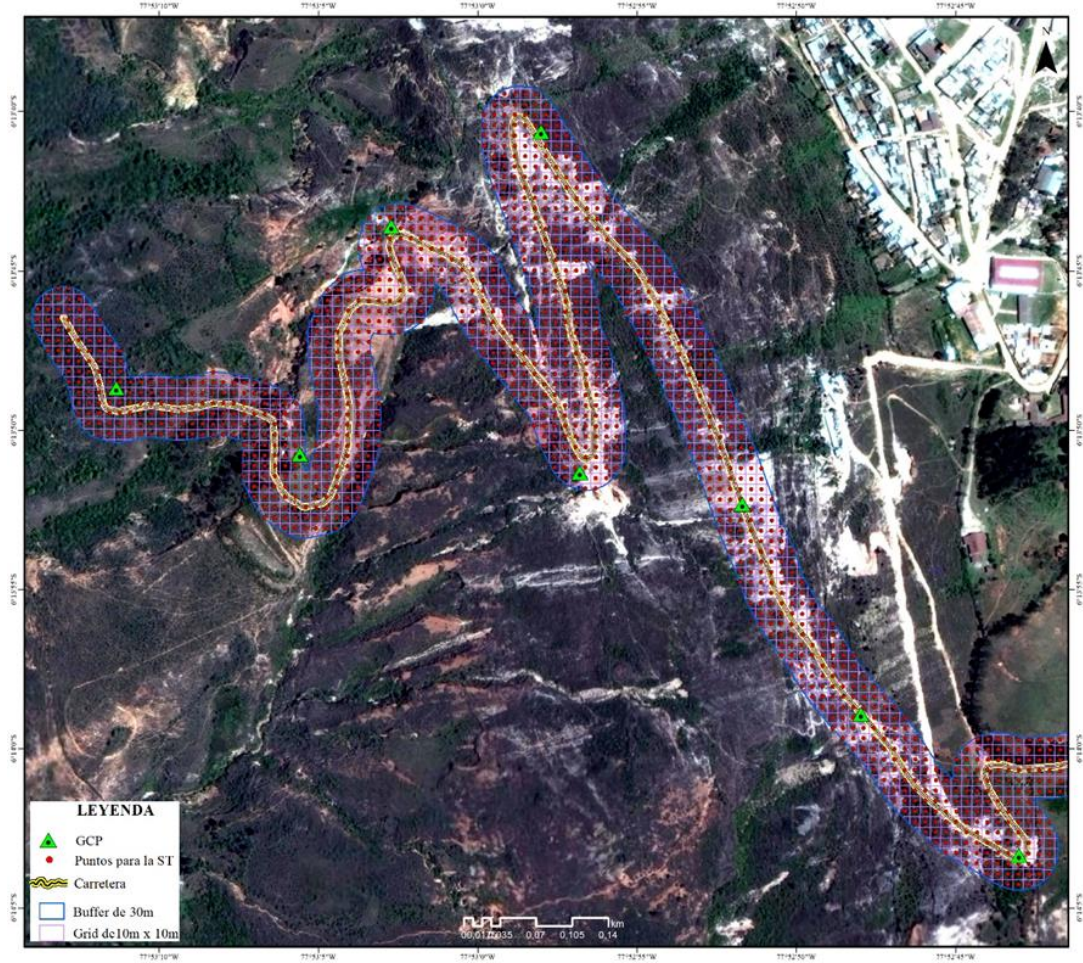
Figura 8.

Proceso metodológico del levantamiento topográfico con estación total (ST).



- Plan topográfico. Mediante la visita en campo, se recopilaban todos los datos posibles con respecto al área de estudio en la cual se va trabajar, así también se revisó antecedentes existentes de la zona a intervenir para usarlo como referencia (Mendoza, 2020).
- Registro de puntos. Se tomaron de manera presencial los datos del terreno a cada 10.00 m de distancia en forma de secciones de la infraestructura de la carretera presente (Paredes et al., 2013), utilizando una poligonal abierta como apoyo (Figura 9). Se colocara puntos fijos en común a una distancia de 50 m a lo largo de toda la carretera en estudio para poder comparar con el levantamiento con UAS (Roblero et al., 2020). Las poligonales abiertas se trazan en los levantamientos de vías terrestres para llevar un mejor control del plano topográfico, se levanta los detalles de los caminos, carreteras y otros (Wolf & Ghilani, 2008).

Figura 9.
Ámbito de levantamiento con ST y ubicación de los ocho GCP.



Para la generación de MED_{ST} se utilizó el software ArcGIS v10.8, ya que ayudó en el proceso de los puntos tomados en campo. Se realizó la importación de puntos desde la estación total al software, se creó la superficie del terreno y se generó el MED a analizar. Para la generación del MED_{ST} se siguió el procedimiento siguiente:

- Espacialización de puntos. Consistió en extraer la información almacenada en la memoria interna de la ST a un USB y luego importar al software ArcGIS en un sistema de coordenadas WGS1984 UTM Zona 18 Sur. Esta base de puntos contuvo orientaciones conocidas, medidas y datos que fueron recolectados en el trabajo de campo, vértices de la poligonal base, entre otros.
- Generación de mapas. Estuvo basado principalmente a la creación del MED. El procesamiento de puntos topográficos es un poco complejo por lo que es

recomendable utilizar softwares específicos (González, 2010). Se generó a partir de los datos recolectados en el trabajo de campo realizado en el fundo Bocanegra. La superficie del terreno es un modelado de relieve realista (Polidori & Mhamad, 2020). Se interpolaron los valores de elevación utilizando la herramienta *Topo to Raster* de ArcGIS para generar el MED_{ST}.

1.6.2. Levantamiento fotogramétrico con Sistema Aéreo No Tripulado (UAS) y generación de MED

El proceso metodológico del levantamiento fotogramétrico con UAS se muestra en la Figura 10. Se realizó la toma de fotografías aéreas de toda la carretera del fundo Bocanegra alcanzando las siguientes etapas: *i*) Plan de vuelo, *ii*) procesamiento de datos y *iii*) generaciones productos fotogramétricos.

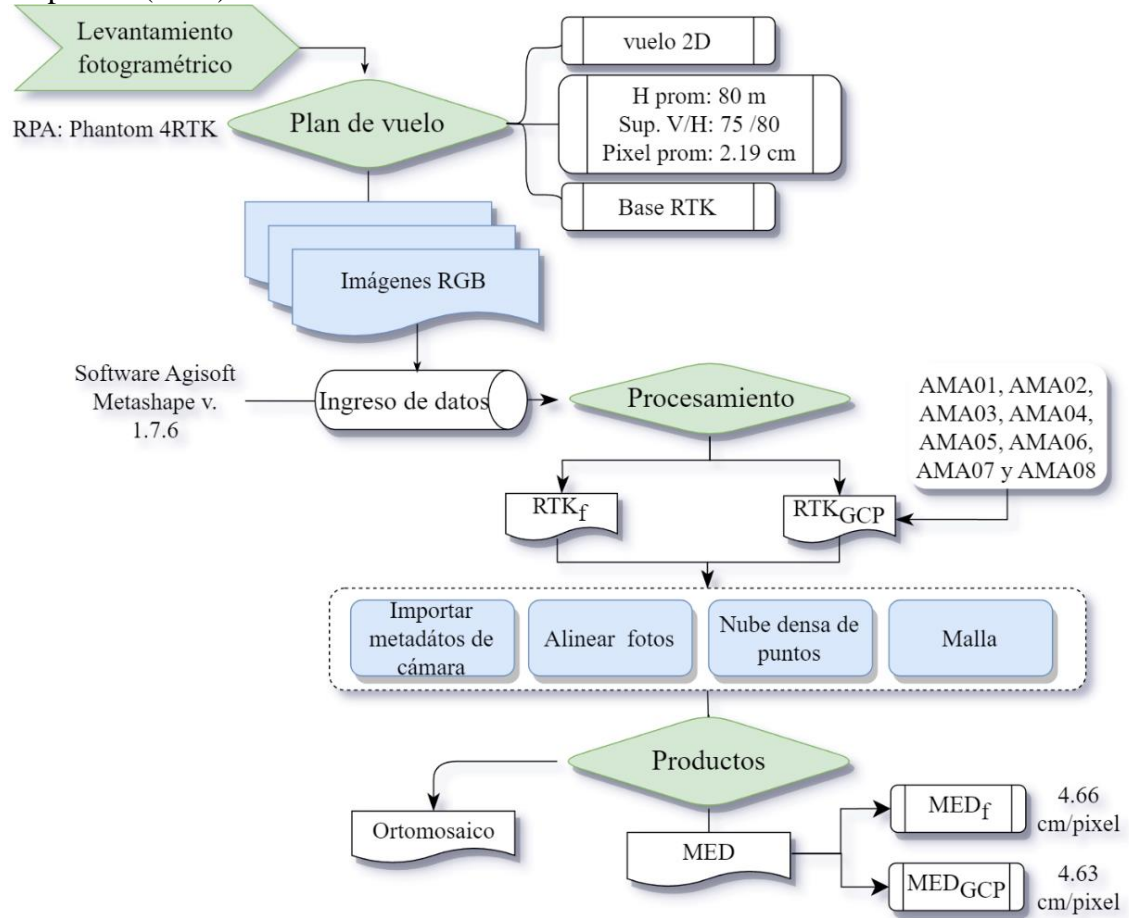
Planificación del vuelo. De acuerdo con Quirós (2014), en esta etapa se debe seguir una sucesión de pasos y decisiones antes del vuelo ya que es fundamental una buena cobertura estereoscópica, el sistema de referencias y la zona por la cual se va sobrevolar. Se utilizó la APP de DJI Phantom 4 RTK + D-RTK2 para planificar el vuelo con los parámetros de la Tabla 2 y se siguieron las indicaciones de Salas et al. (2022).

Tabla 2.
Parámetros de vuelo del UAS.

Tipo de Vuelo	Terrain Awareness Mode – 2 Bloques
Altura de Vuelo	80.00 m
Velocidad de Vuelo	4.0 m/s
GSD Promedio	2.19 cm/pixel
Traslape Vertical	80%
Traslape Horizontal	70 %
Modo de disparo	Tiro a distancia
Proporción de fotos	3:2
Terminar	Retorno a casa

Figura 10.

Proceso metodológico del levantamiento fotogramétrico con Sistema Aéreo No Tripulado (UAS).



- Establecidos los puntos geodésicos de control y los parámetros de vuelo, se procedió a realizar la ejecución de tres vuelos en la carretera del fundo Bocanegra (Figura 11). Ya que alguno de los tramos de la carretera en estudio cuenta con la presencia de zonas boscosas; los árboles inciden en la precisión del UAS esto va dificultar la toma de datos de la superficie del terreno (Salinas et al., 2015). Debido a la presencia de árboles y tener una mayor precisión en la toma de datos se tomaron tres veces lectura de los puntos fijos en común para comparar con el levantamiento con ST. Lo cual conllevó a la obtención de todos los datos requeridos para el proyecto (Quirós, 2014). Las imágenes obtenidas fueron acumuladas en la tarjeta de memoria del UAS y luego se guardan en una computadora para su procesamiento en gabinete (Riveiro et al., 2013).

Figura 11.

Armado de base RTK y del equipo UAS del Phantom4RTK para el levantamiento fotogramétrico.



Para la generación de MED_{UAS} se utilizó la plataforma del software Agisoft PhotoScan. Este es un software especializado en la generación de MED a partir de una base de datos tomados con un UAS, lo cual nos ayuda a orientar las fotos tomadas en campo, crear una nube de puntos densa, crear una malla, crear textura y finalmente generar un MED; para lo cual se tiene que seguir el siguiente procedimiento:

- *Orientación de fotos.* Las fotos tuvieron que ser de forma consecutiva y homogéneas para que se traslapen entre ellas y formen pares estereoscópicos entre sí. Los softwares toman la información como el punto desde donde fue tomada la fotografía, a fin de determinar parámetros como coordenadas de posición y el ángulo de inclinación (Grijalba, 2018).
- *Nube de puntos densa.* Se generó a partir de la orientación de las fotografías, la cual es un conjunto de un sistema de coordenadas en 3D, que se identifican regularmente como coordenadas en X,Y,Z, las cuales fueron la representación de la superficie de la carretera fundo Bocanegra (Salinas Castillo et al., 2015).
- *Creación de la malla.* Aparir de la reconstrucción de los puntos tomados en la carretera del fundo Bocanegra se creó la malla, que es un modelo de cuadrícula que se conforma como una matriz rectangular-regular de celdas, las cuales

almacenan un valor propio, por lo que el área de cada celda tiene el mismo valor de elevación (Mesa-Mingorance & Ariza-López, 2020).

- *Creación de la textura.* Mediante el software se parametriza la superficie estableciendo a cada porción de la malla un segmento de la imagen, generando así un mapa de texturas (Ferreira & Aira, 2017).
- *Creación del MED.* Aparir del procedimiento realizado en las fases anteriores se generó el producto fotogramétrico MED. Que contiene información geométrica detallada de la carretera del fondo Bocanegra, así como la textura y los acabados de manera realista en 3D (Ferreira & Aira, 2017).
- *Creación de Ortomosaico.* Mediante el MED obtenido se generó el ortomosaico, este representa una imagen completa del área de estudio en la que se pueden realizar digitalizaciones para obtener polígonos, polilíneas y puntos (Han & Hong, 2019)

1.7. Evaluación de la de precisión de los MED mediante datos estadísticos.

Se compararon los parámetros resaltantes como el promedio mediana, moda, rango, y desviación estándar de la elevación del MED_{ST} con respecto a los MED_{UAS} (Sala et al., 2014). Luego, para evaluar la precisión de los MED_{UAS} con respecto a MED_{ST} convencional, se calcularon cinco estadísticos:

$$\text{Coeficiente de determinación} = R^2 = 1 - \frac{\sum_{e=1}^k (H_{eUAS} - H_{eST})^2}{\sum_{e=1}^k (H_{eUAS} - H_{ST})^2}$$

$$\text{Error medio sesgo} = MBE = \frac{1}{k} \sum_{e=1}^k (H_{eUAS} - H_{eST})$$

$$\text{Error absoluto sesgo} = MABE = \frac{1}{k} \sum_{e=1}^k |H_{eUAS} - H_{eST}|$$

$$\text{Raíz del error cuadrático medio} = RMSE = \sqrt{\frac{\sum_{e=1}^k (H_{eUAS} - H_{eST})^2}{k}}$$

Donde H_{eST} es el valor de e (elevación) medida por la ST; H_{eUAS} es el valor de e medida por el UAS (MED_f o MED_{GCP}), H_{ST} es el valor medio de los valores medidos por la ST y k es el número total de mediciones. Valores bajos de MBE, MABE y RMSE indican las mejores aproximaciones entre los datos (Quiñones et

al., 2019), mientras que $R^2 = 1$ indica la representación perfecta de la tendencia de ambos grupos de datos. También se calculó la prueba de t-Student, para determinar si existen diferencias significativas entre la elevación del MED_{ST} y la elevación de los MED_{UAS} a un nivel de confianza particular de $\alpha = 0.05$.

III. RESULTADOS

3.1. Caracterización del área de estudio y establecimiento de puntos de control de orden C.

Según las condiciones del terreno que presentaron menor pendiente, zonas despejadas y un suelo estable se establecieron ocho (08) GCP (Tabla 3, Figura 12) a lo largo de la carretera en estudio, estos puntos son de orden C, lo cuales sirvieron como base para realizar la comparación entre los datos tomados con la ST y con el UAS. Las precisiones en promedio en el eje vertical y horizontal fueron de 0.002 m y 0.01 m respectivamente. Esto indica que son valores por debajo del rango de la Norma Técnico Geodésica del IGN del Perú, que establece en el eje horizontal y vertical menor a 0.08 m y 0.1 m.

Tabla 3.

Coordenadas de los puntos de control.

Punto	Este (m)	Norte (m)	Elevación (m)	Precisión horizontal (m)	Precisión vertical (m)
AMA01	181362.000	9310059.104	2337.1966	0.004	0.021
AMA02	181208.124	9310245.667	2316.8766	0.002	0.010
AMA03	181026.519	9310620.746	2282.8112	0.002	0.011
AMA04	180958.333	9310643.371	2256.3064	0.002	0.010
AMA05	181004.485	9310400.456	2236.8465	0.002	0.004
AMA06	180842.958	9310610.225	2209.0333	0.003	0.011
AMA07	180735.957	9310386.552	2162.6246	0.003	0.011
AMA08	180555.266	9310463.828	2152.9788	0.003	0.011

Las coordenadas de cada GCP fueron obtenidas por corrección con una estación de rastreo permanente (ERP) del IGN (Anexo 3), por lo cual presentan precisiones horizontales de 2 – 4 mm y verticales de 4 – 21 mm.

Figura 12.
Distribución de los puntos de control en el Fundo Bocanegra.



3.2. MEDs generados mediante el proceso de datos de una estación total y de imágenes fotogramétricas

3.2.1. Modelo de Elevación Digital (MED) basado en datos de estación total (ST)

Mediante levantamiento con ST se colectaron 1314 puntos (Punto, Este, Norte, Elevación, Descripción) (ver Anexo 6), los cuáles se importaron en software SIG y se interpolaron (Elevación) para generar el MED_{ST}. Posteriormente, adicional a ello mediante la herramienta “*Contour*” para la generación de las curvas de nivel en todo el tramo de la carretera (Figura 13). La elevación máxima y mínima generadas por la interpolación y reportadas en el MED fueron 2345.19 y 2134.86 m s.n.m., respectivamente.

3.2.2. Modelo de Elevación Digital (MED) basado en datos de Sistema Aéreo No Tripulado (UAS) – Modo RTK flotante

Mediante fotogrametría se colectaron 2127 imágenes (ver Anexo 7), las cuales se importaron en el software fotogramétrico y procesaron para generar el ortomosaico y MED_f (Figura 13) y, posteriormente, las curvas de nivel. La elevación máxima y mínima obtenidas fueron 2410.47 y 2143.33 m s.n.m., respectivamente. El reporte de procesamiento fotogramétrico se evidencia en el Anexo 3, y los errores vertical y horizontal del MED_f se muestran en la Tabla 4. El error combinado para la generación del MED alcanzó los 69.16 cm en promedio y en Vertical (Z) se concentra en 61.86 cm, el menor error se presenta en el eje X con 19.5 cm.

Tabla 4.
Errores del MED basado en datos de UAS – Modo RTK flotante.

Error en X (cm)	19.5147
Error en Y (cm)	23.9949
Error en Z (cm)	61.8614
Error en XY (cm)	30.9286
Error combinado (cm)	69.1623

3.2.3. Modelo de Elevación Digital (MED) basado en datos de Sistema Aéreo No Tripulado (UAS) – Modo RTK con GCP

Mediante fotogrametría se colectaron 2127 imágenes, las cuales se importaron en software fotogramétrico y procesaron para generar el ortomosaico y MED_{GCP} (Figura 14) y, posteriormente, las curvas de nivel. A diferencia del MED_f anterior, en este caso se utilizaron 8 GCP para su generación. La elevación máxima y mínima obtenidas fueron 2408.06 y 2142.36 m s.n.m., respectivamente. El reporte de procesamiento se evidencia en el Anexo 4, y los errores vertical y horizontal del MED_{GCP} se muestran en la Tabla 5.

Figura 13.
MED generado a partir de datos de Estación Total (ST).

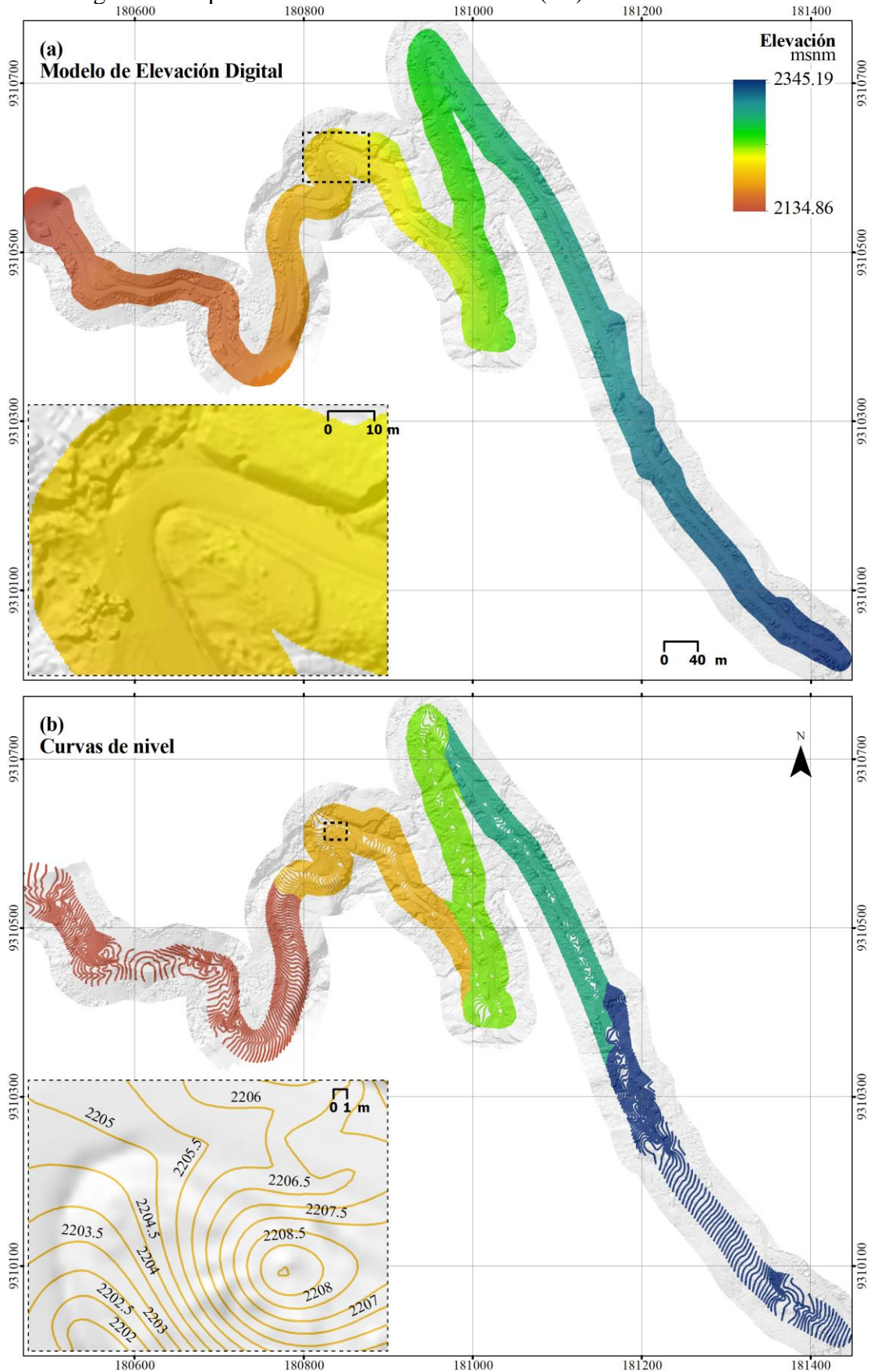


Figura 14.
MED basado en datos de Sistema Aéreo No Tripulado (UAS) – Modo RTK flotante.

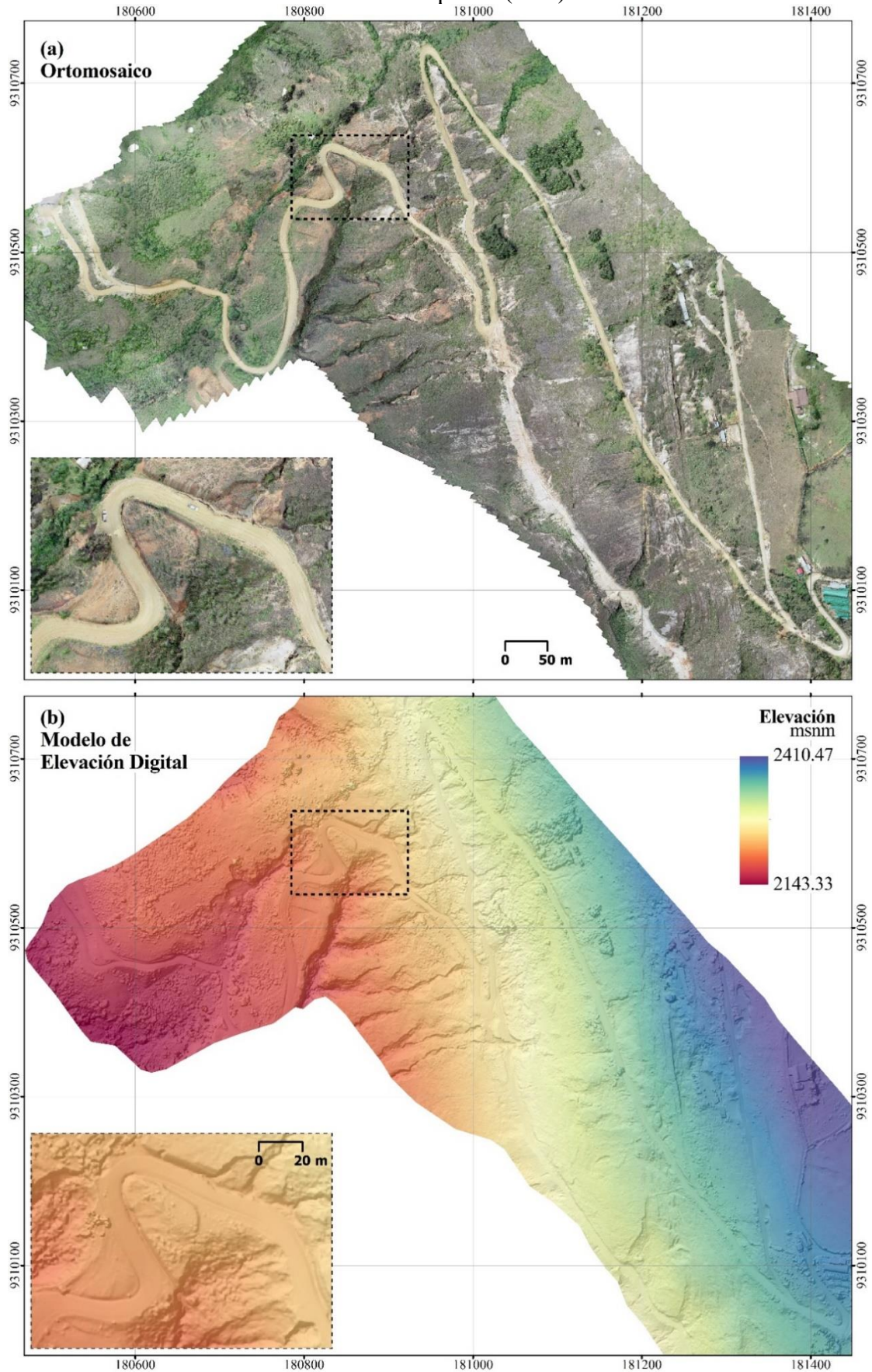


Figura 15.
MED basado en datos de Sistema Aéreo No Tripulado (UAS) – Modo RTK con GCP.

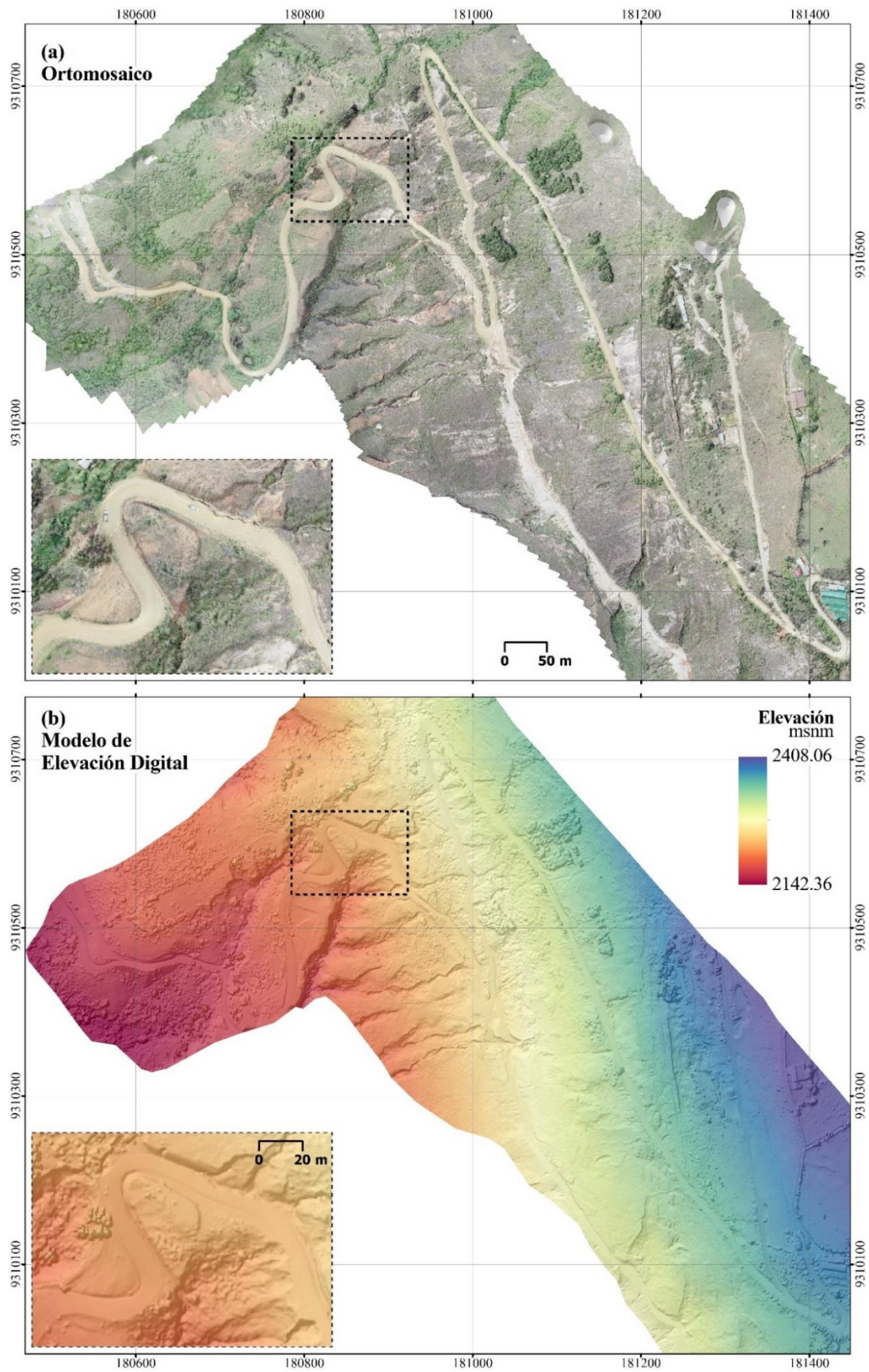


Tabla 5.

Errores del MED basado en datos de UAS – Modo RTK con GCP.

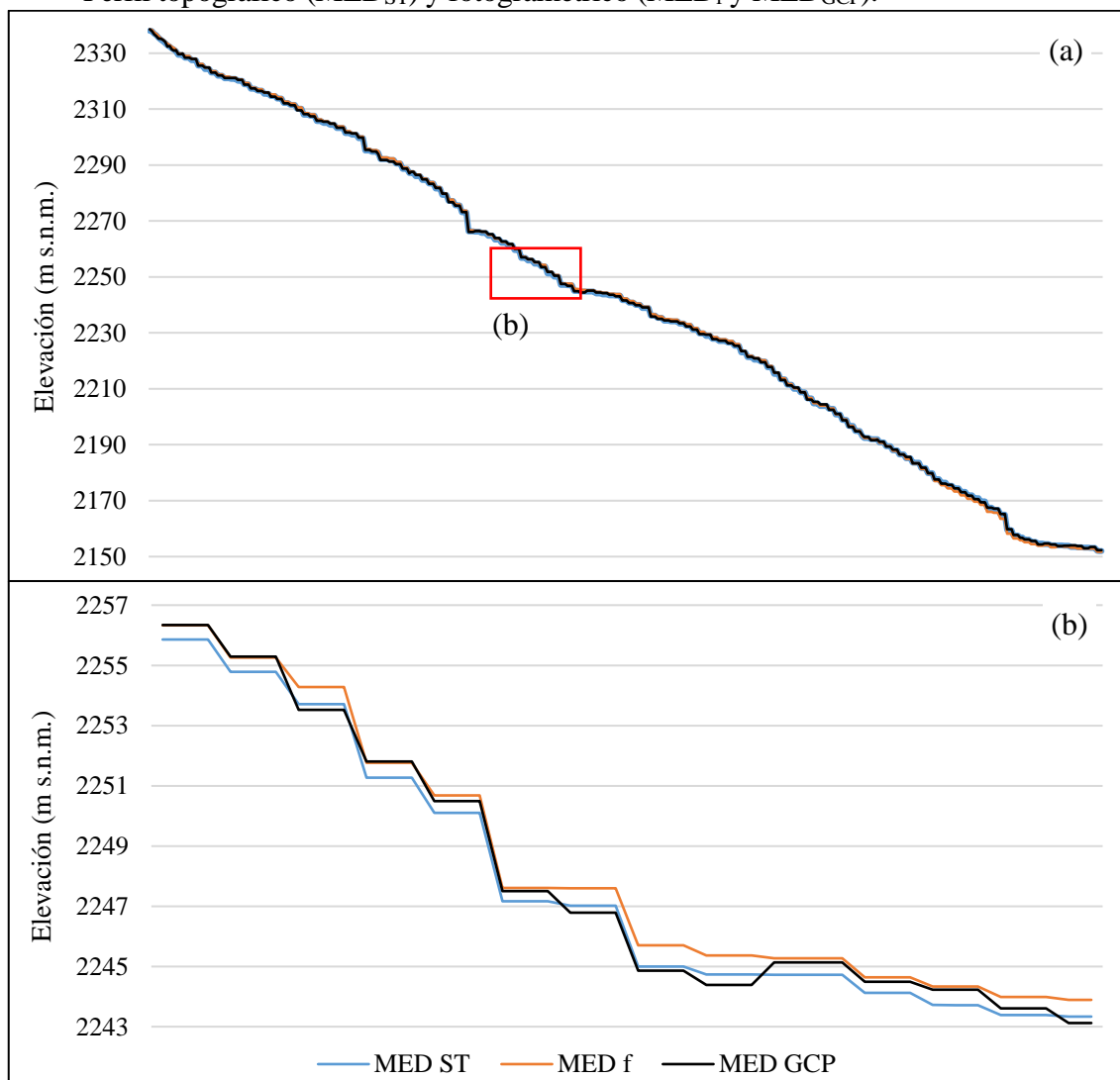
Error en X (cm)	16.1889
Error en Y (cm)	5.14815
Error en Z (cm)	10.1528
Error en XY (cm)	16.9877
Error combinado (cm)	19.7905

3.3. Evaluación de la precisión de los MED mediante datos estadísticos

La Figura 16 muestra Perfil topográfico (MED_{ST}) y fotogramétrico (MED_f y MED_{GCP}) generados. Existe una mayor variabilidad de los valores de altitud del MED_f con respecto a la MED_{ST} . Por otro lado, el MED_{GCP} es el que más se asemeja al MED_{ST} .

Figura 16.

Perfil topográfico (MED_{ST}) y fotogramétrico (MED_f y MED_{GCP}).



La Tabla 6 indica cada uno de los descriptivos de los MED generados. El MED_{ST} muestra menor promedio de elevación (2241.970 m s.n.m.) en comparación al MED_{GCP} (2242.068 m s.n.m.) y MED_f (2242.164 m s.n.m.). El MED_f muestra el más bajo mínimo (2151.730 m s.n.m.) y el MED_{GCP} el máximo más alto (2338.570 m s.n.m.). El MED_f muestra mayor dispersión (SD=55.908) en sus datos de elevación.

Tabla 6.
Estadísticos descriptivos de la elevación de los MED.

Estadístico	MED _{ST}	MED _f	MED _{GCP}
Promedio (m s.n.m.)	2241.970	2242.164	2242.068
Mínimo (m s.n.m.)	2151.9498	2151.730	2152.290
Máximo (m s.n.m.)	2338.007	2338.460	2338.570
Mediana (m s.n.m.)	2241.755	2242.25	2241.57
Moda (m s.n.m.)	2244.727	2152.88	2303.41
Desviación estándar (SD)	55.511	55.908	55.524

La Figura 17 muestra la diferencia en la elevación de los MED_{UAS} (MED_f y MED_{GCP}) de fotogrametría con respecto al MED_{ST} de la estación total. La diferencia promedio de la elevación del MED_{ST} respecto al MED_f fue 19.44 cm (máximo de 155.60 cm), mientras que respecto al MED_{GCP} fue de 9.78 cm (máximo de 57.50 cm) (Tabla 6).

Figura 17.
Diferencia en la elevación de los MED de fotogrametría con el MED de estación total.

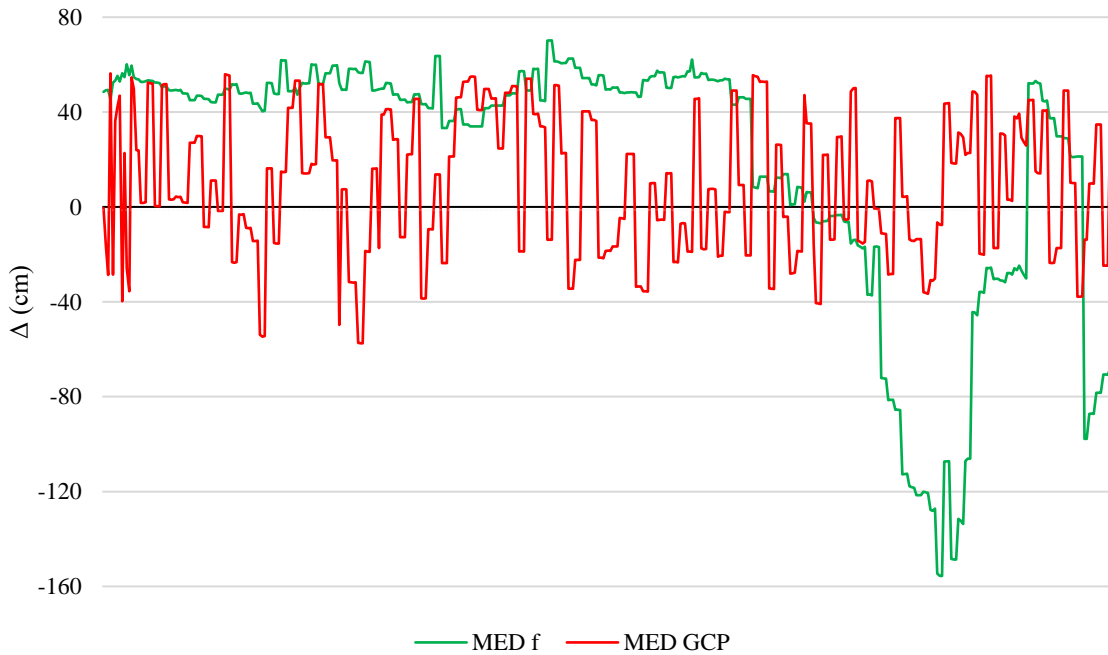


Tabla 7.Comparación de la elevación de los MED_{UAS} respecto al MED_{ST}.

	Estadístico	MED_f	MED_{GCP}
Estadísticos descriptivos de la diferencia (Δ) de elevaciones	Promedio (cm)	19.44	9.78
	Mínimo (cm)	0.80	0.20
	Máximo (cm)	155.60	57.50
	Desviación estándar	53.66	29.47
Estadísticos de precisión entre las elevaciones	R^2	0.999979	0.999986
	MBE	0.194	0.098
	MABE	0.502	0.266
	RMSE	0.571	0.311
	t-Student	-7.539	-6.907572

IV. DISCUSIÓN

La presente investigación evaluó dos proyectos de topografía desarrollados de manera independiente para un área periurbana heterogénea de casi 33 ha. Esta comparación se llevó a cabo para evaluar si el uso de Sistema Aéreo No Tripulado (UAS) y el enfoque de estructura a partir del movimiento (SfM) presentan alguna ventaja sobre un estudio tradicional desarrollado con una Estación Total (ST). La generación de MED presentan una gran importancia para los ingenieros dedicados a la construcción y afines y, en los últimos años, se ha mejorado los métodos de obtención (Mesa-Mingorance & Ariza-López, 2020).

Existen diferentes tecnologías en la captura de datos para generar los MED: tenemos a estudios de campo con Estación total (Erdogan, 2010), teledetección (Remote Sensing) (Kim et al., 2020), LiDAR (Light Detection and Ranging) (Sharma et al., 2021), fotogrametría (Hamshaw et al., 2019) y otros que combinan teledetección y fotogrametría (White et al., 2022). De los estudios mencionados el LiDAR es el de mayor costo, por tanto, su acceso es limitado. Sin embargo, la fotogrametría con imágenes RGB como se aplicó en esta investigación hace posible la aplicación a personas de menos recursos (Pérez et al., 2022)

Los UAS han demostrado gran potencial en la captura de datos espacializados y grandes características ante los equipos tradicionales como la ST. Ventajas como rapidez en la toma de datos, generación de nuevos productos cartográficos, menor uso de personal operario de equipos (Loo & Wong, 2021). Ventajas demostradas en el presente estudio, sin embargo, aún el elevado costo de esta tecnología no le permite ser más accesible.

La fotogrametría abarcó mayor área a ambos márgenes de la carretera, respecto a la ST. En este contexto, permite una visión sinóptica del terreno a mayor detalle. Sin embargo, presenta un efecto borde negativo para la generación del MED_{UAS}, efecto que posiblemente haya limitado la precisión para el MED_f que careció de GCP. Para la ST, la interpolación automática ha permitido obtener un mejor MED además que contó con el apoyo de 8 GCP georreferenciados con un equipo GNSS diferencial (Marín-Buzón et al., 2021)

En la gran mayoría de los estudios, los procesos de evaluación de la calidad se realizan interpolando o remuestreando los datos de referencia. En el caso de la ST el método de interpolación automática “*topo raster*” y para UAS el empleo del algoritmo Structure

From Motion (sfm) han demostrado ser de gran confiabilidad. De modo que, los MED (MEDs y MED_{UAS}) generados se procesaron basados en los estudios de Zirakbash et al. (2020) y Santise et al. (2014)

En términos absolutos, el RMSE en los puntos de control (GCP) es de ≈ 5 cm en todas las coordenadas de posicionamiento cuando se utiliza un control denso. Dado que los levantamientos UAS normalmente tienen un GSD muy pequeño y la calidad de la cámara compacta de consumo ha mejorado mucho en los últimos años, incluso unos pocos GCP (por ejemplo, 9 GCP para un área de 500×500 m²) son suficientes para la actualización del mapa (Santise et al., 2014). A diferencia, de la investigación realizada que sólo se emplearon ocho GCP, esto demuestra el incremento del RMSE combinado a 69.1623 cm.

Por otro lado, Apráez Bastidas (2020) empleando un dron DJI Mavic 2 Pro para el levantamiento fotogramétrico, obtuvo un RMS de 0.022 m con el equipo RTK. A diferencia de los resultados obtenidos que fueron de 0.311, esto se debe a muchos factores uno de ellos es el uso del software de procesamiento, parámetros de vuelo, distribución de GCPs y el área de estudio. Con respecto al área de estudio, Bocanegra presente un terreno con un relieve accidentado. Los GCPs empleados en este estudio fueron menos y no se realizó una distribución radial como lo practicó Apráez. En este sentido, son muchas las variables que pueden influir en la calidad de los MED que se deben de tener en cuenta para unas mejores precisiones.

Las tecnologías de recopilación de datos cartográficos están en constante crecimiento, este estudio demuestra que la fotogrametría con la estación total no es de carácter independiente en la generación de los MEDs, en este sentido, igual que Ji et al. (2017), se menciona que son complementarias. Por ello, han surgido nuevas investigaciones que emplean LiDAR, UAS y otras tecnologías a fin de obtener mejores precisiones (Villanueva et al., 2019). Además, los UAS pueden proporcionar una forma flexible, oportuna y rentable de recopilar datos en terrenos alpinos de difícil acceso, lo que podría ser de gran ayuda para muchas aplicaciones (Bühler et al., 2016). Asimismo, se espera que las estaciones base montadas en vehículos aéreos no tripulados (UAV-BS) sean una revolución tecnológica en la captura de datos (Cicek et al., 2019)

V. CONCLUSIONES

EL empleo de los UAS puede ser adoptada por los ingenieros civiles, topógrafos, en la generación de modelos de elevación digital (MED) con gran facilidad de la toma de datos georreferenciados. Asimismo, garantiza la fiabilidad de los productos generados.

- Se logró generar un MED_{ST} de alta precisión mediante el empleo de 8 GCPs (corregidos por una base ERP del IGN) y una estación total en el fundo Bocanegra como método más empleado en ingeniería.
- En esta investigación permitió evaluar la precisión dos tipos de levantamiento topográfico en la generación de MED: i) tradicional mediante una estación total (ST) se empelaron 1314 puntos y ii) fotogramétricamente para MED_f y MED_{GCP} 2127 imágenes mediante dos vuelos complementarios a una altura media de 80 m ejecutados por un UAS (tipo P4RTK +s base RTK).
- De los dos MED_{UAS} fotogramétricos (MED_f y MED_{GCP}) generados a una resolución espacial de 0.5 m, estadísticamente el MED_{GCP} presenta mejores resultados R^2 (0.99), MBE (0.098), MABE (0.26), RMSE (0.31) y t-Student(-6.9), teniendo como base a MED_{ST} y esto se debe al uso de los 08 GCPs al momento de generar los productos fotogramétricos.

El presente trabajo de investigación permite generar las siguientes recomendaciones:

- Emplear GCPs en la generación de MEDs, para tener una mejor precisión en el eje “z” (Altitud). Asimismo, realizarlo de manera complementaria con una ST y equipos GNSS para una mejor precisión y registro de datos que no es posible registrar con un UAS.
- Es necesario seguir evaluando la precisión de los MEDs mediante nuevos proyectos de investigación asociados a la carrera de Ingeniería Civil mediante el uso de otras variables como: altura de vuelo, porcentaje de solapamiento de imágenes, modos de vuelos y dirección del viento como variables meteorológicas.

VI. REFERENCIAS BIBLIOGRÁFICAS

- Ajayi, O. G., Palmer, M., & Salubi, A. A. (2018). Modelling farmland topography for suitable site selection of dam construction using unmanned aerial vehicle (UAV) photogrammetry. *Remote Sensing Applications: Society and Environment*, 11(March), 220–230. <https://doi.org/10.1016/j.rsase.2018.07.007>
- Apráez Bastidas, A. M. (2020). Desarrollo e implementación de una metodología para levantamiento de planos topográficos mediante fotogrametría aérea con UAV.
- Bühler, Y., Adams, MS, Stoffel, A. y Boesch, R. (2017). Reconstrucción fotogramétrica de superficies de nieve homogéneas en terreno alpino aplicando imágenes UAS de infrarrojo cercano. *Revista Internacional de Percepción Remota*, 38 (8-10), 3135-3158. <https://doi.org/10.1080/01431161.2016.1275060>
- Carvajal-Ramírez, F., Navarro-Ortega, A. D., Agüera-Vega, F., Martínez-Carricondo, P., & Mancini, F. (2019). Virtual reconstruction of damaged archaeological sites based on Unmanned Aerial Vehicle Photogrammetry and 3D modelling. Study case of a southeastern Iberia production area in the Bronze Age. *Measurement*, 136, 225–236. <https://doi.org/10.1016/j.measurement.2018.12.092>
- Cicek, C. T., Gultekin, H., Tavli, B., & Yanikomeroglu, H. (2019). UAV Base Station Location Optimization for Next Generation Wireless Networks: Overview and Future Research Directions. 2019 1st International Conference on Unmanned Vehicle Systems-Oman, UVS 2019, 1, 1–6. <https://doi.org/10.1109/UVS.2019.8658363>
- Dirección de Hidrografía y Navegación. (2020). Normas Técnicas Hidrográficas N° 49. In *Hidrografía* (No. 5178; 1ra ed.). HIDRONAV.
- El-Ashmawy, K. L. A. (2014). A comparison between analytical aerial photogrammetry, laser scanning, total station and global positioning system surveys for generation of digital terrain model. *Geocarto International*, 30(2), 1–9. <https://doi.org/10.1080/10106049.2014.883438>

- Erdoğlan, S. (2010). Modelling the spatial distribution of DEM error with geographically weighted regression: An experimental study. *Computers and Geosciences*, 36(1), 34–43. <https://doi.org/10.1016/j.cageo.2009.06.005>
- Ferreira, M. R., & Aira, V. G. (2017). *Aplicaciones Topográficas de los Drones*. 8(1), 11.
- Fuentes, J. E. (2012). Jose edmundo fuentes guzman (Red Tercer Milenio. (ed.); 1 era.).
- González, A. (2010). *Lecciones de topografía y Replanteos* (C. Universitario (ed.); 5ta ed.).
- Grijalba, P. (2018). *Fotogrametría aérea con Drones*. *Robotic Arir Systems*, 0, 15.
- Hamshaw, S. D., Engel, T., Rizzo, D. M., O’Neil-Dunne, J., & Dewoolkar, M. M. (2019). Application of unmanned aircraft system (UAS) for monitoring bank erosion along river corridors. *Geomatics, Natural Hazards and Risk*, 10(1), 1285–1305. <https://doi.org/10.1080/19475705.2019.1571533>
- Hupy, J. P., & Wilson, C. O. (2021). Modeling streamflow and sediment loads with a photogrammetrically derived uas digital terrain model: Empirical evaluation from a fluvial aggregate excavation operation. *Drones*, 5(1). <https://doi.org/10.3390/drones5010020>
- Instituto Geografico Nacional. (2015). *Norma Técnica Geodésica*. In Ministerio de Defensa.
- Jaud, M., Passot, S., Allemand, P., Le Dantec, N., Grandjean, P., & Delacourt, C. (2019). Suggestions to limit geometric distortions in the reconstruction of linear coastal landforms by sfm photogrammetry with photoscan and micmac for uav surveys with restricted GCPs pattern. *Drones*, 3(1), 1–17. <https://doi.org/10.3390/drones3010002>
- Kim, D. E., Liang, S. Y., Gourbesville, P., Andres, L., & Liu, J. (2020). Simple-Yet-Effective SRTM DEM improvement scheme for dense urban cities using ANN and remote sensing data: Application to flood modeling. *Water (Switzerland)*, 12(3), 1–14. <https://doi.org/10.3390/w12030816>

- Kim, J., Lee, S., Seo, J., Lee, D.-E., & Choi, H. S. (2021). The Integration of Earthwork Design Review and Planning Using UAV-Based Point Cloud and BIM. *Applied Sciences*, 11, 1–14.
- Loo, V. H., & Wong, C. K. (2021). Accuracy Assessment of Unmanned Aerial Vehicle (UAV) Structure from Motion Photogrammetry Compared with Total Station for a Deformed Slope. January 2021, 291–299. https://doi.org/10.1007/978-3-030-60319-9_32
- Manfreda, S., Dvorak, P., Mullerova, J., Herban, S., Vuono, P., Justel, J. J. A., & Perks, M. (2019). Assessing the accuracy of digital surface models derived from optical imagery acquired with unmanned aerial systems. *Drones*, 3(1), 1–14. <https://doi.org/10.3390/drones3010015>
- Marín-Buzón, C., Pérez-Romero, A. M., León-Bonillo, M. J., Martínez-álvarez, R., Mejías-García, J. C., & Manzano-Agugliaro, F. (2021). Photogrammetry (SfM) vs. terrestrial laser scanning (TLS) for archaeological excavations: Mosaic of cantillana (Spain) as a case study. *Applied Sciences (Switzerland)*, 11(24). <https://doi.org/10.3390/app112411994>
- Mendoza, J. (2020). *Topografía Y Geodesia* (M. E.I.R.L (ed.); 2da ed.).
- Mesa, J. L., & Ariza, F. J. (2020). Accuracy assessment of digital elevation models (DEMs): A critical review of practices of the past three decades. *Remote Sensing*, 12(16), 1–27. <https://doi.org/10.3390/RS12162630>
- Mesa-Mingorance, J. L., & Ariza-López, F. J. (2020). Accuracy assessment of digital elevation models (DEMs): A critical review of practices of the past three decades. *Remote Sensing*, 12(16), 1–27. <https://doi.org/10.3390/RS12162630>
- Moser, V., Barišić, I., Rajle, D., & Dimter, S. (2016). Comparison of different survey methods data accuracy for road design and construction. CENTRA 2016 4th International Conference on Road and Rail Infrastructure, January 2017, 1–8.
- Paredes, C. U., Salinas, W. E., Martínez, X., & Jiménez, S. B. (2013). Evaluación y comparación de métodos de interpolación determinísticos y probabilísticos para la generación de modelos digitales de elevación. *Investigaciones Geograficas*, 82(82), 118–130. <https://doi.org/10.14350/rig.35906>

- Polidori, L., & Mhamad, E. H. (2020). Methods: A Critical Review. *Remote Sensing*, 12(21), 3255.
- Quiñones, L., Barrena, M., Gosgot, W., Salas, R., & Milla, M. (2019). Estimación de la radiación solar diaria para la ciudad de Bagua, región Amazonas, Perú. *Selecciones Matemáticas*, 6(2), 320–328. <https://doi.org/10.17268/sel.mat.2019.02.18>
- Quirós, E. (2014). *Introducción a la Fotogrametría y Cartografía aplicadas a la Ingeniería Civil* (Universidad de Extremadura (ed.); primera).
- Riveiro, B., González, J., Varela, M., & Jauregui, D. V. (2013). Validation of terrestrial laser scanning and photogrammetry techniques for the measurement of vertical underclearance and beam geometry in structural inspection of bridges. *Measurement: Journal of the International Measurement Confederation*, 46(1), 784–794. <https://doi.org/10.1016/j.measurement.2012.09.018>
- Roblero-Hidalgo, R., Flores-Velázquez, J., Chávez-Morales, J., & Reyes-Ramírez, A. (2020). Reliability assessment of three topographic methods for generating digital elevation models (DEMs). *Ingeniería Agrícola y Biosistemas*, 12(2), 159–171. <https://doi.org/10.5154/r.inagbi.2020.01.005>
- Saiz Rodríguez, J. A., Miranda Torres, S. A., Castro Valencia, A., Saiz Rodríguez, R., & Saiz Hernández, J. A. (2017). Elaboración de un modelo digital de elevaciones de alta resolución de la cuenca experimental Torre Rayón, Sonora. *EPISTEMUS*, 11(22), 13–19. <https://doi.org/10.36790/epistemus.v11i22.41>
- Sala, H., Matko, C., Falk, U., & Grings, F. (2014). Análisis y comparación de dos modelos digitales de elevación en la isla 25 de mayo (King George island), islas Shetland del sur, Antártida. *Geoacta*, 39(2), 14–29.
- Salas López, R., Terrones Murga, R. E., Silva-López, J. O., Rojas-Briceño, N. B., Gómez Fernández, D., Oliva-Cruz, M., & Taddia, Y. (2022). Accuracy Assessment of Direct Georeferencing for Photogrammetric Applications Based on UAS-GNSS for High Andean Urban Environments. *Drones*, 6(12), 388. <https://doi.org/10.3390/drones6120388>

- Salas, L. R., Terrones Murga, R. E., Silva-López, J. O., Rojas-Briceño, N. B., Gómez Fernández, D., Oliva-Cruz, M., & Taddia, Y. (2022). Accuracy Assessment of Direct Georeferencing for Photogrammetric Applications Based on UAS-GNSS for High Andean Urban Environments. *Drones*, 6(12), 388. <https://doi.org/10.3390/drones6120388>
- Salinas Castillo, W. E., Paredes Hernández, C. U., Martínez Becerra, X., & Guevara Cortina, F. (2015). Evaluación de la exactitud posicional vertical de una nube de puntos topográficos Lidar usando topografía convencional como referencia. *Investigaciones Geográficas*, 0(85), 5–17. <https://doi.org/10.14350/rig.36934>
- Santise, M., Fornari, M., Forlani, G., & Roncella, R. (2014). Evaluation of dem generation accuracy from UAS imagery. *International Archives of the Photogrammetry, Remote Sensing and Spatial Information Sciences - ISPRS Archives*, 40(5), 529–536. <https://doi.org/10.5194/isprsarchives-XL-5-529-2014>
- SENAMHI. (2021). Pronostico del tiempo. Ministerio Del Ambiente. Revisado en. <https://www.senamhi.gob.pe/?p=pronostico-meteorologico>
- Sharma, M., Garg, R. D., Badenko, V., Fedotov, A., Min, L., & Yao, A. (2021). Potential of airborne LiDAR data for terrain parameters extraction. *Quaternary International*, 575–576, 317–327. <https://doi.org/10.1016/j.quaint.2020.07.039>
- Svenson, G. (2016). Användning av UAS i anläggningsprojekt: En jämförelse av olika mätmetoders noggrannhet och tillämpningsområden.
- Uuemaa, E., Ahi, S., Montibeller, B., Muru, M., & Kmoch, A. (2020). Vertical accuracy of freely available global digital elevation models (Aster, aw3d30, merit, tandem-x, srtm, and nasadem). *Remote Sensing*, 12(21), 1–23. <https://doi.org/10.3390/rs12213482>
- Villanueva, J. R. E., Martínez, L. I., & Montiel, J. I. P. (2019). DEM generation from fixed-wing UAV imaging and LiDAR-derived ground control points for flood estimations. *Sensors (Switzerland)*, 19(14). <https://doi.org/10.3390/s19143205>
- White, C. T., Reckling, W., Petrasova, A., Meentemeyer, R. K., & Mitsova, H. (2022). Rapid-DEM: Rapid Topographic Updates through Satellite Change Detection and

UAS Data Fusion. Remote Sensing, 14(7), 1–26.
<https://doi.org/10.3390/rs14071718>

Wolf, P. R., & Ghilani, C. D. (2008). Topografía (S. A. Alfaomega Grupo Editor (ed.); 11°).

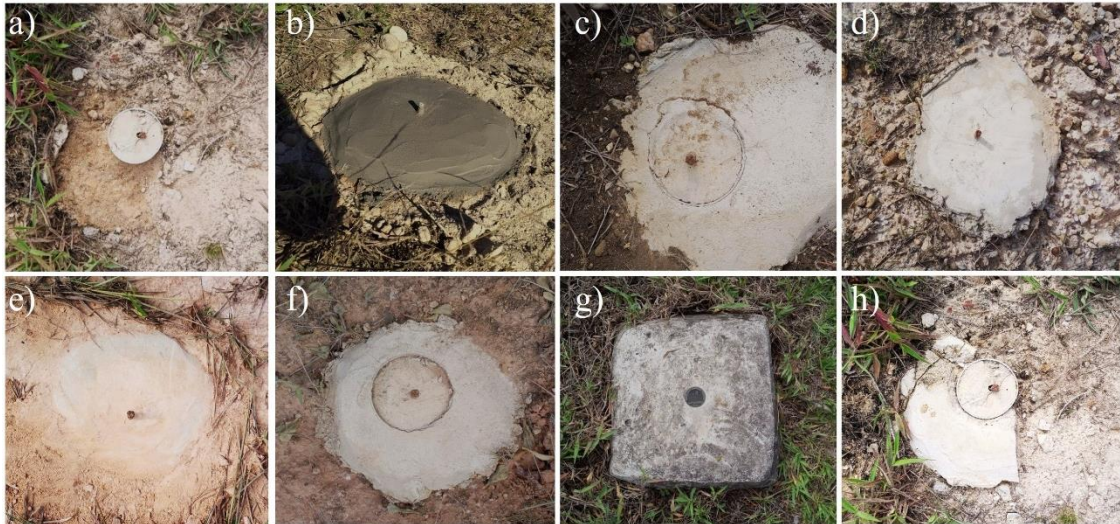
Zirakbash, T., Admiraal, R., Boronina, A., Anda, M., & Bahri, P. A. (2020). Assessing Interpolation Methods for Accuracy of Design Groundwater Levels for Civil Projects. Journal of Hydrologic Engineering, 25(9), 1–16.
[https://doi.org/10.1061/\(asce\)he.1943-5584.0001982](https://doi.org/10.1061/(asce)he.1943-5584.0001982)

ANEXOS

Anexo 1. Establecimiento de puntos de control de orden C.



Monumentación de puntos con concreto y una varilla de fierro de 3/8"



Puntos de Control (GCP): Un total de 08 unidades **a)** AMA01, **b)** AMA02, **c)** AMA03, **d)** AMA04, **e)** AMA05, **f)** AMA06, **g)** AMA07 y **h)** AMA08



INSTITUTO GEOGRAFICO NACIONAL
 AV. ARAMBURU 1184 ZONA SURQUILLO
 LIMA - LIMA
 TELEFONO : 226-7067
 EMAIL : COMERCIALIZACION@IGN.GOB.PE

FACTURA ELECTRONICA
 RUC :20301053623
 F001-013194

Horario de Atención: Lunes a Viernes 09:00 am - 04:00 pm

Datos de Cliente			Datos de la Factura		
Cliente :	SOTO PULCE JORGE		Fecha de Emision	8	Julio 2021
Direccion :	JR SALAMANCA 1129 AMAZONAS		N° Interno :	0000002830	
Ruc N° :	10744697251		Forma de Pago :	DEPOSITO	
			Tipo de Moneda :	SOLES	
TEM	CODIGO	DESCRIPCION	CANTIDAD	PRECIO U	SUBTOTAL
01	B-07-01-00036	DATA ERP CHACHAPOYAS DIGITAL DVD	2	101.19	202.38
DOSCIENTOS TREINTA Y OCHO CON 80/100 SOLES					
 <p>Usuario : 10744697251 Clave : 0000008404 Ingrese al link http://app.ign.gob.pe/documentoelectronicos Vendedor : rBROCCAS Cobrado Por : jBROCCAB Hora Impresion : 02:25:02p.m.</p>			SUB TOTAL VENTA	S/	202.37
			ANTICIPOS	S/	0.00
			DESCUENTOS	S/	0.00
			VALOR VENTA	S/	0.00
			ISC	S/	0.00
			IGV	S/ 18%	36.43
			OTROS CARGOS	S/	0.00
			OTROS TRIBUTOS	S/	0.00
			IMPORTE TOTAL :	S/	238.80

Esta es una representacion impresa

Efectos fiscales al pago

N° NOTA VENTA : 0000003765

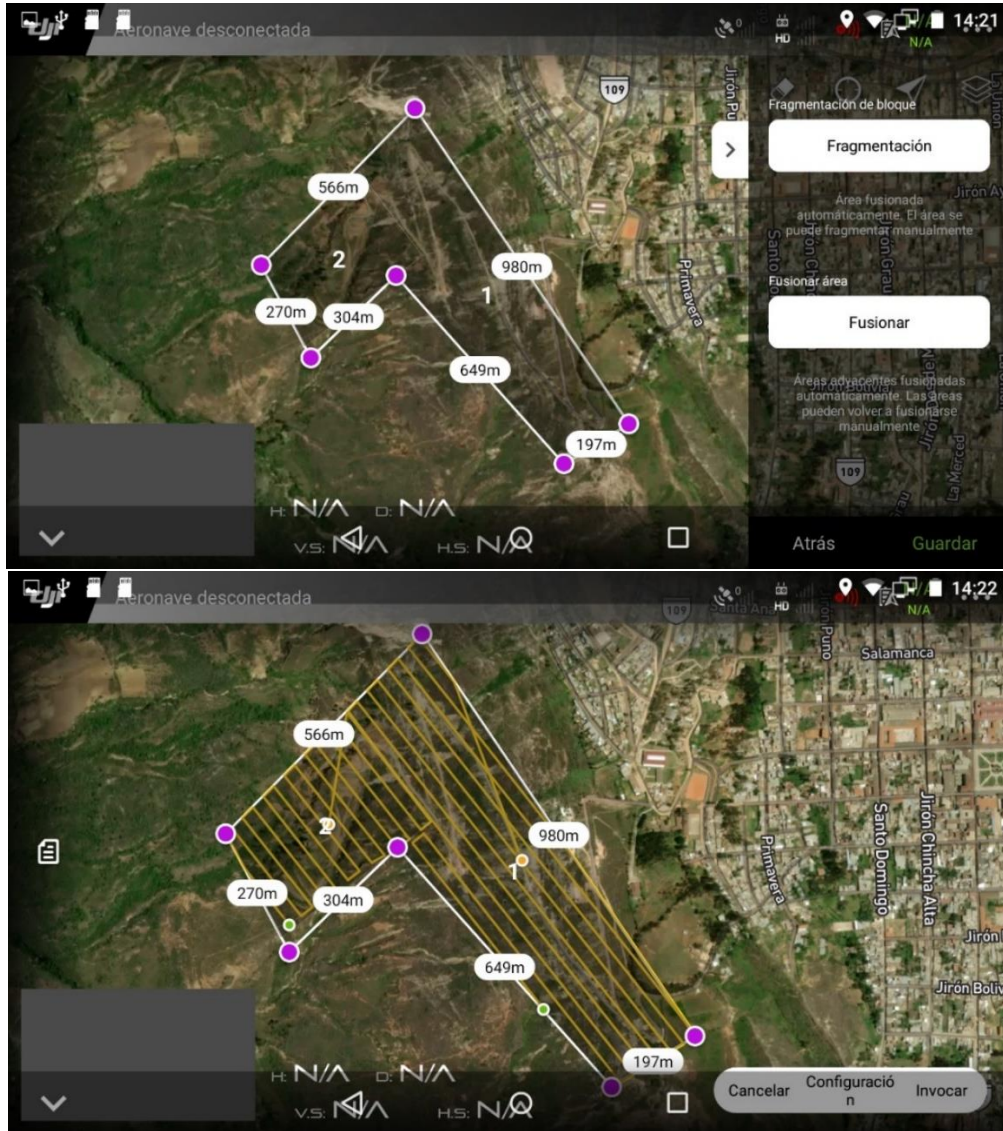
ERP AM01 - CHACHAPOYAS
 FECHAS: 06,07 / 07 / 2021
 JORGESOTOPULCE@GMAIL.COM

Compra de datos de la RPA - AMA01, mediante solicitud al Instituto Geográfico Nacional (IGN)

Anexo 2. Levantamiento y análisis de datos del estudio topográfico y fotogramétrico



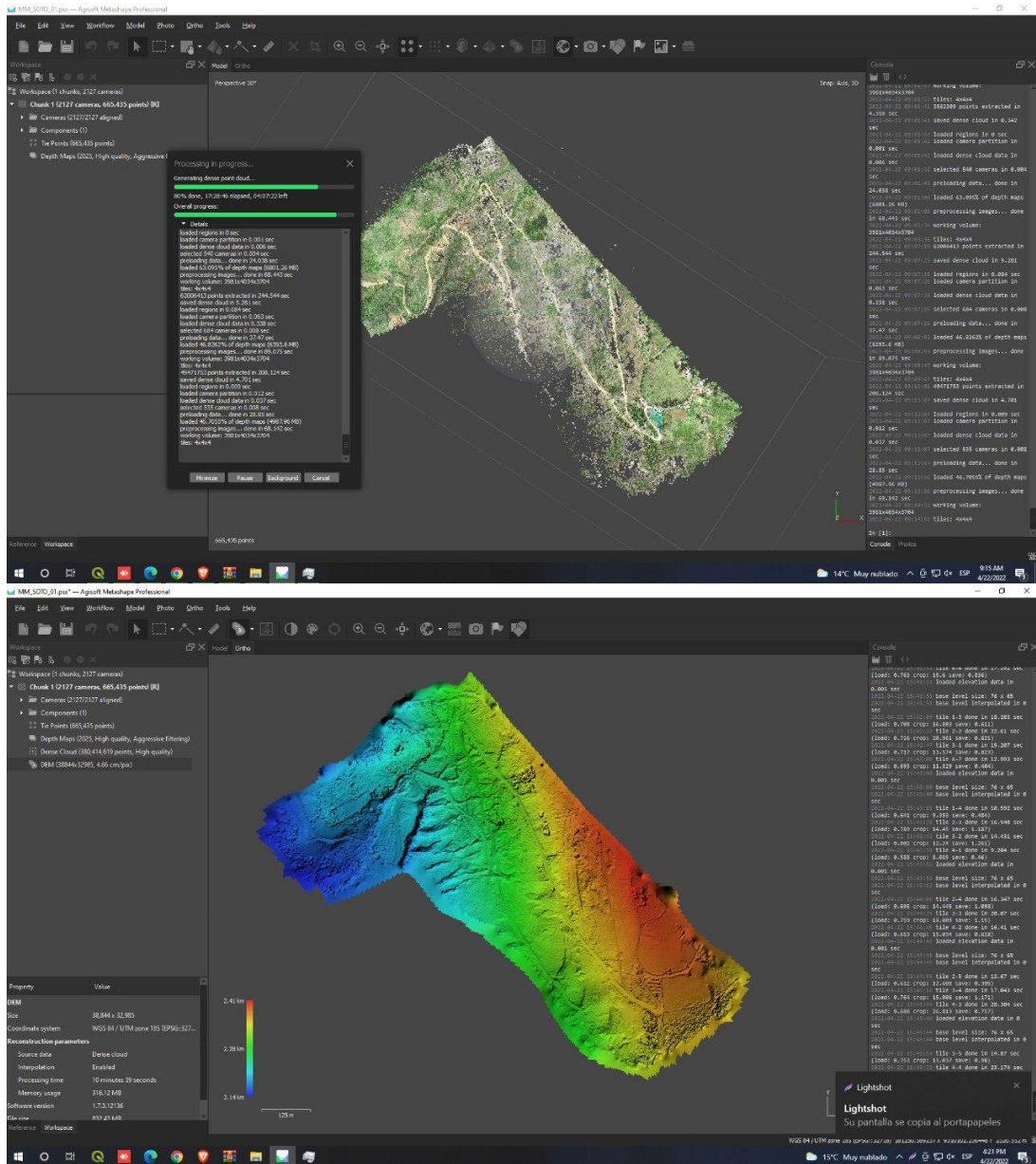
Ejecución del estudio topográfico (establecimiento de puntos dentro del margen de la pista) y fotogramétrico (uso de un GCP para establecer la base RTK del Phantom4RTK)



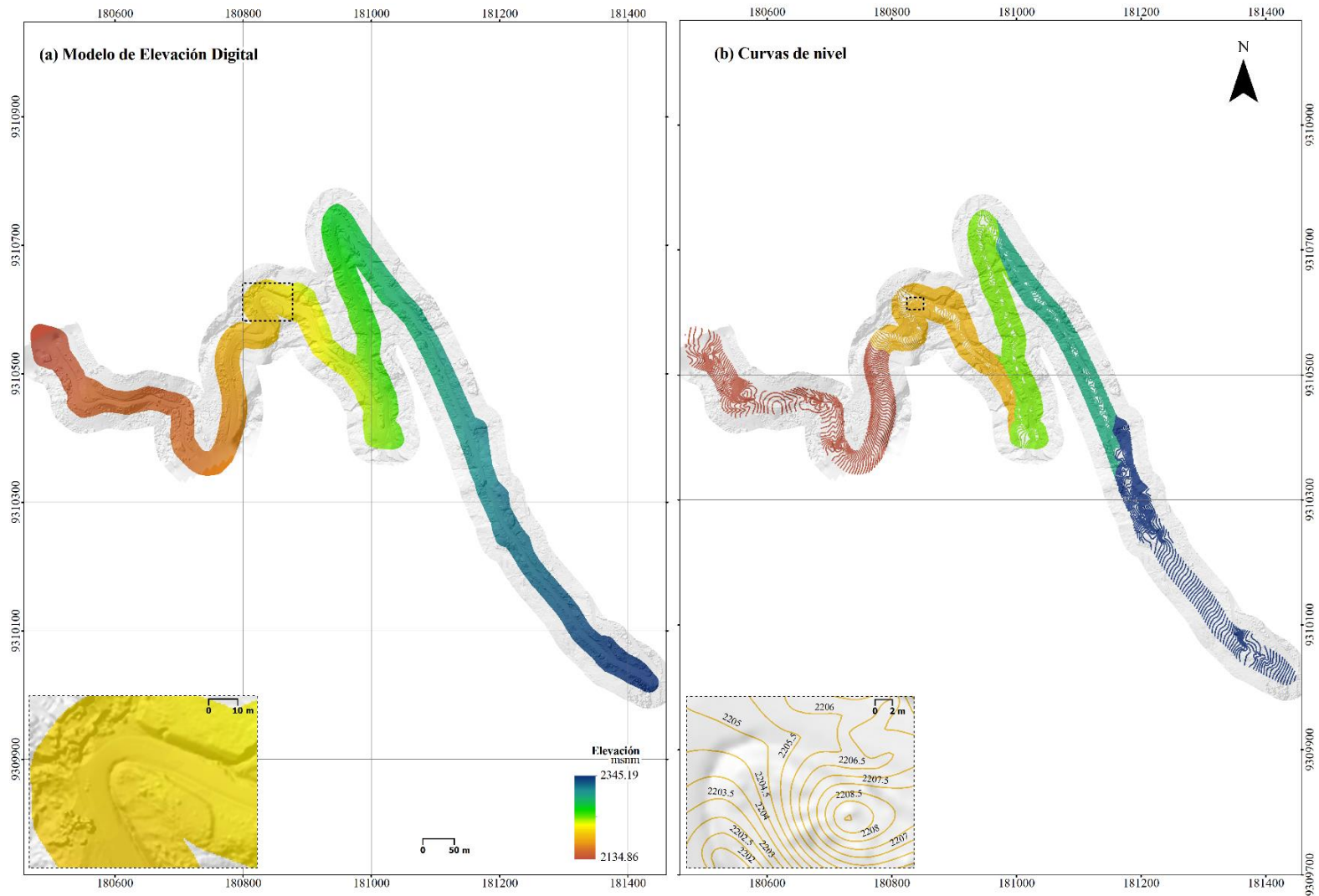
Plan de vuelo diseñado en la APP “GS RTK” de DJI. Tipo de vuelo: “Por Bloques”



Descarga de datos fotogramétricos (Plan de vuelo_Tesis). Equipo Phantom4RTK



Procesamiento de datos fotogramétricos en una PC tipo Workstation del La. Geomática – Indes-ces / Untrm



Productos topográficos generados a partir de datos de estación total (ST): (a) Modelo de Elevación digital (MED) y (b) Curvas de nivel

Anexo 3. Ejemplo de resultados de procesamiento de un punto de Orden “C” en el software Trimble Business Center y data base del IGN.

AM01 - AMA_05 (2:09:52 PM-5:30:37 PM) (S17)

Baseline observation:	AM01 --- AMA_05 (B17)
Processed:	8/13/2021 12:07:30 PM
Solution type:	Fixed
Frequency used:	Dual Frequency (L1, L2)
Horizontal precision:	0.002 m
Vertical precision:	0.004 m
RMS:	0.010 m
Maximum PDOP:	3.142
Ephemeris used:	Precise
Antenna model:	IGS Absolute
Processing start time:	7/7/2021 2:09:52 PM (Offset from UTC: -5hr)
Processing stop time:	7/7/2021 5:30:32 PM (Offset from UTC: -5hr)
Processing duration:	03:20:40
Processing interval:	5 seconds

Vector Components (Mark to Mark)

From: AM01					
Grid		Local		Global	
Easting	182077.559 m	Latitude	S6°14'06.55453"	Latitude	S6°14'06.55453"
Northing	9309934.688 m	Longitude	W77°52'22.05458"	Longitude	W77°52'22.05458"
Elevation	2299.8504 m	Height	2319.5318 m	Height	2319.5318 m

To: AMA_05					
Grid		Local		Global	
Easting	181004.485 m	Latitude	S6°13'51.21488"	Latitude	S6°13'51.21488"
Northing	9310400.456 m	Longitude	W77°52'56.84910"	Longitude	W77°52'56.84910"
Elevation	2236.8465 m	Height	2256.4384 m	Height	2256.4384 m

Vector					
ΔEasting	-1073.074 m	NS Fwd Azimuth	293°46'32"	ΔX	-1048.549 m
ΔNorthing	465.768 m	Ellipsoid Dist.	1168.798 m	ΔY	-213.413 m
ΔElevation	-63.0038 m	ΔHeight	-63.093 m	ΔZ	475.448 m

Standard Errors

Vector errors:					
σ ΔEasting	0.001 m	σ NS fwd Azimuth	0°00'00"	σ ΔX	0.001 m
σ ΔNorthing	0.001 m	σ Ellipsoid Dist.	0.001 m	σ ΔY	0.002 m
σ ΔElevation	0.002 m	σ ΔHeight	0.002 m	σ ΔZ	0.001 m

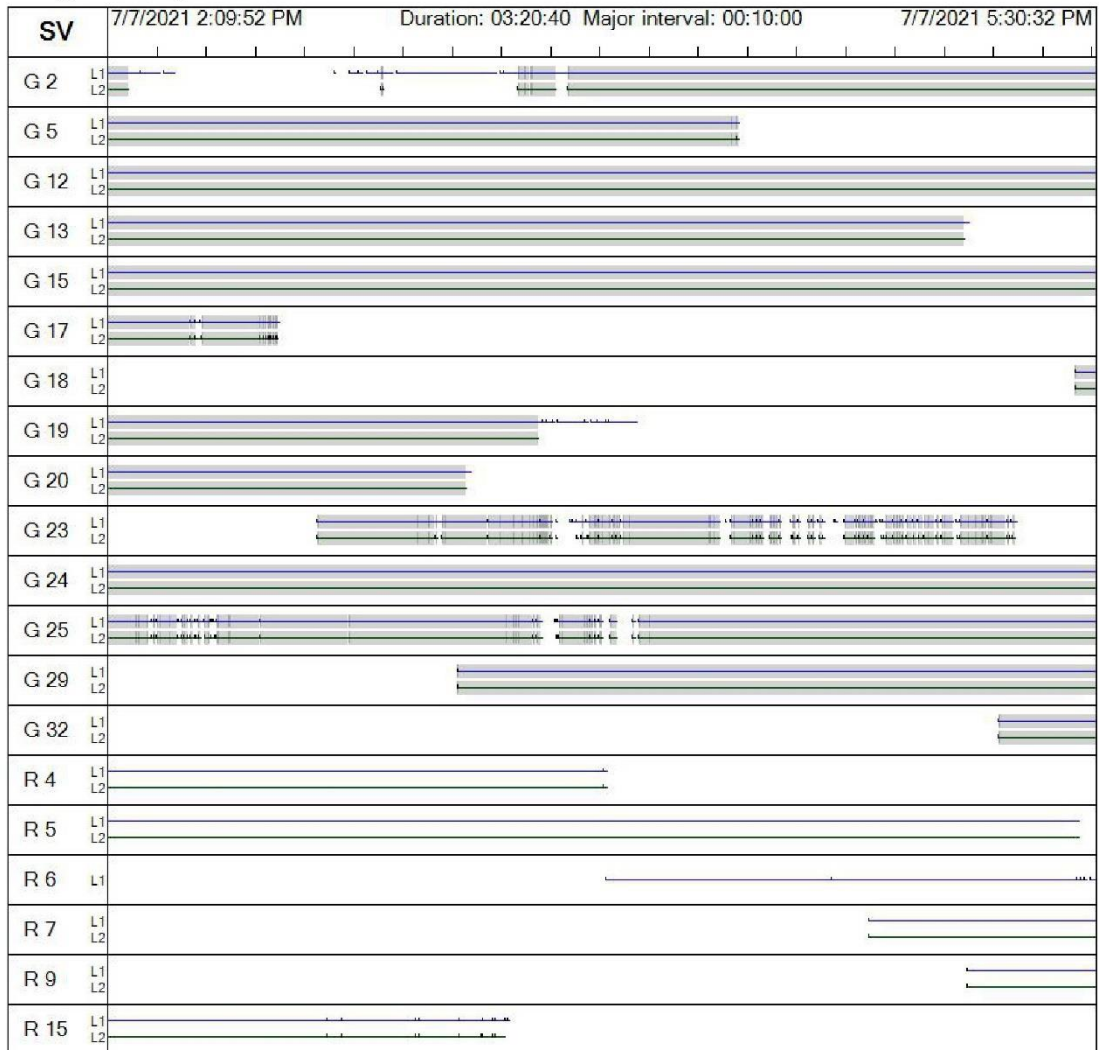
Aposteriori Covariance Matrix (Meter²)

	X	Y	Z
X	0.0000007842		
Y	-0.0000004466	0.0000036647	
Z	-0.0000000873	0.0000004554	0.0000005045

Occupations

	From	To
Point ID:	AM01	AMA_05
Data file:	E:\DESKTOP_19_07_21\JORGE_BMS\PROYECTO\DIA_02\DIA_02\AM01188aA.T01	E:\DESKTOP_19_07_21\JORGE_BMS\PROYECTO\DIA_02\DIA_02\51271881.T02
Receiver type:	NetR8	R10
Receiver serial number:	4906K34387	5419465127
Antenna type:	Zephyr Geodetic 2 w/Dome	R10 Internal
Antenna serial number:	40929091	-----
Antenna height (measured):	0.075 m	1.264 m
Antenna method:	Bottom of antenna mount	Lever of R10 extension

Tracking Summary



SV	7/7/2021 2:09:52 PM	Duration: 03:20:40	Major interval: 00:10:00	7/7/2021 5:30:32 PM
R 16	L1 L2			
R 18	L1 L2			
R 19	L1 L2			
R 20	L1 L2			
E 7	E1 E5			
E 8	E1 E5			
E 13	E1 E5			
E 15	E1 E5			
E 19	E1 E5			
E 21	E1 E5			
E 26	E1 E5			
E 27	E1 E5			
E 30	E1 E5			
C 19	B1			
C 20	B1			
C 27	B1			
C 28	B1			
C 29	B1			
C 30	B1			

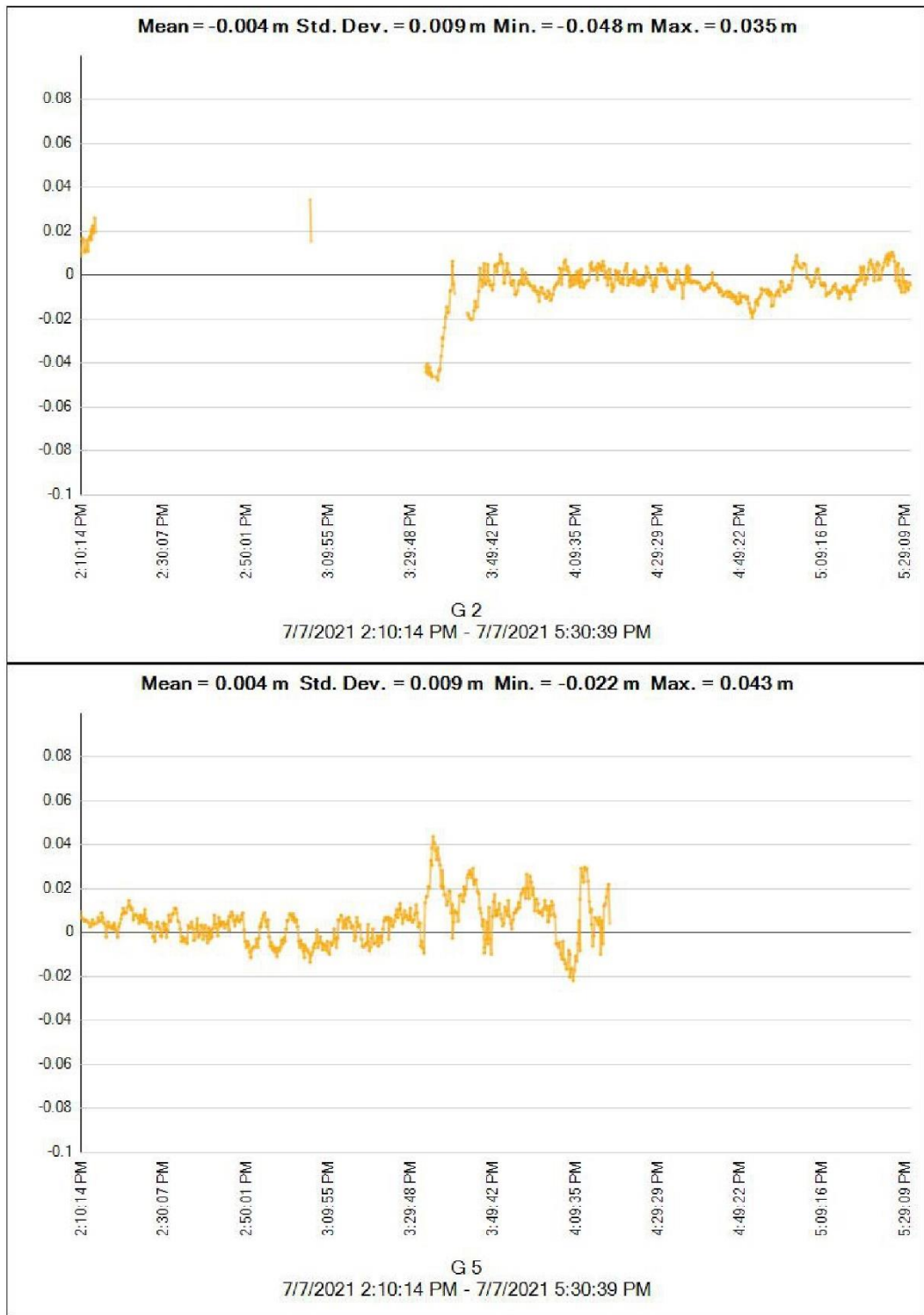
Processing style

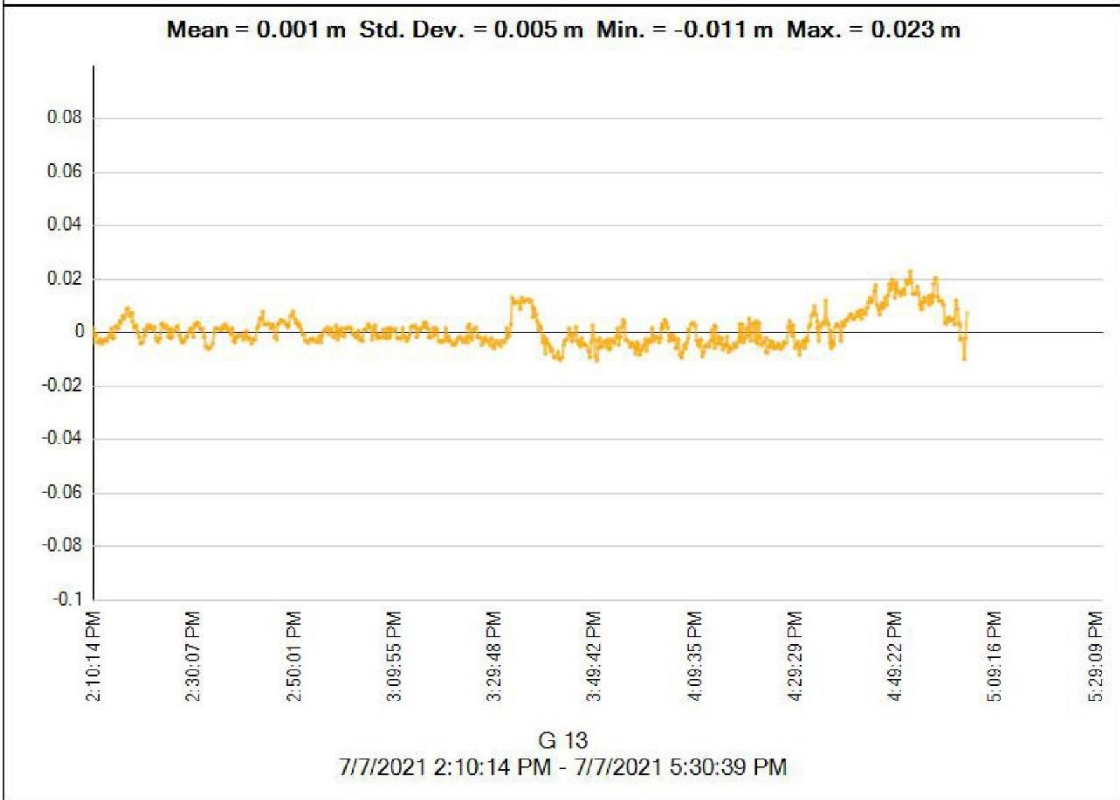
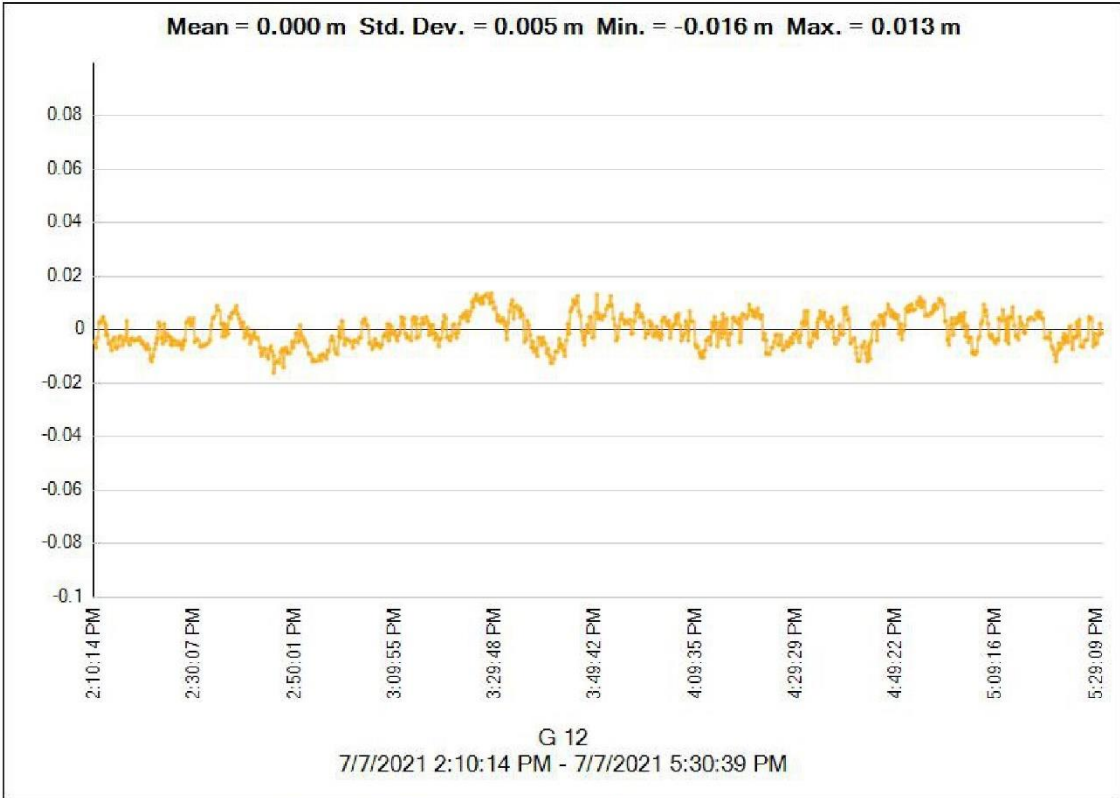
Elevation mask:	10°00'00.0"
Auto start processing:	Yes
Start automatic ID numbering:	AUTO0001
Continuous vectors:	No
Generate residuals:	Yes
Antenna model:	IGS Absolute
Ephemeris type:	Precise
Frequency:	Multiple Frequencies
Processing Interval:	5 seconds
Force float:	No
GIS processing type:	Automatic Carrier and Code Processing

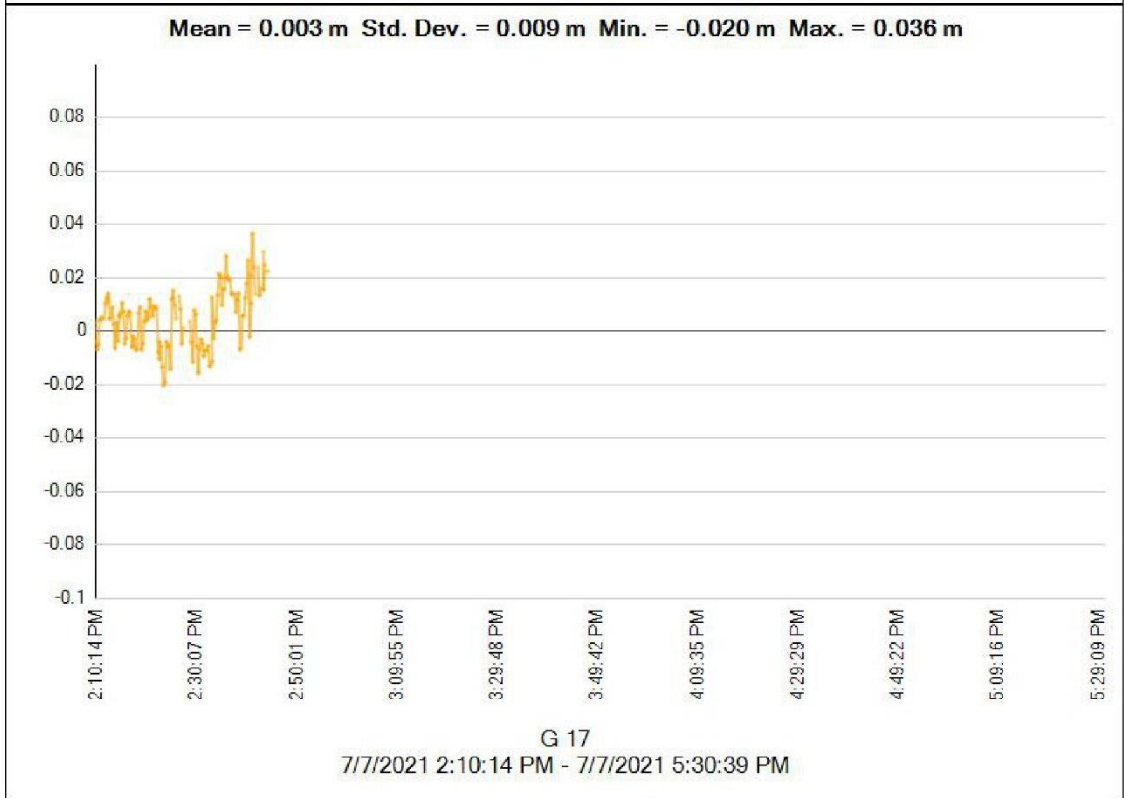
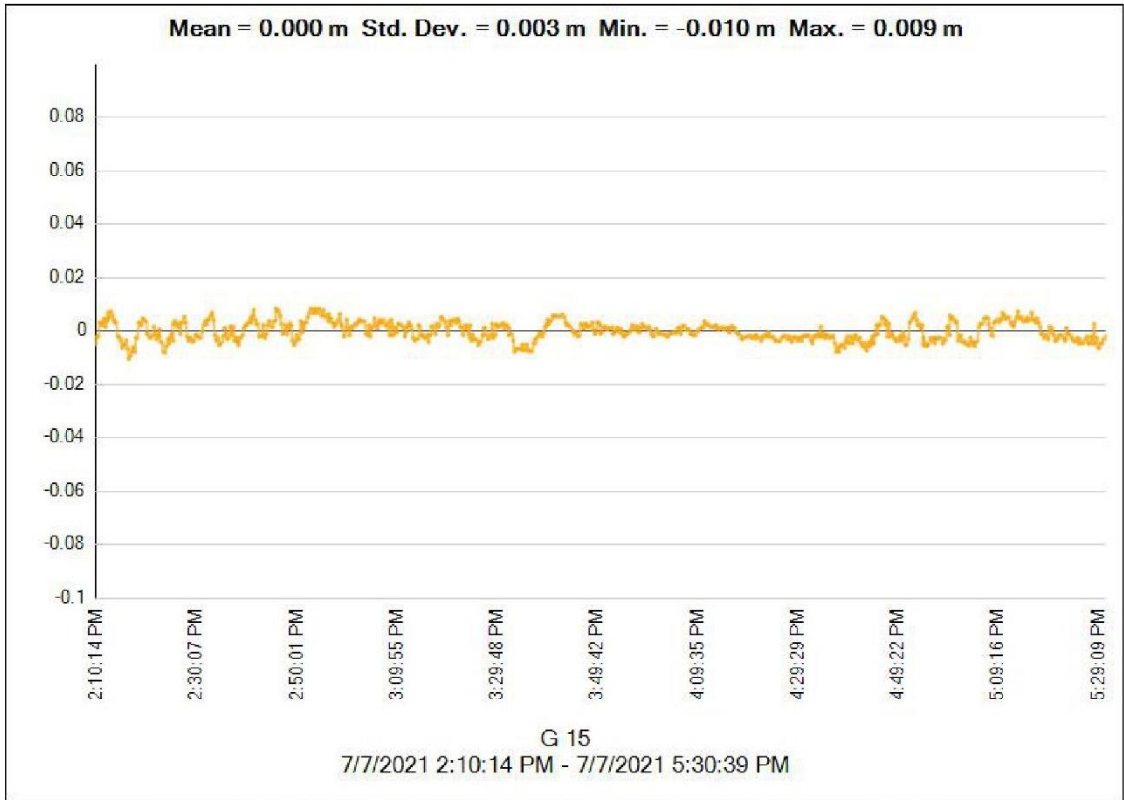
Acceptance Criteria

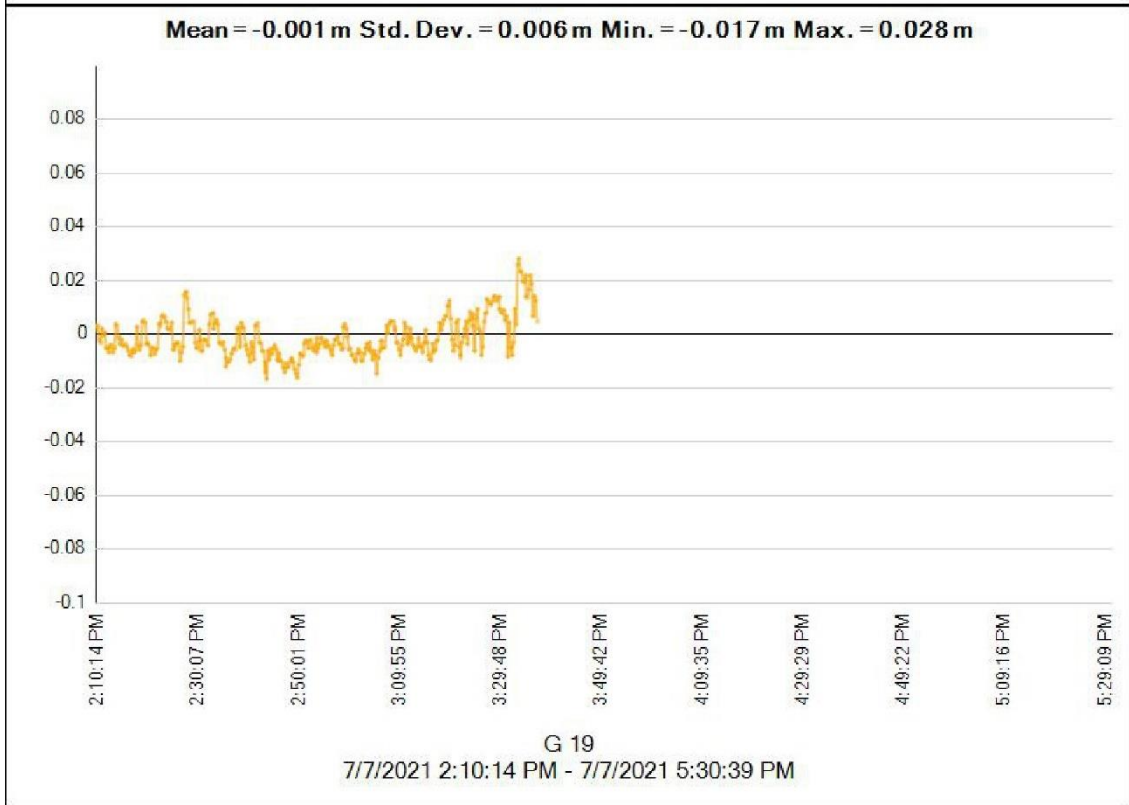
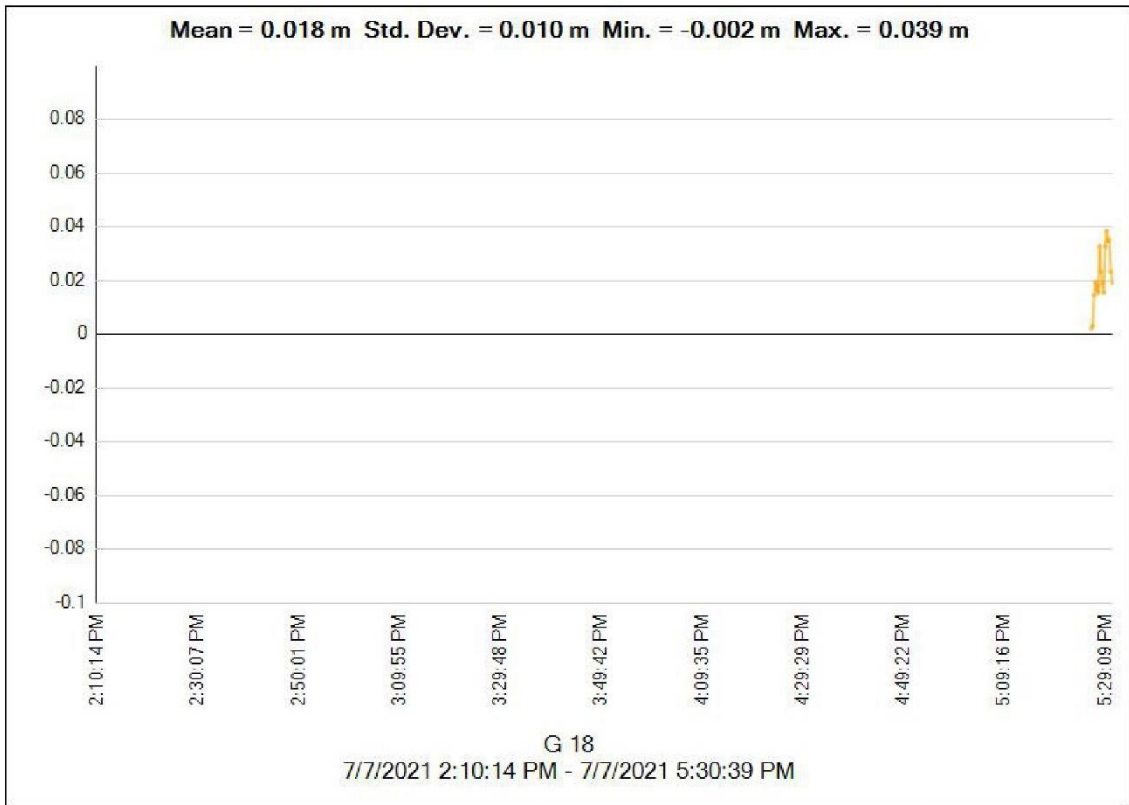
Vector Component	Flag 	Fail 
Horizontal Precision >	0.020 m + 1.000 ppm	0.100 m + 1.000 ppm
Vertical Precision >	0.050 m + 1.000 ppm	0.200 m + 1.000 ppm

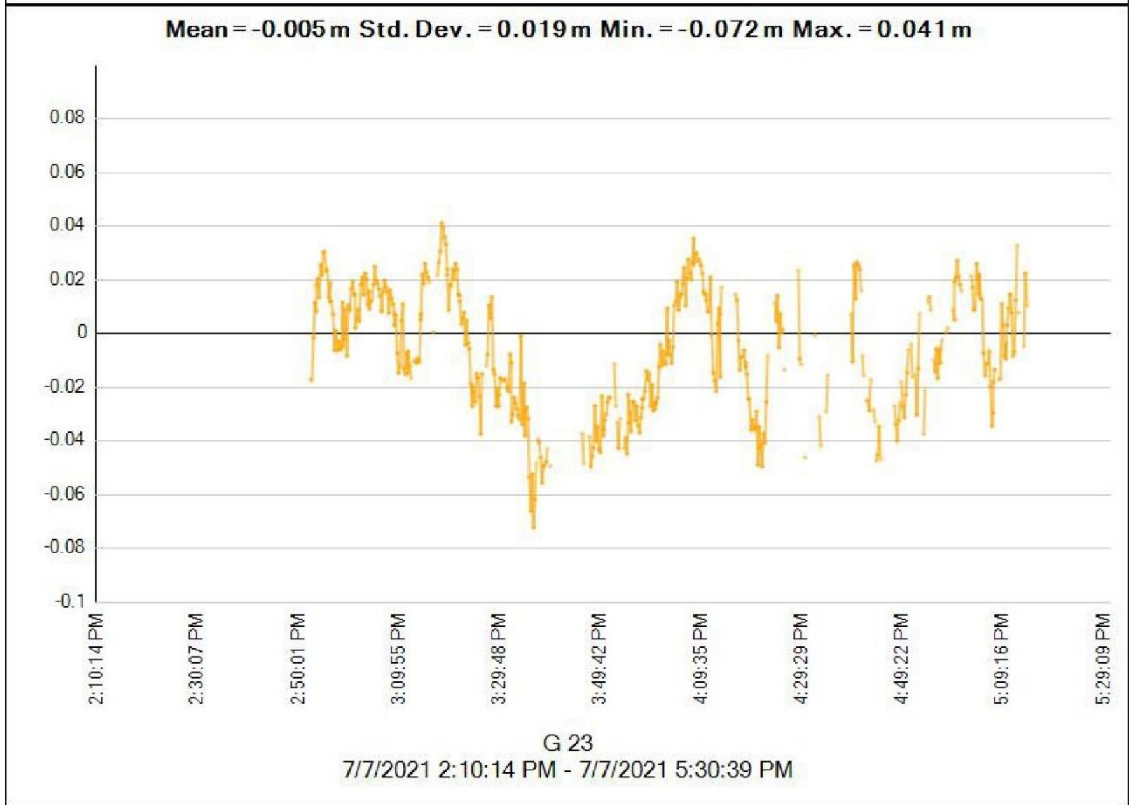
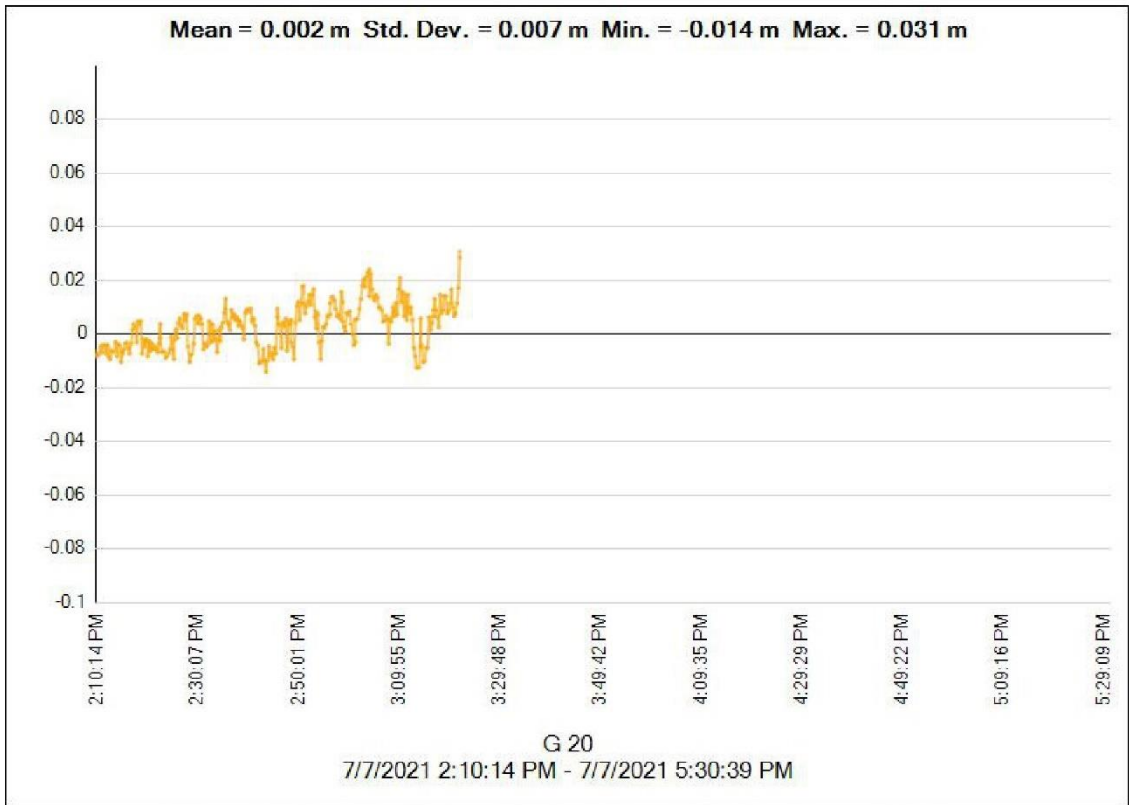
Residuals

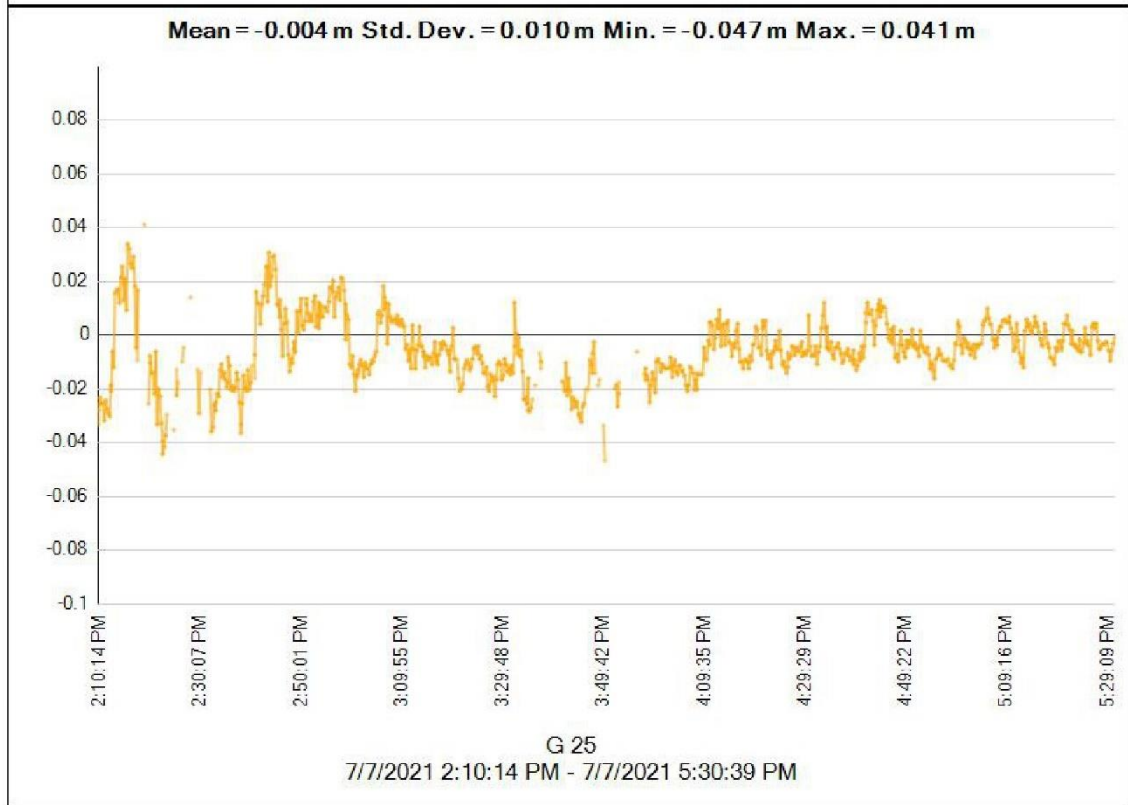
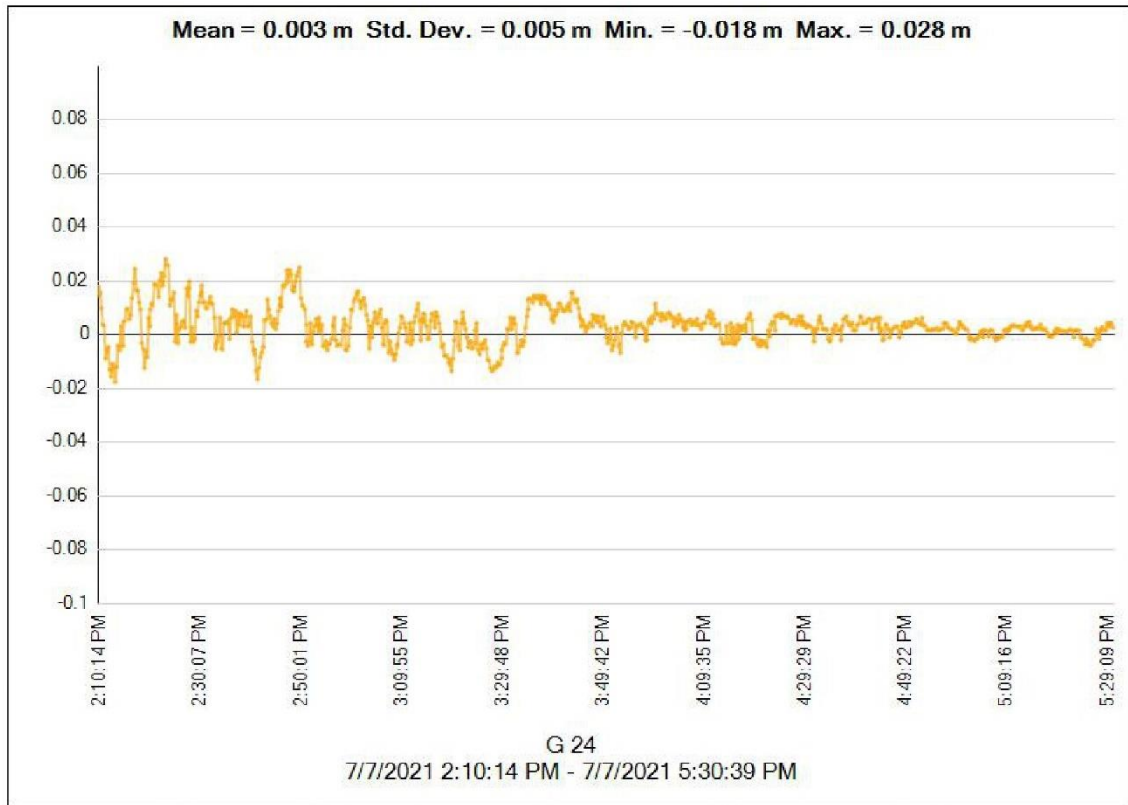


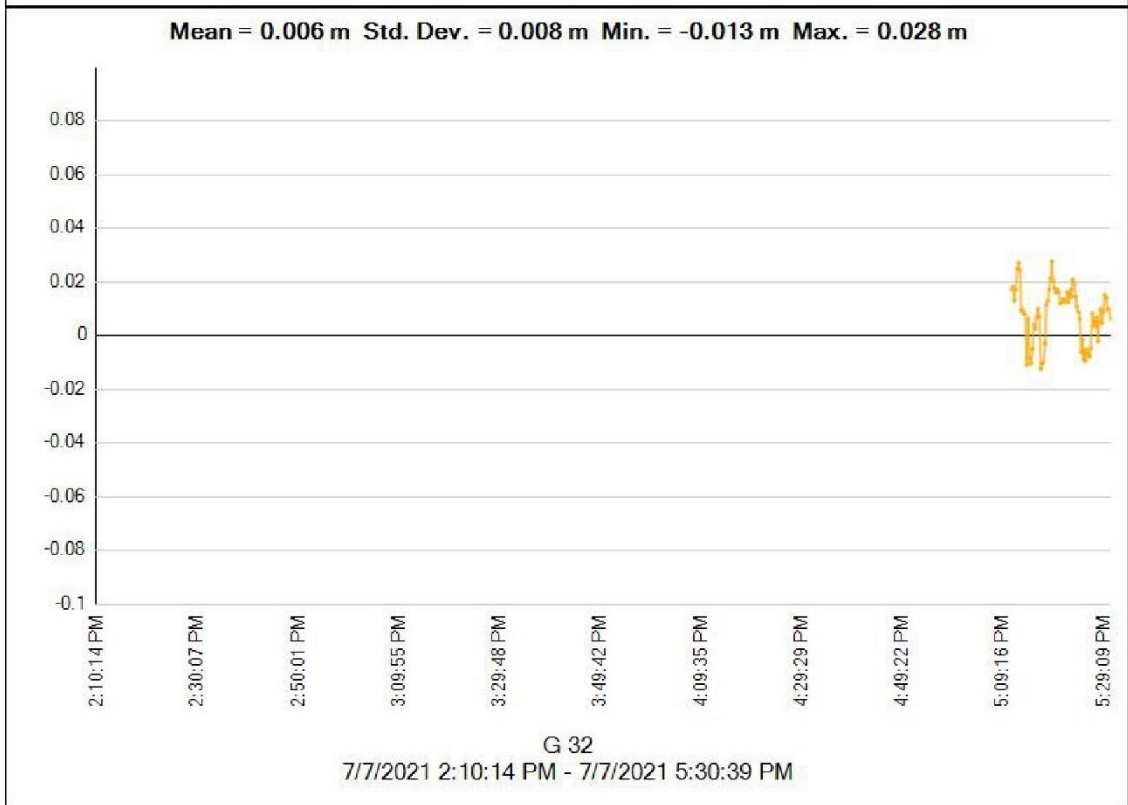
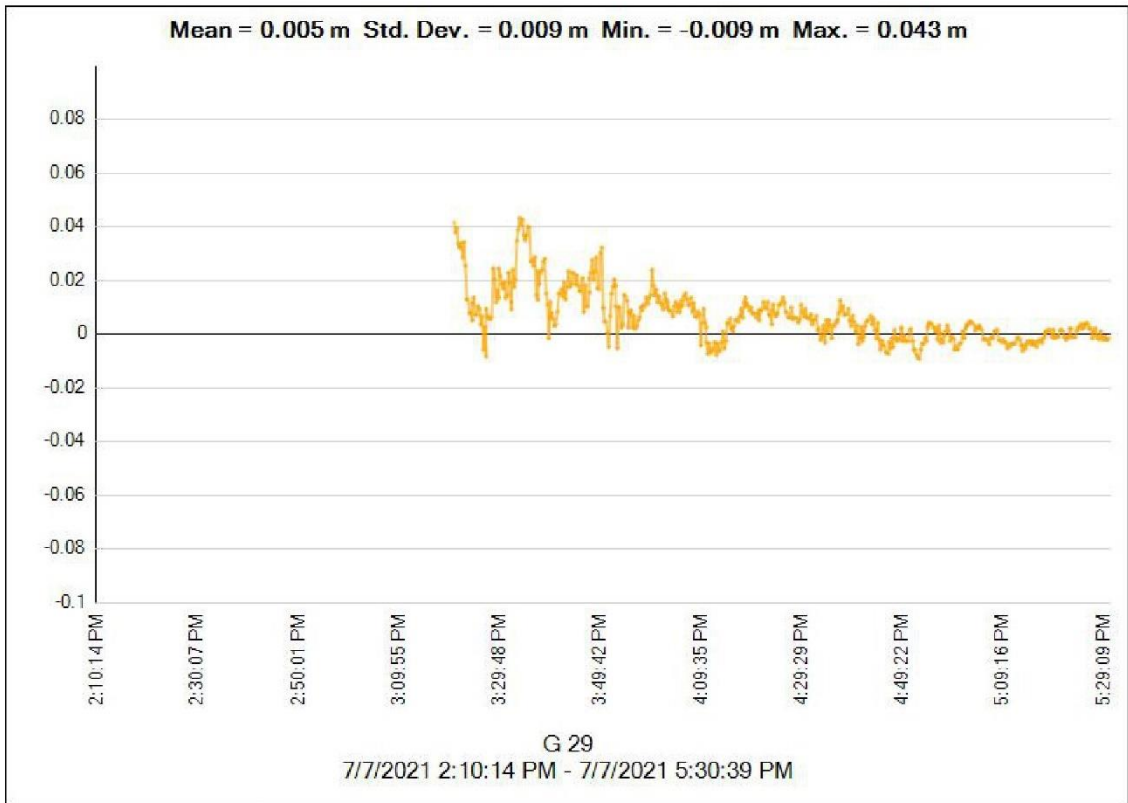












Anexo 4. Reporte de procesamiento fotogramétrico del levantamiento en modo RTK flotante.

Reporte_Bocanegra_RTK

Elab. Jorge Soto Pulce

11 January 2023



Datos del levantamiento

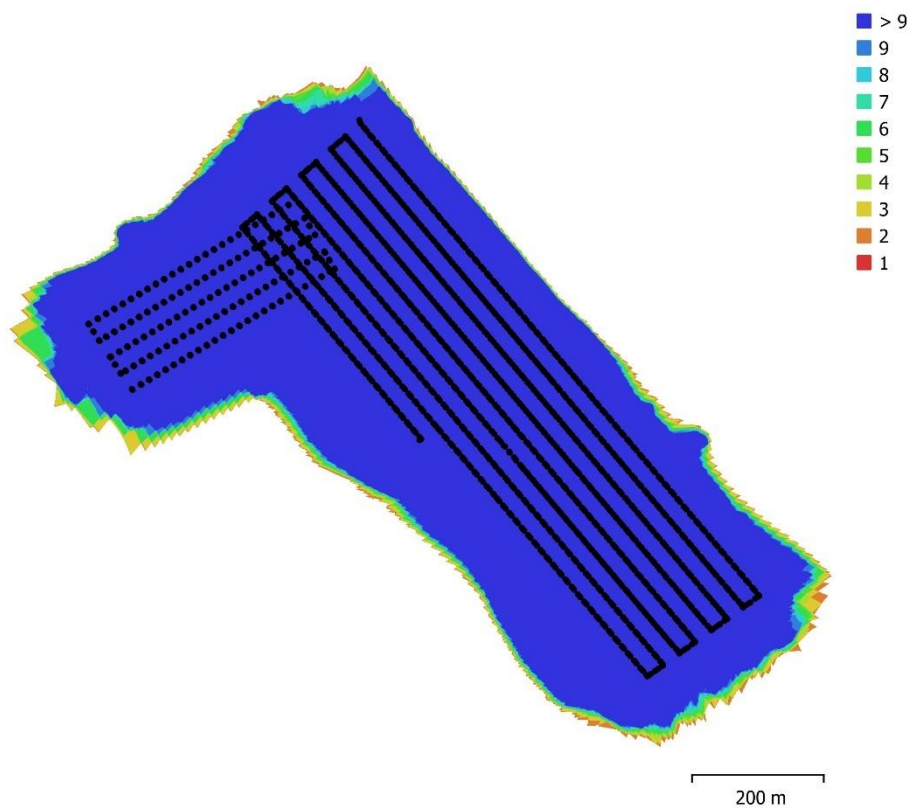


Fig. 1. Posiciones de cámaras y solapamiento de imágenes.

Número de imágenes:	2,127	Imágenes alineadas:	2,127
Altitud media de vuelo:	87.8 m	Puntos de paso:	665,435
Resolución en terreno:	2.33 cm/pix	Proyecciones:	3,342,817
Área cubierta:	0.545 km ²	Error de reproyección:	1.99 pix

Modelo de cámara	Resolución	Distancia focal	Tamaño de píxel	Precalibrada
FC6310R (8.8mm)	5472 x 3648	8.8 mm	2.41 x 2.41 micras	Sí

Tabla 1. Cámaras.

Calibración de cámara

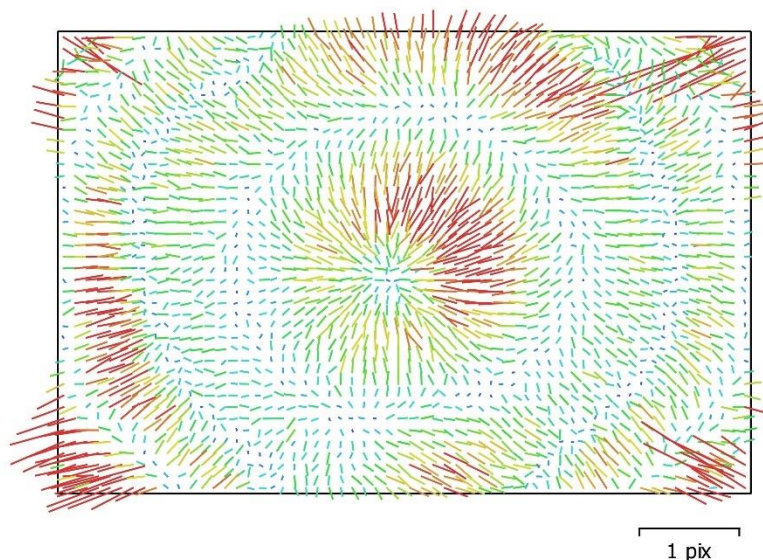


Fig. 2. Gráfico de residuales para FC6310R (8.8mm).

FC6310R (8.8mm)

2127 imágenes, precalibrada

Tipo
Cuadro

Resolución
5472 x 3648

Distancia focal
8.8 mm

Tamaño de píxel
2.41 x 2.41 micras

	Valor	Error	F	Cx	Cy	K1	K2	K3	P1	P2
F	3695.74	0.18	1.00	0.07	0.04	-0.73	0.43	-0.32	-0.13	-0.02
Cx	-32.7708	0.04		1.00	0.00	-0.05	0.04	-0.03	0.20	-0.01
Cy	3.59416	0.032			1.00	-0.03	0.01	-0.01	-0.02	0.08
K1	-0.282736	4e-05				1.00	-0.91	0.82	0.09	0.00
K2	0.118622	6.2e-05					1.00	-0.98	-0.04	0.00
K3	-0.0302539	3.3e-05						1.00	0.02	-0.00
P1	-0.00030515	1.1e-06							1.00	0.02
P2	0.000335237	1.2e-06								1.00

Tabla 2. Coeficientes de calibración y matriz de correlación.

Posiciones de cámaras

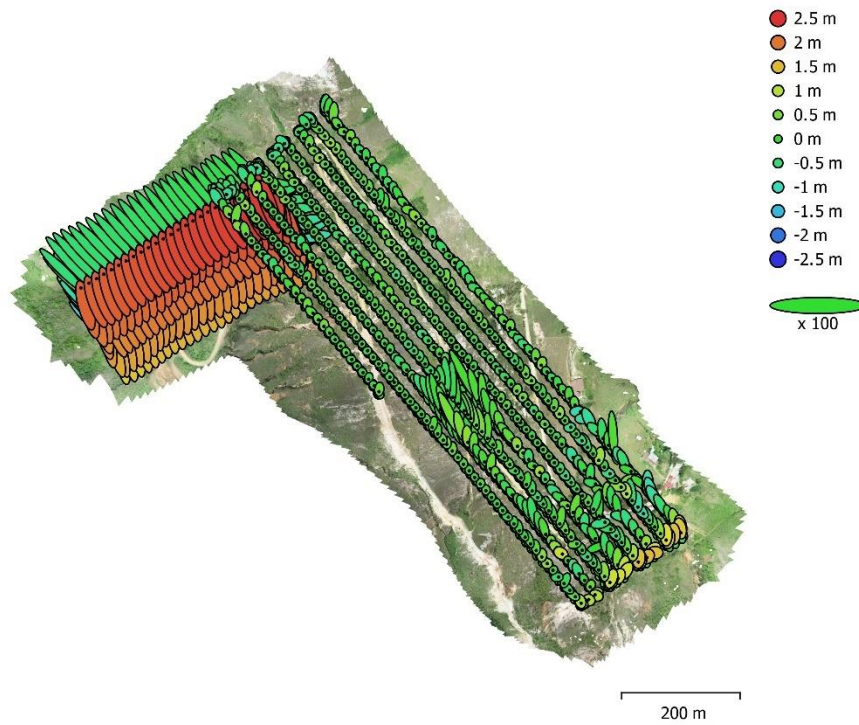


Fig. 3. Posiciones de cámaras y estimadores de error.
 El color indica el error en Z mientras el tamaño y forma de la elipse representan el error en XY.
 Posiciones estimadas de las cámaras se indican con los puntos negros.

Error en X (cm)	Error en Y (cm)	Error en Z (cm)	Error en XY (cm)	Error combinado (cm)
19.5147	23.9949	61.8614	30.9286	69.1623

Tabla 3. Errores medios de las posiciones de cámaras.
 X - Longitud, Y - Latitud, Z - Altitud.

Modelo digital de elevaciones

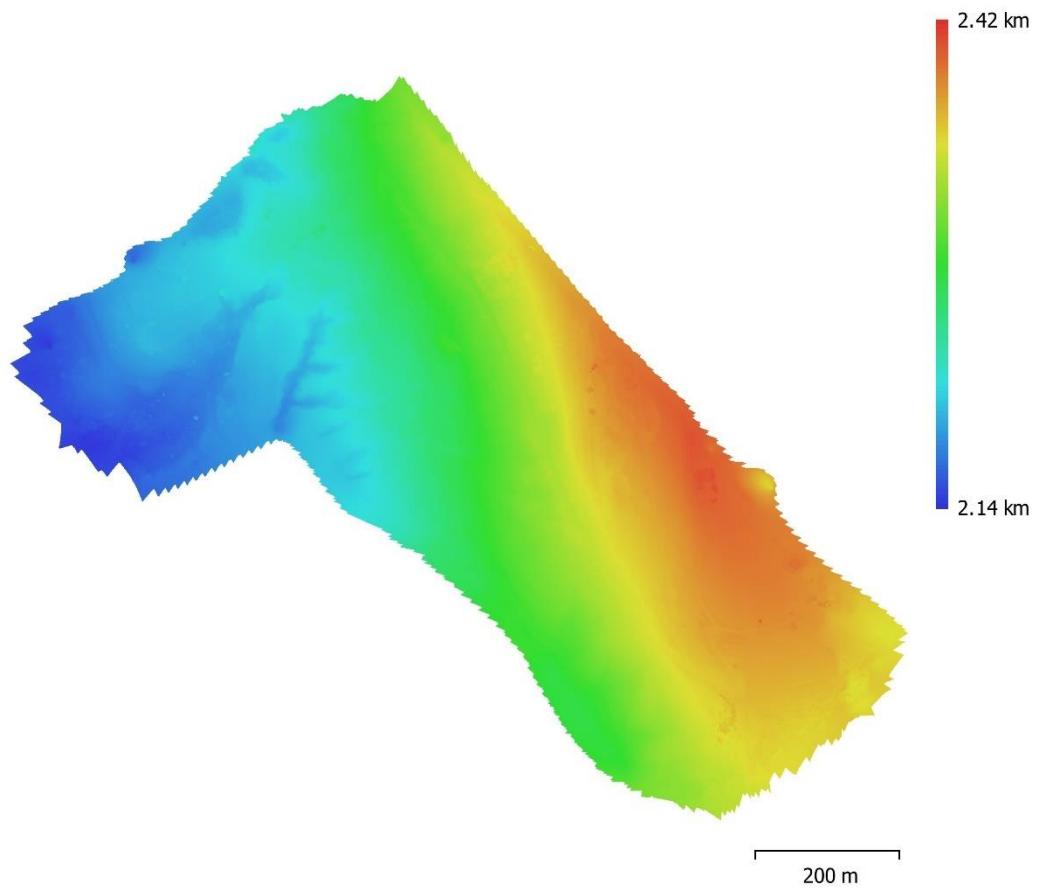


Fig. 4. Modelo digital de elevaciones.

Resolución: 4.66 cm/pix
Densidad de puntos: 461 puntos/m²

Parámetros de procesamiento

Generales

Cámaras	2127
Cámaras orientadas	2127
Sistema de coordenadas	WGS 84 (EPSG::4326)
Ángulo de rotación	Guiñada, cabeceo, alabeo

Nube de puntos

Puntos	665,435 de 1,015,655
RMS error de reproyección	0.486569 (1.98776 pix)
Error de reproyección máximo	2.09365 (145.152 pix)
Tamaño promedio de puntos característicos	3.22346 pix
Colores de puntos	3 bandas, uint8
Puntos clave	6.83 GB
Multiplicidad media de puntos de paso	9.28407

Parámetros de orientación

Precisión	Alta
Pre-selección genérica	Sí
Pre-selección de referencia	Origen
Puntos clave por foto	40,000
Puntos de paso por foto	4,000
Excluir puntos de paso inmóviles	Sí
Emparejamiento guiado	No
Ajuste adaptativo del modelo de cámara	No
Tiempo búsqueda de emparejamientos	27 minutos 31 segundos
Uso de memoria durante el emparejamiento	9.24 GB
Tiempo de orientación	2 horas 6 minutos
Uso de memoria durante el alineamiento	2.83 GB
Versión del programa	1.7.3.12136
Tamaño de archivo	198.31 MB

Mapas de profundidad

Número	2025
--------	------

Parámetros de obtención de mapas de profundidad

Calidad	Alta
Nivel de filtrado	Agresivo
Tiempo de procesamiento	5 horas 50 minutos
Tamaño de archivo	12.62 GB

Nube de puntos densa

Puntos	380,414,619
Colores de puntos	3 bandas, uint8

Parámetros de obtención de mapas de profundidad

Calidad	Alta
Nivel de filtrado	Agresivo
Tiempo de procesamiento	5 horas 50 minutos

Parámetros de generación de la nube densa

Tiempo de procesamiento	17 horas 48 minutos
Uso de memoria	12.81 GB
Versión del programa	1.7.3.12136
Tamaño de archivo	4.83 GB

MDE

Tamaño	38,844 x 32,985
Sistema de coordenadas	WGS 84 / UTM zone 18S (EPSG::32718)

Parámetros de reconstrucción

Origen de datos	Nube de puntos densa
Interpolación	Habilitada
Tiempo de procesamiento	10 minutos 39 segundos
Uso de memoria	316.12 MB
Versión del programa	1.7.3.12136
Tamaño de archivo	832.43 MB

Ortomosaico

Tamaño	53,709 x 44,341
Sistema de coordenadas	WGS 84 / UTM zone 18S (EPSG::32718)
Colores	3 bandas, uint8

Parámetros de reconstrucción

Modo de mezcla	Mosaico
Superficie	MDE
Permitir el cierre de agujeros	Sí
Habilitar el filtro de efecto fantasma	No
Tiempo de procesamiento	2 horas 26 minutos
Uso de memoria	4.60 GB
Versión del programa	1.7.3.12136
Tamaño de archivo	84.50 GB

Sistema

Nombre del programa	Agisoft Metashape Professional
Versión del programa	1.7.3 build 12136
OS	Windows 64 bit
RAM	15.66 GB
CPU	Intel(R) Xeon(R) W-2125 CPU @ 4.00GHz
GPU(s)	Quadro P4000

Anexo 5. Reporte de procesamiento fotogramétrico del levantamiento en modo RTK con GCP.

Reporte_Bocanegra_RTK_GCP

Elab. Jorge Soto Pulce

12 January 2023



Datos del levantamiento

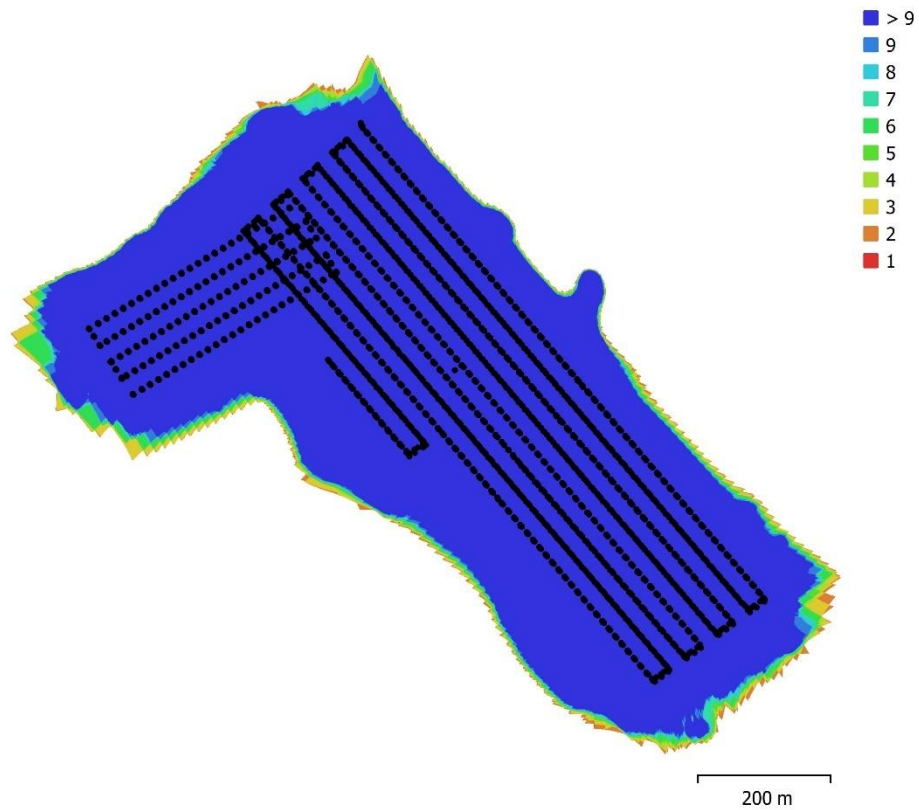


Fig. 1. Posiciones de cámaras y solapamiento de imágenes.

Número de imágenes: 2,176	Imágenes alineadas: 2,175
Altitud media de vuelo: 85 m	Puntos de paso: 575,936
Resolución en terreno: 2.32 cm/pix	Proyecciones: 3,125,160
Área cubierta: 0.556 km ²	Error de reproyección: 1.24 pix

Modelo de cámara	Resolución	Distancia focal	Tamaño de píxel	Precalibrada
FC6310R (8.8mm)	5472 x 3648	8.8 mm	2.41 x 2.41 micras	Sí

Tabla 1. Cámaras.

Calibración de cámara

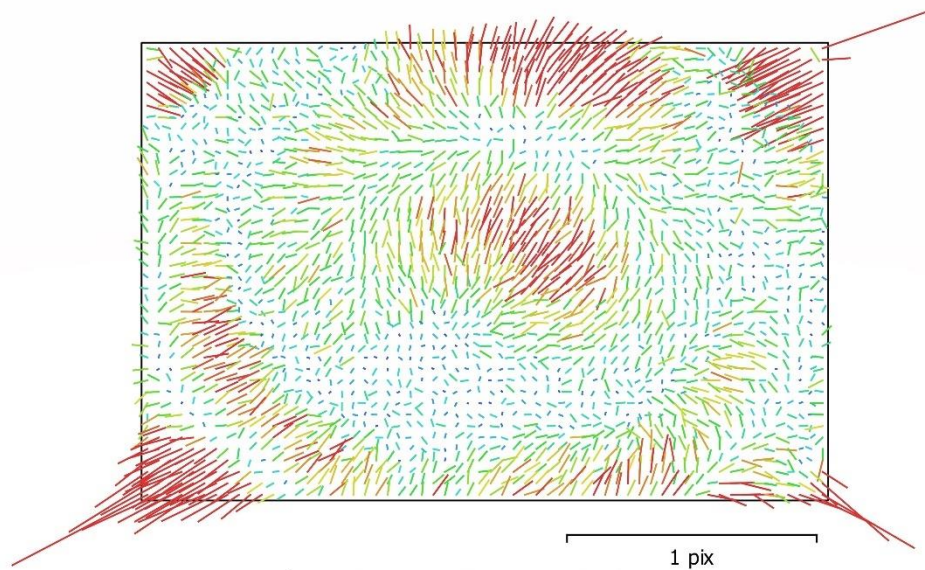


Fig. 2. Gráfico de residuales para FC6310R (8.8mm).

FC6310R (8.8mm)

2176 imágenes, precalibrada

Tipo	Resolución	Distancia focal	Tamaño de píxel
Cuadro	5472 x 3648	8.8 mm	2.41 x 2.41 micras

	Valor	Error	F	Cx	Cy	B1	B2	K1	K2	K3	K4	P1	P2
F	3552.08	0.59	1.00	0.36	0.15	0.01	0.06	-0.96	0.75	-0.54	0.44	-0.43	-0.04
Cx	-35.4868	0.023		1.00	0.10	0.04	0.02	-0.35	0.27	-0.20	0.16	-0.34	-0.08
Cy	2.67136	0.017			1.00	0.00	0.04	-0.15	0.11	-0.08	0.07	-0.08	-0.31
B1	0.314951	0.0091				1.00	0.02	-0.02	-0.00	0.02	-0.02	-0.07	0.02
B2	-0.101935	0.0086					1.00	-0.06	0.05	-0.03	0.03	-0.05	-0.09
K1	-0.269046	9e-05						1.00	-0.89	0.73	-0.63	0.42	0.04
K2	0.126052	0.00011							1.00	-0.95	0.90	-0.33	-0.04
K3	-0.0530178	9.7e-05								1.00	-0.99	0.24	0.03
K4	0.0113103	3.5e-05									1.00	-0.20	-0.03
P1	-0.000180709	8.3e-07										1.00	0.04
P2	0.00035095	7.7e-07											1.00

Tabla 2. Coeficientes de calibración y matriz de correlación.

Puntos de control terrestre

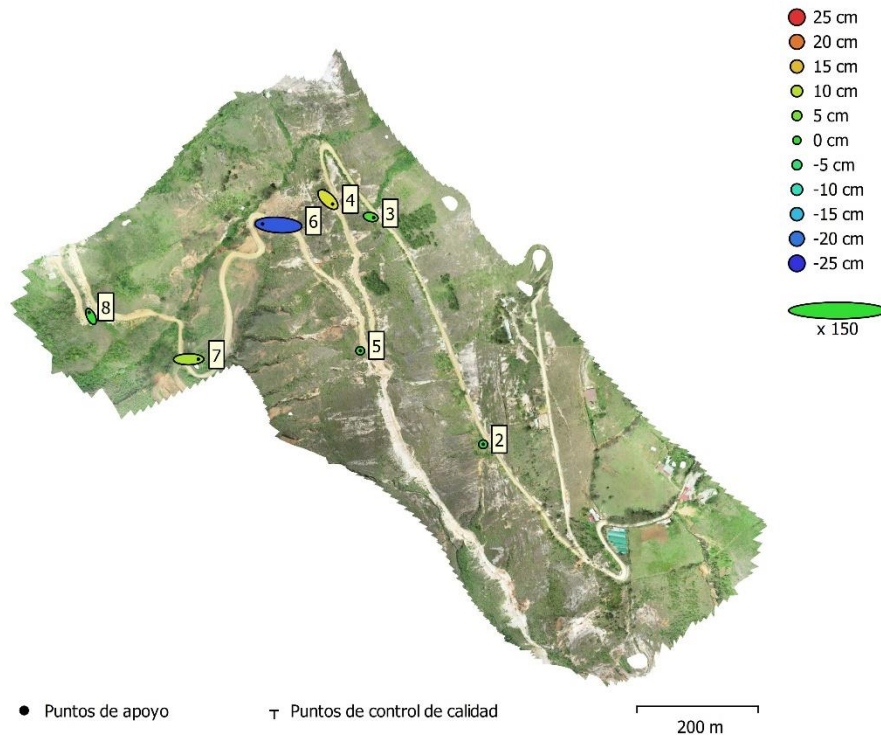


Fig. 3. Posiciones de puntos de apoyo y estimaciones de errores.
 El color indica el error en Z mientras el tamaño y forma de la elipse representan el error en XY.
 Las posiciones estimadas de puntos de apoyo se marcan con puntos o cruces.

Número	Error en X (cm)	Error en Y (cm)	Error en Z (cm)	Error en XY (cm)	Total (cm)
7	16.1889	5.14815	10.1528	16.9877	19.7905

Tabla 3. ECM de puntos de apoyo.
 X - Este, Y - Norte, Z - Altitud.

Nombre	Error en X (cm)	Error en Y (cm)	Error en Z (cm)	Total (cm)	Imagen (pix)
2	0.394645	0.0521445	-1.38511	1.44118	4.018 (3)
3	6.50634	-1.54426	2.18874	7.03618	4.749 (6)
4	10.2666	-9.90527	12.1753	18.7552	8.761 (13)
5	0.550554	0.0323796	0.0990556	0.56033	0.570 (7)
6	-34.8337	2.16809	-22.1636	41.3438	79.241 (16)
7	21.3348	0.238164	8.67183	23.0311	9.739 (7)
8	-4.21934	8.959	0.413822	9.9115	5.646 (5)
Total	16.1889	5.14815	10.1528	19.7905	42.400

Tabla 4. Puntos de apoyo.
 X - Este, Y - Norte, Z - Altitud.

Modelo digital de elevaciones

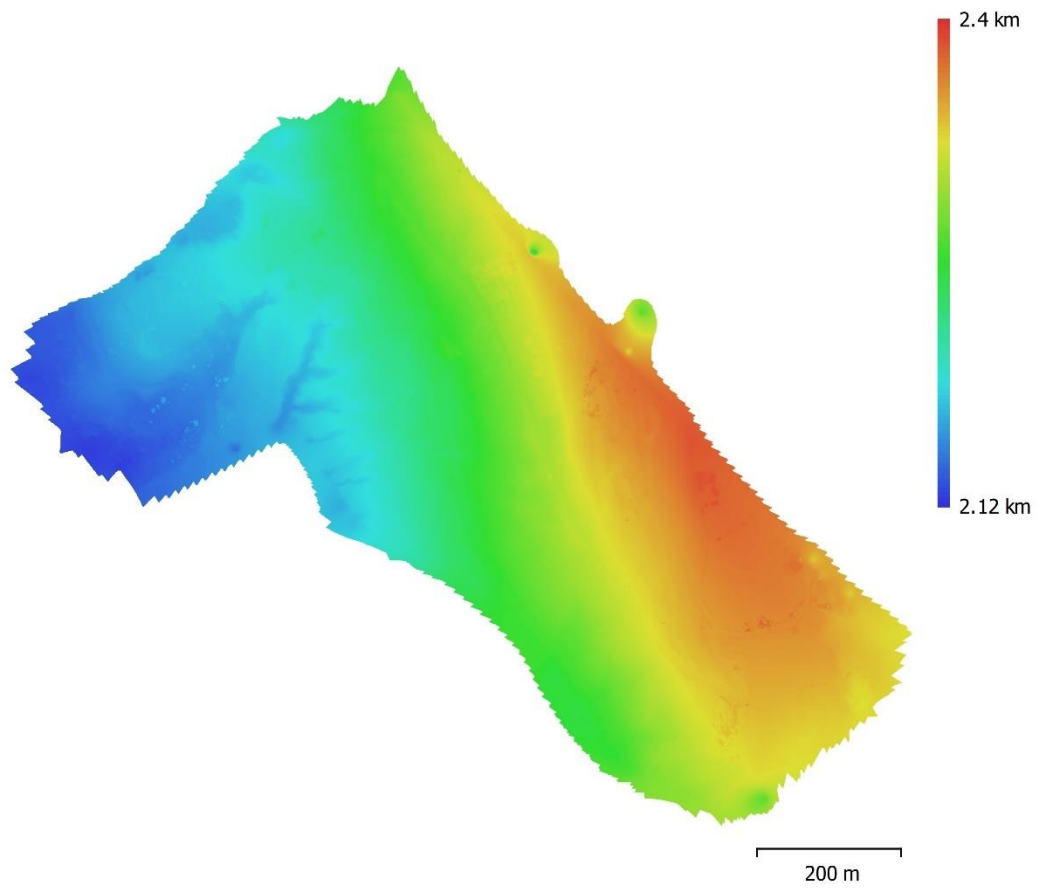


Fig. 4. Modelo digital de elevaciones.

Resolución: 4.63 cm/pix
Densidad de puntos: 466 puntos/m²

Parámetros de procesamiento

Generales

Cámaras	2176
Cámaras orientadas	2175
Marcadores	8
Sistema de coordenadas	WGS 84 / UTM zone 18S (EPSG::32718)
Ángulo de rotación	Guiñada, cabeceo, alabeo

Nube de puntos

Puntos	575,936 de 924,070
RMS error de reproyección	0.254835 (1.24163 pix)
Error de reproyección máximo	10.3585 (156.382 pix)
Tamaño promedio de puntos característicos	3.28625 pix
Colores de puntos	3 bandas, uint8
Puntos clave	8.65 GB
Multiplicidad media de puntos de paso	10.7017

Parámetros de orientación

Precisión	Alta
Pre-selección genérica	Sí
Pre-selección de referencia	Origen
Puntos clave por foto	50,000
Puntos de paso por foto	4,000
Excluir puntos de paso inmóviles	Sí
Emparejamiento guiado	No
Ajuste adaptativo del modelo de cámara	Sí
Tiempo búsqueda de emparejamientos	44 minutos 0 segundos
Uso de memoria durante el emparejamiento	2.57 GB
Tiempo de orientación	1 hora 59 minutos
Uso de memoria durante el alineamiento	2.77 GB

Parámetros de optimización

Parámetros	f, b1, b2, cx, cy, k1-k4, p1, p2
Ajuste adaptativo del modelo de cámara	No
Tiempo de optimización	6 minutos 25 segundos
Versión del programa	1.7.3.12136
Tamaño de archivo	204.78 MB

Mapas de profundidad

Número	2033
--------	------

Parámetros de obtención de mapas de profundidad

Calidad	Alta
Nivel de filtrado	Leve
Tiempo de procesamiento	6 horas 5 minutos
Uso de memoria	12.19 GB
Versión del programa	1.7.3.12136
Tamaño de archivo	15.29 GB

Nube de puntos densa

Puntos	381,304,243
Colores de puntos	Ninguno

Parámetros de obtención de mapas de profundidad

Calidad	Alta
Nivel de filtrado	Leve
Tiempo de procesamiento	6 horas 5 minutos
Uso de memoria	12.19 GB

Parámetros de generación de la nube densa

Tiempo de procesamiento	15 horas 27 minutos
Uso de memoria	12.44 GB
Versión del programa	1.7.3.12136
Tamaño de archivo	3.39 GB

MDE

Tamaño	39,080 x 33,278
Sistema de coordenadas	WGS 84 / UTM zone 18S (EPSG::32718)

Parámetros de reconstrucción

Origen de datos	Nube de puntos densa
Interpolación	Habilitada
Tiempo de procesamiento	9 minutos 40 segundos
Uso de memoria	377.77 MB
Versión del programa	1.7.3.12136
Tamaño de archivo	858.05 MB

Ortomosaico

Tamaño	25,129 x 21,162
Sistema de coordenadas	WGS 84 / UTM zone 18S (EPSG::32718)
Colores	3 bandas, uint8

Parámetros de reconstrucción

Modo de mezcla	Mosaico
Superficie	MDE
Permitir el cierre de agujeros	Sí
Habilitar el filtro de efecto fantasma	No
Tiempo de procesamiento	1 hora 0 minutos
Uso de memoria	4.16 GB
Versión del programa	1.7.3.12136
Tamaño de archivo	25.80 GB

Sistema

Nombre del programa	Agisoft Metashape Professional
Versión del programa	1.7.3 build 12136
OS	Windows 64 bit
RAM	15.66 GB
CPU	Intel(R) Xeon(R) W-2125 CPU @ 4.00GHz
GPU(s)	Quadro P4000

Anexo 6. Registro de 1314 puntos obtenidos en campo mediante una Estación Total Trimble M3

PUNTO	NORTE	ESTE	ELEVACIÓN	DESCRIPCIÓN
1	9310018.543	181433.487	2344.097	TN
2	9310035.482	181415.718	2341.352	TN
3	9310025.928	181423.606	2342.619	TN
4	9310036.444	181416.35	2341.004	TN
5	9310025.51	181423.227	2342.491	TN
6	9310037.575	181417.096	2341.241	TN
7	9310025.493	181423.197	2342.512	TN
8	9310024.479	181422.071	2342.52	TN
9	9310040.655	181406.952	2340.39	TN
10	9310033.066	181410.965	2341.217	TN
11	9310042.161	181407.643	2339.776	TN
12	9310032.449	181410.404	2341	TN
13	9310043.839	181408.61	2340.314	TN
14	9310030.422	181409.042	2341.329	TN
15	9310044.896	181398.737	2339.635	TN
16	9310038.627	181400.622	2340.143	TN
17	9310046.611	181399.277	2339.016	TN
18	9310038.093	181400.1	2339.973	TN
19	9310048.005	181399.837	2339.161	TN
20	9310036.419	181399.179	2340.432	TN
21	9310049.157	181390.372	2338.799	TN
22	9310042.775	181392.506	2339.313	TN
23	9310050.4	181390.9	2338.394	TN
24	9310042.019	181391.883	2339.031	TN
25	9310052.151	181391.839	2339.06	TN
26	9310040.592	181391.075	2339.131	TN
27	9310054.539	181382.069	2337.941	TN
28	9310047.315	181383.948	2338.49	TN
29	9310055.289	181382.724	2337.721	TN
30	9310046.413	181383.283	2338.156	TN
31	9310056.204	181383.649	2338.314	TN
32	9310045.19	181382.464	2337.884	TN
33	9310058.323	181372.772	2337.379	TN
34	9310052.138	181375.056	2337.699	TN
35	9310049.221	181372.253	2337.558	TN
36	9310057.796	181380.127	2337.915	C
37	9310061.321	181363.802	2336.373	TN
38	9310060.424	181369.516	2336.978	C
39	9310062.731	181365.014	2336.457	C
40	9310069.179	181370.567	2338.007	C
41	9310063.975	181366.461	2336.43	TN
42	9310069.545	181371.773	2337.981	TN
43	9310067.467	181368.331	2337.868	TN
44	9310067.049	181356.916	2335.557	TN
45	9310068.692	181358.562	2335.564	TN

46	9310074.564	181363.531	2338.293	TN
47	9310070.489	181360.176	2335.552	TN
48	9310076.651	181366.352	2338.378	TN
49	9310073.021	181349.619	2334.603	TN
50	9310076.026	181365.016	2338.395	TN
51	9310074.958	181351.812	2334.699	TN
52	9310076.686	181353.777	2334.657	TN
53	9310084.479	181344.834	2333.512	TN
54	9310069.389	181359.057	2335.545	C
55	9310082.594	181343.142	2333.587	TN
56	9310080.641	181341.5	2333.563	TN
57	9310073.041	181351.938	2334.818	C
58	9310088.291	181333.051	2332.672	TN
59	9310090.013	181335.068	2332.637	TN
60	9310078.792	181350.654	2334.297	C
61	9310091.567	181336.581	2332.538	TN
62	9310081.349	181342.986	2333.651	C
63	9310100.344	181328.194	2331.584	TN
64	9310098.865	181326.5	2331.686	TN
65	9310089.274	181338.693	2332.827	C
66	9310097.469	181324.734	2331.668	TN
67	9310091.007	181330.505	2332.412	C
68	9310109.594	181317.271	2330.58	TN
69	9310110.8	181319.362	2330.589	TN
70	9310099.313	181328.568	2331.659	C
71	9310111.819	181321.188	2330.538	TN
72	9310101.921	181322.02	2331.255	C
73	9310123.32	181314.296	2329.284	C
74	9310110.523	181321.119	2330.643	C
75	9310122.012	181312.507	2329.389	TN
76	9310120.713	181310.689	2329.381	C
77	9310120.712	181310.69	2329.382	C
78	9310128.399	181305.551	2328.505	TN
79	9310131.231	181307.654	2328.413	C
80	9310131.234	181307.652	2328.413	C
81	9310131.253	181307.637	2328.41	C
82	9310129.568	181307.872	2328.552	TN
83	9310131.157	181309.734	2328.489	TN
84	9310138.895	181301.5	2327.456	C
85	9310138.882	181301.51	2327.458	C
86	9310138.874	181301.516	2327.459	C
87	9310138.366	181301.742	2327.496	TN
88	9310136.559	181299.729	2327.485	TN
89	9310151.178	181288.907	2325.586	C
90	9310151.179	181288.906	2325.586	C
91	9310151.157	181288.924	2325.588	C
92	9310145.742	181291.797	2326.225	TN

93	9310147.254	181293.462	2326.233	TN
94	9310148.441	181295.102	2326.24	TN
95	9310160.066	181281.295	2324.386	C
96	9310160.105	181281.264	2324.382	C
97	9310160.098	181281.269	2324.383	C
98	9310159.492	181284.99	2324.668	TN
99	9310158.235	181283.824	2324.704	TN
100	9310156.957	181282.427	2324.694	TN
101	9310170.687	181271.448	2323.038	C
102	9310170.678	181271.455	2323.039	C
103	9310170.686	181271.449	2323.038	C
104	9310164.686	181275.69	2323.63	TN
105	9310165.976	181277.208	2323.714	TN
106	9310167.035	181278.568	2323.714	TN
107	9310180.466	181261.922	2321.966	C
108	9310180.458	181261.928	2321.969	C
109	9310180.473	181261.916	2321.967	C
110	9310175.241	181271.495	2322.807	TN
111	9310173.843	181270.276	2322.844	TN
112	9310172.582	181269.075	2322.81	TN
113	9310190.704	181258.065	2321.101	C
114	9310190.702	181258.066	2321.102	C
115	9310190.702	181258.066	2321.103	C
116	9310181.373	181260.963	2321.86	TN
117	9310182.544	181262.481	2321.911	TN
118	9310183.849	181263.611	2321.879	TN
119	9310191.121	181253.52	2320.84	C
120	9310191.134	181253.51	2320.84	C
121	9310191.124	181253.518	2320.84	C
122	9310190.898	181257.801	2321.082	TN
123	9310189.596	181256.683	2321.113	TN
124	9310188.351	181255.607	2321.082	TN
125	9310198.654	181250.655	2320.171	C
126	9310198.657	181250.652	2320.171	C
127	9310198.657	181250.653	2320.172	C
128	9310198.415	181248.193	2320.043	TN
129	9310199.028	181249.635	2320.131	TN
130	9310199.926	181251.056	2320.071	TN
131	9310211.757	181239.533	2318.915	C
132	9310211.753	181239.536	2318.915	C
133	9310211.748	181239.54	2318.916	C
134	9310209.214	181244.744	2319.207	TN
135	9310208.177	181243.556	2319.275	TN
136	9310207.226	181242.15	2319.313	TN
137	9310216.435	181237.093	2318.348	TN
138	9310216.887	181238.479	2318.509	TN
139	9310217.517	181239.66	2318.469	TN

140	9310231.943	181229.187	2317.258	C
141	9310231.935	181229.199	2317.259	C
142	9310231.934	181229.201	2317.259	C
143	9310238.064	181233.547	2319.166	TN
144	9310253.027	181221.485	2316.915	TN
145	9310240.261	181223.71	2316.587	C
146	9310240.249	181223.683	2316.587	C
147	9310240.248	181223.687	2316.587	C
148	9310231.029	181232.2	2317.383	TN
149	9310230.325	181230.648	2317.403	TN
150	9310229.16	181228.948	2317.351	TN
151	9310252.036	181212.422	2315.441	C
152	9310252.024	181212.414	2315.443	C
153	9310252.013	181212.407	2315.446	C
154	9310242.664	181219.622	2316.259	TN
155	9310243.975	181221.006	2316.26	TN
156	9310245.496	181222.655	2316.186	TN
157	9310247.055	181223.379	2315.631	TN
158	9310261.785	181209.543	2314.723	C
159	9310261.77	181209.542	2314.725	C
160	9310261.784	181209.543	2314.723	C
161	9310261.175	181211.865	2314.788	TN
162	9310259.838	181209.947	2314.911	TN
163	9310258.325	181207.928	2314.809	TN
164	9310272.031	181200.853	2313.742	C
165	9310272.026	181200.855	2313.743	C
166	9310272.05	181200.848	2313.74	C
167	9310271.115	181201.478	2313.822	TN
168	9310271.979	181203.522	2313.889	TN
169	9310272.725	181205.048	2313.871	TN
170	9310273.18	181206.408	2313.393	TN
171	9310292.789	181190.748	2312.178	C
172	9310292.77	181190.755	2312.18	C
173	9310292.78	181190.751	2312.179	C
174	9310292.162	181197.784	2312.025	TN
175	9310291.589	181196.827	2312.489	TN
176	9310290.791	181194.926	2312.539	TN
177	9310289.791	181192.843	2312.521	TN
178	9310301.991	181189.578	2311.584	C
179	9310301.997	181189.577	2311.584	C
180	9310301.998	181189.576	2311.583	C
181	9310303.115	181188.302	2311.434	TN
182	9310303.655	181190.705	2311.52	TN
183	9310304.159	181192.428	2311.504	TN
184	9310304.563	181193.739	2311.064	TN
185	9310322.278	181185.343	2309.724	TN
186	9310321.643	181184.367	2309.996	TN

187	9310318.973	181179.035	2310.159	C
188	9310318.883	181179.071	2310.167	C
189	9310318.919	181179.056	2310.164	C
190	9310320.61	181182.655	2310.034	TN
191	9310319.351	181180.736	2309.975	TN
192	9310333.921	181174.927	2308.948	TN
193	9310334.47	181177.058	2309.007	TN
194	9310335.059	181179.086	2309.013	TN
195	9310335.481	181180.281	2308.575	TN
196	9310346.178	181170.949	2308.037	C
197	9310346.177	181170.949	2308.037	C
198	9310346.175	181170.95	2308.038	C
199	9310354.597	181173.89	2306.398	ALCANTAR
200	9310354.161	181172.781	2307.509	TN
201	9310353.282	181170.899	2307.64	TN
202	9310353.075	181168.878	2307.55	TN
203	9310353.81	181166.891	2306.064	ALCANTAR
204	9310352.475	181170.173	2307.652	C
205	9310352.457	181170.179	2307.654	C
206	9310352.459	181170.178	2307.654	C
207	9310368.86	181169.114	2306.097	TN
208	9310368.553	181168.228	2306.385	TN
209	9310367.728	181166.124	2306.428	TN
210	9310366.679	181163.443	2306.276	TN
211	9310381.97	181158.403	2305.068	TN
212	9310382.64	181160.575	2305.185	TN
213	9310383.419	181162.859	2305.19	TN
214	9310383.675	181163.866	2304.917	TN
215	9310371.321	181161.4	2305.721	C
216	9310371.297	181161.409	2305.723	C
217	9310371.309	181161.404	2305.722	C
218	9310399.636	181157.409	2303.593	TN
219	9310399.166	181156.521	2303.869	TN
220	9310398.255	181154.671	2303.956	TN
221	9310397.162	181152.137	2303.868	TN
222	9310382.257	181158.666	2305.102	C
223	9310382.258	181158.665	2305.102	C
224	9310382.255	181158.666	2305.102	C
225	9310418.84	181144.458	2301.923	TN
226	9310419.698	181146.895	2302.062	TN
227	9310420.439	181149.209	2302.019	TN
228	9310421.001	181150.138	2301.668	TN
229	9310436.97	181143.409	2300.055	TN
230	9310393.921	181158.008	2304.357	C
231	9310393.927	181158.006	2304.357	C
232	9310393.915	181158.01	2304.358	C
233	9310436.222	181142.247	2300.649	TN

234	9310435.232	181140.387	2300.673	TN
235	9310434.435	181138.026	2300.581	TN
236	9310402.996	181149.656	2303.267	C
237	9310402.982	181149.661	2303.269	C
238	9310402.978	181149.662	2303.269	C
239	9310402.99	181149.658	2303.268	C
240	9310449.846	181131.761	2299.262	TN
241	9310450.536	181133.705	2299.383	TN
242	9310451.442	181135.312	2299.377	TN
243	9310451.838	181136.34	2299.051	TN
244	9310467.501	181129.306	2297.584	TN
245	9310466.851	181128.327	2298.004	TN
246	9310465.933	181126.453	2298.034	TN
247	9310465.175	181124.273	2297.924	TN
248	9310422.365	181142.316	2301.468	C
249	9310422.343	181142.323	2301.471	C
250	9310422.358	181142.318	2301.47	C
251	9310478.18	181118.493	2296.645	TN
252	9310478.892	181120.92	2296.759	TN
253	9310479.729	181122.613	2296.706	TN
254	9310480.188	181123.866	2296.299	TN
255	9310432.565	181140.102	2300.821	C
256	9310432.542	181140.111	2300.823	C
257	9310432.541	181140.111	2300.822	C
258	9310492.674	181118.264	2295.156	TN
259	9310492.173	181117.289	2295.481	TN
260	9310491.588	181115.715	2295.548	TN
261	9310490.751	181113.771	2295.467	TN
262	9310442.923	181133.56	2299.607	C
263	9310442.933	181133.557	2299.606	C
264	9310442.937	181133.555	2299.606	C
265	9310620.814	181026.675	2282.806	TN
266	9310265.176	181213.142	2316.708	TN
267	9310258.757	181203.311	2315.16	TN
268	9310288.883	181201.812	2315.063	TN
269	9310310.225	181199.584	2318.551	TN
270	9310322.833	181186.022	2310.716	TN
271	9310414.288	181166.019	2311.346	TN
272	9310259.847	181216.109	2316.884	TN
273	9310493.937	181111.941	2295.234	C
274	9310493.945	181111.936	2295.234	C
275	9310493.947	181111.935	2295.233	C
276	9310504.571	181107.908	2294.428	C
277	9310505.731	181109.468	2294.404	TN
278	9310500.939	181112.16	2294.807	C
279	9310500.958	181112.146	2294.805	C
280	9310500.95	181112.153	2294.806	C

281	9310503.181	181111.915	2294.62	TN
282	9310497.967	181115.802	2294.686	TN
283	9310534.373	181092.863	2292.13	TN
284	9310534.407	181092.78	2292.137	C
285	9310534.405	181092.78	2292.138	C
286	9310534.388	181092.793	2292.139	C
287	9310534.397	181092.787	2292.138	C
288	9310535.307	181094.412	2292.172	TN
289	9310536.198	181095.996	2292.166	TN
290	9310536.945	181097.241	2291.687	TN
291	9310539.828	181090.132	2291.803	C
292	9310539.819	181090.139	2291.805	C
293	9310539.814	181090.144	2291.805	C
294	9310550.738	181090.188	2290.601	TN
295	9310550.588	181089.418	2290.995	TN
296	9310548.392	181085.147	2291.053	TN
297	9310554.495	181082.333	2290.546	C
298	9310554.474	181082.351	2290.548	C
299	9310554.467	181082.356	2290.549	C
300	9310565.154	181076.336	2289.827	TN
301	9310567.007	181078.07	2289.757	TN
302	9310589.046	181062.057	2287.475	TN
303	9310590.453	181063.444	2287.53	TN
304	9310591.733	181064.769	2287.492	TN
305	9310592.705	181065.595	2287.012	TN
306	9310581.808	181070.906	2288.589	C
307	9310581.811	181070.904	2288.589	C
308	9310581.823	181070.889	2288.587	C
309	9310608.006	181051.052	2285.108	TN
310	9310607.099	181049.914	2285.512	TN
311	9310604.4	181047.008	2285.53	TN
312	9310591.381	181060.738	2287.204	C
313	9310591.405	181060.71	2287.201	C
314	9310591.398	181060.718	2287.201	C
315	9310617.093	181034.578	2283.786	TN
316	9310618.881	181036.603	2283.869	TN
317	9310620.354	181038.331	2283.771	TN
318	9310621.078	181039.125	2283.322	TN
319	9310601.399	181051.482	2286.037	C
320	9310601.388	181051.497	2286.038	C
321	9310601.386	181051.499	2286.039	C
322	9310634.676	181028.092	2281.34	TN
323	9310633.536	181027.153	2281.882	TN
324	9310632.136	181025.876	2281.991	TN
325	9310630.103	181024.051	2281.91	TN
326	9310611.931	181040.903	2284.647	C
327	9310611.939	181040.889	2284.645	C

328	9310611.939	181040.889	2284.645	C
329	9310647.061	181009.908	2279.208	TN
330	9310648.436	181012.227	2279.448	TN
331	9310649.705	181014.19	2279.364	TN
332	9310650.476	181015.312	2279.015	TN
333	9310621.132	181032.725	2283.398	C
334	9310621.132	181032.726	2283.398	C
335	9310621.131	181032.722	2283.397	C
336	9310671.419	180999.851	2275.821	TN
337	9310670.489	180998.782	2276.107	TN
338	9310668.92	180996.68	2276.265	TN
339	9310667.556	180994.741	2276.1	TN
340	9310632.431	181022.133	2281.569	C
341	9310632.441	181022.129	2281.568	C
342	9310632.437	181022.13	2281.568	C
343	9310685.479	180983.378	2273.689	TN
344	9310686.576	180985.762	2273.907	TN
345	9310687.669	180987.423	2273.809	TN
346	9310688.206	180988.957	2273.413	TN
347	9310650.251	181013.407	2279.295	C
348	9310650.25	181013.408	2279.295	C
349	9310650.264	181013.402	2279.294	C
350	9310707.84	180975.909	2270.636	TN
351	9310707.204	180975.118	2270.886	TN
352	9310705.75	180973.622	2271.008	TN
353	9310704.39	180971.526	2270.854	TN
354	9310661.983	180999.888	2277.176	C
355	9310661.977	180999.892	2277.177	C
356	9310661.984	180999.887	2277.176	C
357	9310720.304	180961.618	2268.398	TN
358	9310721.527	180964.074	2268.68	TN
359	9310722.614	180965.984	2268.609	TN
360	9310723.191	180967.055	2268.323	TN
361	9310673.108	180992.66	2275.564	C
362	9310673.112	180992.658	2275.564	C
363	9310673.105	180992.662	2275.565	C
364	9310739.524	180956.831	2266.427	TN
365	9310738.682	180955.984	2266.837	TN
366	9310736.187	180953.794	2266.745	TN
367	9310733.393	180952.247	2266.452	TN
368	9310690.842	180980.777	2273.063	C
369	9310690.843	180980.776	2273.063	C
370	9310690.84	180980.778	2273.063	C
371	9310749.288	180946.595	2266.246	TN
372	9310746.01	180943.815	2266.277	C
373	9310746.011	180943.815	2266.277	C
374	9310746.013	180943.813	2266.277	C

375	9310744.547	180942.106	2266.158	TN
376	9310740.293	180943.397	2266.092	TN
377	9310736.245	180944.909	2265.72	TN
378	9310733.786	180945.708	2265.235	TN
379	9310740.998	180944.42	2266.188	C
380	9310740.989	180944.421	2266.187	C
381	9310740.99	180944.421	2266.187	C
382	9310724.409	180936.713	2263.841	TN
383	9310738.593	180938.835	2265.769	C
384	9310738.581	180938.837	2265.767	C
385	9310738.582	180938.837	2265.768	C
386	9310724.268	180939.443	2264.073	TN
387	9310724.245	180941.559	2263.992	TN
388	9310710.09	180938.64	2262.135	TN
389	9310710.425	180941.174	2262.427	TN
390	9310710.825	180943.533	2262.317	TN
391	9310729.23	180938.37	2264.743	C
392	9310729.22	180938.372	2264.742	C
393	9310729.216	180938.373	2264.742	C
394	9310698.015	180941.707	2260.853	TN
395	9310698.404	180944.581	2261.099	TN
396	9310698.953	180946.671	2260.96	TN
397	9310699.222	180948.079	2260.426	TN
398	9310718.889	180939.34	2263.381	C
399	9310718.88	180939.342	2263.38	C
400	9310718.892	180939.339	2263.381	C
401	9310683.278	180946.168	2259.467	TN
402	9310684.172	180948.975	2259.688	TN
403	9310684.75	180951.06	2259.664	TN
404	9310684.757	180952.464	2259.191	TN
405	9310708.884	180941.569	2262.26	C
406	9310708.896	180941.566	2262.261	C
407	9310708.897	180941.566	2262.261	C
408	9310669.349	180954.258	2258.222	TN
409	9310669.898	180956.117	2258.356	TN
410	9310670.596	180958.264	2258.327	TN
411	9310670.72	180959.901	2257.868	TN
412	9310700.535	180941.986	2261.303	C
413	9310700.537	180941.985	2261.303	C
414	9310700.536	180941.986	2261.303	C
415	9310655.368	180955.545	2257.131	TN
416	9310655.721	180957.697	2257.15	TN
417	9310656.324	180960.1	2257.245	TN
418	9310656.663	180962.228	2257.165	TN
419	9310657.06	180963.153	2256.969	TN
420	9310683.541	180947.986	2259.623	C
421	9310683.539	180947.987	2259.623	C

422	9310683.526	180947.99	2259.622	C
423	9310640.93	180960.232	2255.788	TN
424	9310641.808	180962.438	2255.917	TN
425	9310642.529	180964.798	2256.095	TN
426	9310643.503	180967.317	2255.951	TN
427	9310643.88	180968.513	2255.539	TN
428	9310651.152	180958.204	2256.763	C
429	9310651.152	180958.204	2256.763	C
430	9310651.151	180958.204	2256.763	C
431	9310630.882	180964.499	2254.998	TN
432	9310632.004	180966.772	2255.206	TN
433	9310632.556	180969.095	2255.276	TN
434	9310633.198	180971.111	2255.228	TN
435	9310633.635	180972.613	2254.853	TN
436	9310641.983	180961.059	2255.859	C
437	9310641.982	180961.06	2255.859	C
438	9310641.983	180961.058	2255.859	C
439	9310619.464	180969.73	2253.818	TN
440	9310620.382	180971.904	2253.958	TN
441	9310621.307	180974.288	2254.121	TN
442	9310622.136	180975.965	2254.095	TN
443	9310622.571	180976.979	2253.814	TN
444	9310628.658	180968.114	2254.78	C
445	9310628.66	180968.112	2254.781	C
446	9310628.672	180968.104	2254.782	C
447	9310608.858	180975.215	2252.762	TN
448	9310609.462	180976.539	2253.031	TN
449	9310610.068	180978.627	2253.172	TN
450	9310611.002	180980.705	2253.142	TN
451	9310611.252	180981.464	2252.861	TN
452	9310620.218	180970.826	2253.708	C
453	9310620.218	180970.826	2253.707	C
454	9310620.225	180970.822	2253.708	C
455	9310599.932	180978.007	2252.217	TN
456	9310599.936	180978.006	2252.219	TN
457	9310599.919	180978.014	2252.218	TN
458	9310600.592	180979.391	2252.404	TN
459	9310601.343	180981.639	2252.508	TN
460	9310602.086	180983.614	2252.463	TN
461	9310602.385	180984.574	2252.089	TN
462	9310587.368	180981.198	2251.269	C
463	9310587.369	180981.197	2251.269	C
464	9310587.367	180981.198	2251.269	C
465	9310590.125	180979.544	2251.445	TN
466	9310590.914	180981.77	2251.687	TN
467	9310591.849	180984.299	2251.778	TN
468	9310592.9	180986.467	2251.68	TN

469	9310593.211	180987.237	2251.429	TN
470	9310568.732	180989.79	2250.098	C
471	9310568.744	180989.785	2250.099	C
472	9310568.725	180989.793	2250.097	C
473	9310576.028	180984.976	2250.313	TN
474	9310576.736	180986.855	2250.687	TN
475	9310577.808	180989.213	2250.793	TN
476	9310578.441	180990.988	2250.716	TN
477	9310578.669	180991.914	2250.475	TN
478	9310579.218	180993.838	2250.726	TN
479	9310549.924	180992.644	2247.161	C
480	9310549.928	180992.643	2247.161	C
481	9310549.952	180992.634	2247.164	C
482	9310562.295	180992.403	2249.991	TN
483	9310562.983	180994.541	2249.743	TN
484	9310563.808	180996.561	2249.754	TN
485	9310565.054	180998.815	2249.773	TN
486	9310551.583	180994.386	2247.423	TN
487	9310551.545	180996.563	2247.575	TN
488	9310552.594	180999.89	2247.97	TN
489	9310552.369	181000.657	2248.039	TN
490	9310538.045	180992.428	2244.999	C
491	9310538.043	180992.429	2244.998	C
492	9310538.038	180992.431	2244.998	C
493	9310539.31	180991.533	2245.241	TN
494	9310539.121	180993.346	2245.422	TN
495	9310539.131	180996.23	2245.697	TN
496	9310539.178	180997.863	2245.769	TN
497	9310539.155	180998.578	2245.722	TN
498	9310519.962	180998.803	2243.716	C
499	9310519.974	180998.799	2243.717	C
500	9310519.993	180998.792	2243.719	C
501	9310524.595	180991.606	2243.852	TN
502	9310525.231	180993.238	2244.027	TN
503	9310525.749	180995.642	2244.171	TN
504	9310526.467	180997.697	2244.153	TN
505	9310507.022	181001.946	2243.385	C
506	9310507.013	181001.949	2243.383	C
507	9310507.017	181001.947	2243.383	C
508	9310507.884	180997.891	2243.208	TN
509	9310508.823	180999.587	2243.247	TN
510	9310510.496	181003.507	2243.374	TN
511	9310496.976	181010.562	2244.735	C
512	9310496.971	181010.563	2244.735	C
513	9310496.975	181010.562	2244.735	C
514	9310493.226	181007.919	2244.726	TN
515	9310493.794	181009.39	2244.698	TN

516	9310494.868	181011.544	2244.823	TN
517	9310484.922	181009.744	2244.473	TN
518	9310485.41	181013.701	2244.422	TN
519	9310485.506	181015.314	2244.38	TN
520	9310485.566	181015.935	2244.243	TN
521	9310463.967	181016.361	2242.836	TN
522	9310464.196	181018.041	2242.821	TN
523	9310464.308	181020.674	2242.912	TN
524	9310464.61	181023.139	2242.875	TN
525	9310464.635	181024.413	2242.454	TN
526	9310548.978	180995.298	2247.014	C
527	9310548.953	180995.3	2247.014	C
528	9310548.961	180995.299	2247.013	C
529	9310443.99	181019.878	2241.115	TN
530	9310443.732	181021.305	2241.178	TN
531	9310443.073	181023.86	2241.244	TN
532	9310442.584	181026.443	2241.223	TN
533	9310442.385	181027.844	2240.782	TN
534	9310417.344	181020.358	2238.149	TN
535	9310416.872	181021.612	2238.467	TN
536	9310415.908	181023.592	2238.712	TN
537	9310414.632	181025.748	2238.873	TN
538	9310491.532	181010.742	2244.727	C
539	9310491.529	181010.742	2244.727	C
540	9310491.539	181010.743	2244.727	C
541	9310491.552	181010.744	2244.727	C
542	9310410.264	181028.301	2239.709	TN
543	9310410.348	181030.372	2239.821	TN
544	9310410.01	181031.926	2239.755	TN
545	9310410.323	181032.635	2239.833	TN
546	9310481.852	181012.656	2244.124	C
547	9310481.853	181012.656	2244.124	C
548	9310481.896	181012.66	2244.128	C
549	9310403.769	181029.064	2240.429	TN
550	9310404.511	181031.316	2240.568	TN
551	9310404.751	181033.62	2240.479	TN
552	9310473.027	181013.595	2243.334	C
553	9310473.022	181013.595	2243.334	C
554	9310473.039	181013.597	2243.336	C
555	9310396.515	181031.617	2241.198	TN
556	9310397.392	181033.863	2241.17	TN
557	9310397.834	181036.324	2241.014	TN
558	9310450.28	181021.675	2241.755	C
559	9310450.276	181021.674	2241.754	C
560	9310450.286	181021.677	2241.755	C
561	9310412.744	181015.716	2236.665	TN
562	9310409.38	181015.191	2237.171	TN

563	9310405.148	181015.228	2237.561	TN
564	9310401.723	181015.762	2237.62	TN
565	9310439.555	181021.737	2240.846	C
566	9310439.546	181021.733	2240.847	C
567	9310439.543	181021.732	2240.846	C
568	9310397.827	181016.452	2237.656	TN
569	9310397.952	181023.19	2237.975	TN
570	9310430.242	181022.162	2240.007	C
571	9310430.255	181022.17	2240.008	C
572	9310430.255	181022.17	2240.01	C
573	9310398.538	181009.624	2237.226	TN
574	9310403.776	181009.415	2237.074	TN
575	9310419.785	181022.404	2238.897	C
576	9310419.785	181022.404	2238.897	C
577	9310419.779	181022.398	2238.896	C
578	9310419.782	181022.401	2238.897	C
579	9310409.883	181009.916	2236.735	TN
580	9310409.908	181009.93	2236.735	TN
581	9310413.932	181010.737	2236.147	C
582	9310413.97	181010.754	2236.146	C
583	9310413.976	181010.757	2236.145	C
584	9310420.182	181005.092	2235.345	C
585	9310420.188	181005.093	2235.346	C
586	9310420.171	181005.092	2235.347	C
587	9310413.509	181002.291	2236.071	TN
588	9310413.938	181003.915	2236.015	TN
589	9310414.654	181006.441	2236.042	TN
590	9310415.78	181008.892	2235.869	TN
591	9310416.388	181009.8	2235.571	TN
592	9310441.563	181005.046	2234.331	C
593	9310441.58	181005.046	2234.329	C
594	9310441.582	181005.046	2234.329	C
595	9310430.507	181001.756	2234.366	TN
596	9310430.43	181003.329	2234.414	TN
597	9310430.326	181005.607	2234.582	TN
598	9310430.278	181007.776	2234.596	TN
599	9310430.415	181008.547	2234.422	TN
600	9310450.395	181007.886	2234.186	C
601	9310450.438	181007.889	2234.184	C
602	9310450.458	181007.89	2234.183	C
603	9310450.446	181007.889	2234.184	C
604	9310458.21	181000.738	2233.287	C
605	9310458.194	181000.739	2233.289	C
606	9310458.202	181000.739	2233.288	C
607	9310445.785	181002.691	2234.072	TN
608	9310445.545	181003.985	2234.195	TN
609	9310445.877	181006.261	2234.301	TN

610	9310445.99	181008.259	2234.4	TN
611	9310446.232	181009.45	2234.229	TN
612	9310466.31	180998.945	2232.523	C
613	9310466.355	180998.941	2232.521	C
614	9310466.332	180998.943	2232.524	C
615	9310459.977	180998.139	2232.811	TN
616	9310460.761	180999.46	2232.999	TN
617	9310461.645	181000.839	2233.02	TN
618	9310462.317	181002.256	2233.02	TN
619	9310462.867	181003.44	2232.666	TN
620	9310475.978	180992.204	2231.201	C
621	9310476.013	180992.198	2231.198	C
622	9310475.975	180992.204	2231.2	C
623	9310472.055	180989.815	2231.21	TN
624	9310472.612	180990.934	2231.304	TN
625	9310473.84	180992.783	2231.442	TN
626	9310475.291	180994.596	2231.224	TN
627	9310485.927	180985.909	2229.818	C
628	9310485.93	180985.909	2229.818	C
629	9310485.919	180985.911	2229.819	C
630	9310483.467	180983.219	2229.843	TN
631	9310484.157	180984.485	2229.94	TN
632	9310485.138	180986.05	2229.926	TN
633	9310485.845	180987.511	2229.943	TN
634	9310486.315	180988.464	2229.588	TN
635	9310494.52	180979.348	2228.884	C
636	9310494.512	180979.35	2228.884	C
637	9310494.534	180979.344	2228.882	C
638	9310496.969	180975.876	2228.233	TN
639	9310497.457	180976.885	2228.616	TN
640	9310498.12	180978.079	2228.639	TN
641	9310498.855	180979.19	2228.605	TN
642	9310499.37	180980.16	2228.327	TN
643	9310507.833	180972.371	2227.915	C
644	9310507.791	180972.382	2227.919	C
645	9310507.801	180972.38	2227.918	C
646	9310507.662	180965.873	2227.013	TN
647	9310508.746	180966.988	2227.412	TN
648	9310509.773	180968.166	2227.528	TN
649	9310511.078	180969.416	2227.606	TN
650	9310512.096	180970.486	2227.221	TN
651	9310513.124	180964.564	2227.145	C
652	9310513.121	180964.565	2227.144	C
653	9310513.123	180964.564	2227.144	C
654	9310513.108	180964.569	2227.146	C
655	9310510.212	180961.582	2226.854	TN
656	9310511.48	180962.333	2227.042	TN

657	9310512.422	180963.559	2227.103	TN
658	9310514.067	180964.665	2227.138	TN
659	9310515.016	180965.18	2226.989	TN
660	9310516.259	180955.457	2226.57	C
661	9310516.264	180955.454	2226.566	C
662	9310516.263	180955.455	2226.566	C
663	9310515.988	180951.529	2226.311	TN
664	9310517.575	180952.898	2226.351	TN
665	9310518.927	180953.998	2226.366	TN
666	9310520.259	180954.911	2226.295	TN
667	9310523.888	180946.519	2225.42	C
668	9310523.881	180946.522	2225.422	C
669	9310523.882	180946.522	2225.422	C
670	9310524.486	180942.379	2224.731	TN
671	9310525.274	180943.235	2224.983	TN
672	9310526.536	180944.16	2225.022	TN
673	9310528.208	180945.352	2224.796	TN
674	9310534.027	180934.2	2222.999	C
675	9310534.015	180934.206	2222.999	C
676	9310534.01	180934.208	2223	C
677	9310533.504	180929.256	2222.165	TN
678	9310534.855	180930.656	2222.355	TN
679	9310536.107	180931.821	2222.457	TN
680	9310537.1	180932.674	2222.446	TN
681	9310537.593	180933.261	2222.335	TN
682	9310538.384	180926.547	2221.297	C
683	9310538.382	180926.548	2221.298	C
684	9310538.387	180926.545	2221.298	C
685	9310539.475	180921.478	2220.577	TN
686	9310540.92	180923.305	2220.511	TN
687	9310542.259	180925.032	2220.634	TN
688	9310543.63	180926.682	2220.642	TN
689	9310544.128	180927.35	2220.551	TN
690	9310546.059	180920.977	2219.705	C
691	9310546.066	180920.973	2219.704	C
692	9310546.066	180920.972	2219.704	C
693	9310550.051	180916.111	2218.891	TN
694	9310551.088	180917.774	2219.012	TN
695	9310552.554	180920.023	2218.995	TN
696	9310440.005	181009.817	2235.786	TN
697	9310456.842	181009.744	2238.433	TN
698	9310466.777	181002.888	2236.783	TN
699	9310485.353	180991.892	2232.449	TN
700	9310500.772	180980.488	2230.509	TN
701	9310464.257	180991.469	2230.344	TN
702	9310492.159	180975.916	2226.679	TN
703	9310515.988	180968.221	2230.123	TN

704	9310521.956	180954.656	2228.091	TN
705	9310535.444	180938.559	2226.676	TN
706	9310525.907	180937.365	2222.905	TN
707	9310615.736	180814.816	2204.527	TN
708	9310614.445	180817.607	2204.35	TN
709	9310613.696	180820.888	2204.277	TN
710	9310612.588	180824.732	2203.777	TN
711	9310620.308	180820.706	2204.785	C
712	9310620.308	180820.705	2204.788	C
713	9310620.301	180820.711	2204.791	C
714	9310600.957	180815.338	2202.401	TN
715	9310602.411	180819.757	2202.825	TN
716	9310603.512	180822.998	2202.864	TN
717	9310604.865	180826.734	2202.619	TN
718	9310605.823	180827.968	2201.655	TN
719	9310610.819	180821.12	2203.893	C
720	9310610.829	180821.112	2203.892	C
721	9310610.828	180821.112	2203.893	C
722	9310610.831	180821.108	2203.892	C
723	9310590.826	180821.909	2201.01	TN
724	9310591.944	180824.748	2201.115	TN
725	9310593.57	180828.346	2201.235	TN
726	9310595.372	180831.221	2201.044	TN
727	9310595.776	180832.398	2200.197	TN
728	9310602.66	180822.137	2202.874	C
729	9310602.667	180822.13	2202.875	C
730	9310602.662	180822.133	2202.876	C
731	9310582.238	180828.331	2199.097	TN
732	9310583.678	180830.851	2199.375	TN
733	9310585.322	180833.846	2199.67	TN
734	9310586.77	180836.521	2199.592	TN
735	9310587.266	180837.637	2198.948	TN
736	9310591.848	180830.12	2200.787	C
737	9310591.847	180830.12	2200.787	C
738	9310591.839	180830.128	2200.789	C
739	9310573.835	180832.647	2197.269	TN
740	9310574.478	180833.286	2197.107	TN
741	9310575.11	180836.143	2197.628	TN
742	9310576.233	180838.899	2198.088	TN
743	9310577.513	180841.944	2198.271	TN
744	9310578.226	180843.362	2197.89	TN
745	9310581.05	180833.357	2198.862	C
746	9310581.052	180833.355	2198.861	C
747	9310581.051	180833.356	2198.861	C
748	9310569.617	180829.959	2196.498	TN
749	9310566.365	180834.04	2195.273	TN
750	9310565.508	180835.265	2195.764	TN

751	9310564.118	180837.092	2196.072	TN
752	9310560.948	180840.58	2196.294	TN
753	9310571.35	180835.372	2196.712	C
754	9310571.36	180835.362	2196.71	C
755	9310571.375	180835.348	2196.708	C
756	9310565.524	180827.091	2195.46	TN
757	9310561.667	180828.28	2194.248	TN
758	9310557.922	180829.46	2194.684	TN
759	9310554.104	180830.732	2194.674	TN
760	9310559.092	180831.749	2194.975	C
761	9310559.091	180831.751	2194.977	C
762	9310559.09	180831.752	2194.978	C
763	9310561.123	180820.462	2192.86	TN
764	9310559.615	180820.199	2193.268	TN
765	9310561.163	180822.32	2193.168	C
766	9310561.152	180818.016	2192.387	C
767	9310561.15	180818.016	2192.389	C
768	9310561.15	180818.017	2192.389	C
769	9310560.801	180810.17	2191.976	C
770	9310559.743	180809.938	2192.026	C
771	9310559.737	180809.945	2192.027	C
772	9310559.728	180809.956	2192.03	C
773	9310559.736	180817.898	2193.016	TN
774	9310556.751	180817.227	2193.03	TN
775	9310553.023	180816.924	2192.807	TN
776	9310560.928	180801.529	2190.8	C
777	9310560.927	180801.529	2190.8	C
778	9310560.931	180801.524	2190.799	C
779	9310562.734	180809.122	2191.441	TN
780	9310561.341	180808.768	2191.811	TN
781	9310558.778	180808.247	2191.795	TN
782	9310554.956	180807.655	2191.491	TN
783	9310560.579	180790.723	2189.528	C
784	9310560.575	180790.727	2189.529	C
785	9310560.58	180790.72	2189.527	C
786	9310565.53	180796.432	2190.027	TN
787	9310564.163	180796.381	2190.353	TN
788	9310560.739	180797.153	2190.21	TN
789	9310556.169	180797.623	2189.731	TN
790	9310551.219	180783.135	2187.965	C
791	9310551.215	180783.14	2187.965	C
792	9310551.222	180783.13	2187.963	C
793	9310558.626	180785.118	2188.889	TN
794	9310557.622	180786.062	2188.969	TN
795	9310555.61	180788.292	2188.773	TN
796	9310552.795	180791.146	2188.383	TN
797	9310541.946	180782.464	2186.542	C

798	9310541.937	180782.479	2186.544	C
799	9310541.946	180782.465	2186.541	C
800	9310548.224	180777.849	2187.36	TN
801	9310547.744	180779.074	2187.383	TN
802	9310546.317	180781.849	2187.272	TN
803	9310544.585	180785.371	2186.855	TN
804	9310531.456	180774.09	2185.154	C
805	9310531.492	180774.027	2185.14	C
806	9310531.494	180774.024	2185.139	C
807	9310536.818	180773.275	2185.77	TN
808	9310536.404	180775.115	2185.826	TN
809	9310535.476	180777.741	2185.667	TN
810	9310534.188	180781.193	2185.154	TN
811	9310521.252	180771.75	2183.542	C
812	9310521.238	180771.777	2183.548	C
813	9310521.223	180771.807	2183.555	C
814	9310521.238	180771.778	2183.548	C
815	9310524.043	180770.159	2183.98	TN
816	9310523.806	180771.513	2183.897	TN
817	9310523.586	180774.572	2183.884	TN
818	9310523.326	180777.659	2183.531	TN
819	9310523.304	180779.025	2183.379	TN
820	9310509.654	180771.554	2181.71	C
821	9310509.657	180771.546	2181.709	C
822	9310509.648	180771.567	2181.713	C
823	9310511.555	180770.436	2182.013	TN
824	9310511.676	180771.922	2182.1	TN
825	9310512.206	180774.904	2182.188	TN
826	9310512.432	180777.463	2182.018	TN
827	9310513.055	180779.305	2181.825	TN
828	9310497.867	180773.368	2179.878	C
829	9310497.87	180773.36	2179.877	C
830	9310497.864	180773.373	2179.88	C
831	9310500.128	180772.953	2180.265	TN
832	9310500.271	180774.945	2180.381	TN
833	9310500.831	180777.454	2180.472	TN
834	9310501.245	180779.79	2180.277	TN
835	9310501.64	180781.311	2180.243	TN
836	9310479.887	180782.302	2177.692	C
837	9310479.886	180782.303	2177.693	C
838	9310479.884	180782.307	2177.694	C
839	9310486.071	180776.823	2178.259	TN
840	9310486.346	180778.588	2178.468	TN
841	9310486.342	180780.886	2178.55	TN
842	9310485.717	180783.23	2178.323	TN
843	9310485.838	180784.929	2177.994	TN
844	9310469.75	180783.553	2176.415	C

845	9310469.751	180783.549	2176.413	C
846	9310469.751	180783.548	2176.413	C
847	9310471.509	180780.382	2176.416	TN
848	9310471.626	180782.244	2176.634	TN
849	9310471.934	180784.66	2176.687	TN
850	9310472.323	180787.359	2176.618	TN
851	9310472.403	180788.758	2176.298	TN
852	9310460.512	180784.047	2175.265	C
853	9310460.51	180784.054	2175.265	C
854	9310460.51	180784.054	2175.266	C
855	9310462.08	180781.703	2175.265	TN
856	9310461.924	180783.434	2175.385	TN
857	9310462.166	180785.762	2175.514	TN
858	9310462.506	180789.284	2175.459	TN
859	9310462.512	180790.438	2175.409	TN
860	9310452.032	180783.68	2174.388	C
861	9310452.032	180783.675	2174.387	C
862	9310452.034	180783.667	2174.385	C
863	9310453.86	180782.012	2174.3	TN
864	9310453.881	180783.072	2174.517	TN
865	9310453.542	180786.637	2174.627	TN
866	9310453.205	180790.358	2174.555	TN
867	9310453.345	180791.587	2174.379	TN
868	9310440.843	180782.928	2173.137	C
869	9310440.839	180782.947	2173.142	C
870	9310440.838	180782.955	2173.144	C
871	9310442.382	180781.627	2173.092	TN
872	9310442.273	180782.433	2173.238	TN
873	9310441.747	180786.122	2173.415	TN
874	9310441.021	180789.971	2173.337	TN
875	9310440.986	180791.556	2173.177	TN
876	9310429.848	180781.81	2171.915	C
877	9310429.848	180781.809	2171.916	C
878	9310429.847	180781.808	2171.916	C
879	9310431.225	180780.13	2171.717	TN
880	9310430.942	180781.517	2172.011	TN
881	9310430.778	180784.544	2172.231	TN
882	9310430.495	180789.225	2172.223	TN
883	9310430.371	180789.885	2172.236	TN
884	9310420.661	180780.838	2170.9	C
885	9310420.661	180780.85	2170.903	C
886	9310420.66	180780.86	2170.906	C
887	9310421.95	180777.908	2170.604	TN
888	9310421.772	180779.787	2170.885	TN
889	9310421.373	180783.585	2171.167	TN
890	9310420.819	180787.434	2171.096	TN
891	9310420.655	180788.017	2171.157	TN

892	9310409.648	180781.117	2169.748	C
893	9310409.648	180781.126	2169.751	C
894	9310409.649	180781.096	2169.742	C
895	9310411.631	180776.364	2169.384	TN
896	9310411.548	180778.025	2169.673	TN
897	9310411.019	180780.65	2169.877	TN
898	9310410.789	180784.037	2169.906	TN
899	9310410.636	180784.913	2169.901	TN
900	9310390.743	180773.698	2167.526	C
901	9310390.742	180773.71	2167.535	C
902	9310390.742	180773.714	2167.536	C
903	9310397.052	180772.582	2167.676	TN
904	9310397.052	180772.617	2167.686	TN
905	9310396.402	180774.257	2168.038	TN
906	9310396.013	180776.604	2168.254	TN
907	9310395.653	180778.77	2168.399	TN
908	9310395.476	180779.886	2168.382	TN
909	9310379.957	180772.804	2166.704	C
910	9310379.957	180772.803	2166.703	C
911	9310379.957	180772.806	2166.702	C
912	9310385.714	180768.597	2166.553	TN
913	9310385.405	180770.307	2166.851	TN
914	9310384.907	180772.565	2167.114	TN
915	9310384.379	180774.963	2167.178	TN
916	9310384.218	180775.922	2167.075	TN
917	9310369.232	180762.532	2164.994	C
918	9310369.233	180762.539	2164.997	C
919	9310369.233	180762.539	2164.997	C
920	9310374.556	180763.177	2165.212	TN
921	9310373.915	180764.641	2165.475	TN
922	9310373.113	180766.437	2165.772	TN
923	9310372.219	180769.117	2166.067	TN
924	9310371.864	180770.373	2165.938	TN
925	9310358.498	180752.484	2163.806	C
926	9310358.497	180752.483	2163.811	C
927	9310358.494	180752.477	2163.818	C
928	9310365.55	180753.487	2163.437	TN
929	9310364.144	180753.891	2163.822	TN
930	9310361.582	180755.161	2164.078	TN
931	9310358.826	180756.069	2164.227	TN
932	9310357.587	180756.705	2164.201	TN
933	9310359.343	180739.888	2162.26	C
934	9310359.347	180739.911	2162.267	C
935	9310359.342	180739.885	2162.26	C
936	9310364.198	180744.33	2162.3	TN
937	9310362.461	180744.415	2162.626	TN
938	9310359.764	180744.205	2162.816	TN

939	9310356.951	180744.378	2162.902	TN
940	9310355.675	180744.525	2162.833	TN
941	9310370.961	180721.198	2159.496	C
942	9310370.959	180721.2	2159.502	C
943	9310370.96	180721.227	2159.517	C
944	9310364.951	180736.442	2161.263	TN
945	9310363.137	180736.106	2161.558	TN
946	9310360.503	180735.698	2161.693	TN
947	9310358.306	180735.205	2161.627	TN
948	9310357.444	180735.145	2161.578	TN
949	9310389.288	180708.892	2157.541	C
950	9310389.286	180708.853	2157.532	C
951	9310389.285	180708.849	2157.532	C
952	9310368.164	180728.963	2160.039	TN
953	9310366.733	180727.876	2160.334	TN
954	9310365.033	180726.644	2160.477	TN
955	9310363.022	180725.927	2160.535	TN
956	9310372.076	180724.753	2159.327	TN
957	9310370.685	180721.215	2159.531	TN
958	9310368.946	180719.731	2159.515	TN
959	9310374.727	180722.73	2159.037	TN
960	9310374.723	180722.692	2159.025	TN
961	9310374.015	180721.531	2159.178	TN
962	9310371.865	180719.304	2159.277	TN
963	9310371.035	180717.513	2159.119	TN
964	9310459.456	180672.364	2153.323	C
965	9310459.454	180672.374	2153.325	C
966	9310459.447	180672.41	2153.337	C
967	9310378.289	180719.569	2158.677	TN
968	9310377.747	180718.46	2158.732	TN
969	9310375.834	180716.602	2158.861	TN
970	9310374.485	180715.2	2158.814	TN
971	9310461.392	180660.177	2153.238	C
972	9310461.391	180660.181	2153.239	C
973	9310461.389	180660.189	2153.242	C
974	9310381.406	180717.461	2158.49	TN
975	9310380.751	180716.039	2158.383	TN
976	9310380.629	180713.193	2158.385	TN
977	9310380.358	180710.628	2158.255	TN
978	9310462.321	180651.027	2153.447	C
979	9310462.319	180651.032	2153.448	C
980	9310462.32	180651.025	2153.446	C
981	9310458.159	180641.604	2153.994	C
982	9310458.16	180641.598	2153.993	C
983	9310458.159	180641.602	2153.993	C
984	9310455.587	180688.796	2153.116	TN
985	9310455.146	180688.727	2153.281	TN

986	9310453.427	180688.27	2153.361	TN
987	9310451.361	180687.793	2153.331	TN
988	9310450.293	180687.518	2153.359	TN
989	9310458.186	180679.858	2153.098	TN
990	9310457.39	180679.73	2153.3	TN
991	9310455.961	180679.349	2153.37	TN
992	9310453.299	180678.278	2153.129	TN
993	9310457.728	180600.835	2154.41	C
994	9310457.727	180600.84	2154.411	C
995	9310457.724	180600.84	2154.418	C
996	9310460.965	180672.614	2153.171	TN
997	9310460.135	180672.46	2153.295	TN
998	9310458.645	180671.878	2153.342	TN
999	9310456.625	180671.211	2153.258	TN
1000	9310459.126	180591.895	2153.849	C
1001	9310459.127	180591.89	2153.849	C
1002	9310459.13	180591.882	2153.855	C
1003	9310465.335	180652.898	2153.318	TN
1004	9310464.313	180653.079	2153.511	TN
1005	9310462.564	180653.397	2153.477	TN
1006	9310459.871	180653.131	2153.301	TN
1007	9310458.475	180653.112	2153.132	TN
1008	9310458.483	180581.105	2153.109	C
1009	9310458.48	180581.116	2153.117	C
1010	9310458.484	180581.099	2153.097	C
1011	9310461.013	180638.013	2154	TN
1012	9310458.647	180638.422	2154.162	TN
1013	9310455.288	180638.226	2153.815	TN
1014	9310451.594	180562.497	2151.998	C
1015	9310451.593	180562.494	2152.015	C
1016	9310451.589	180562.493	2152.031	C
1017	9310457.381	180617.996	2155.055	TN
1018	9310456.29	180618.124	2155.02	TN
1019	9310453.781	180618.192	2155.248	TN
1020	9310451.853	180618.39	2155.232	TN
1021	9310450.994	180618.46	2155.267	TN
1022	9310460.441	180594.515	2153.905	TN
1023	9310459.187	180594.477	2154.038	TN
1024	9310457.266	180594.314	2154.063	TN
1025	9310454.915	180593.932	2153.949	TN
1026	9310455.113	180539.773	2150.343	TN
1027	9310456.612	180542.754	2150.758	TN
1028	9310457.583	180544.553	2150.704	TN
1029	9310459.012	180547.128	2150.586	TN
1030	9310459.341	180548.034	2150.329	TN
1031	9310460.333	180548.977	2151.895	TN
1032	9310463.91	180582.723	2153.339	TN

1033	9310462.453	180581.445	2153.457	TN
1034	9310461.297	180580.432	2153.387	TN
1035	9310446.365	180550.815	2151.082	TN
1036	9310450.41	180552.167	2151.434	TN
1037	9310452.338	180552.637	2151.402	TN
1038	9310454.682	180553.24	2151.267	TN
1039	9310455.287	180553.575	2151.057	TN
1040	9310456.206	180553.665	2152.166	TN
1041	9310465.832	180578.842	2153.574	TN
1042	9310464.327	180577.271	2153.859	TN
1043	9310462.693	180575.78	2153.763	TN
1044	9310448.44	180562.37	2151.923	TN
1045	9310450.626	180562.09	2151.956	TN
1046	9310452.283	180561.528	2151.86	TN
1047	9310454.409	180561.144	2151.74	TN
1048	9310455.375	180561.052	2151.552	TN
1049	9310456.609	180560.832	2152.43	TN
1050	9310469.355	180572.901	2154.208	TN
1051	9310467.621	180571.495	2154.39	TN
1052	9310465.718	180569.819	2154.305	TN
1053	9310462.435	180566.355	2154.522	TN
1054	9310451.361	180571.047	2152.164	TN
1055	9310453.116	180570.811	2152.265	TN
1056	9310454.578	180570.227	2152.346	TN
1057	9310456.699	180569.617	2152.216	TN
1058	9310457.815	180569.321	2152.069	TN
1059	9310458.868	180569.023	2152.797	TN
1060	9310475.224	180566.454	2154.442	TN
1061	9310473.232	180564.525	2154.482	TN
1062	9310471.683	180562.485	2154.309	TN
1063	9310469.016	180557.092	2154.362	TN
1064	9310454.022	180579.582	2152.419	TN
1065	9310454.025	180579.565	2152.413	TN
1066	9310455.456	180579.54	2152.839	TN
1067	9310456.858	180579.226	2152.919	TN
1068	9310459.192	180579.057	2152.954	TN
1069	9310460.075	180579.014	2152.85	TN
1070	9310461.54	180579.224	2153.447	TN
1071	9310463.689	180555.45	2152.947	TN
1072	9310460.778	180554.245	2152.656	TN
1073	9310460.017	180561.859	2152.991	TN
1074	9310457.344	180561.119	2152.608	TN
1075	9310458.604	180565.737	2152.753	TN
1076	9310463.975	180555.271	2152.909	P8
1077	9310542.944	180924.955	2220.428	C
1078	9310542.933	180924.967	2220.43	C
1079	9310542.942	180924.957	2220.429	C

1080	9310556.558	180920.606	2218.102	ALC
1081	9310555.765	180919.062	2218.555	TN
1082	9310554.811	180916.916	2218.579	TN
1083	9310553.217	180914.344	2218.508	TN
1084	9310562.062	180913.753	2217.639	C
1085	9310562.059	180913.758	2217.647	C
1086	9310562.058	180913.76	2217.649	C
1087	9310568.422	180915.705	2216.66	TN
1088	9310567.813	180913.982	2217.066	TN
1089	9310566.814	180911.778	2217.118	TN
1090	9310565.255	180908.395	2216.865	TN
1091	9310581.091	180906.648	2215.343	C
1092	9310581.091	180906.649	2215.345	C
1093	9310581.093	180906.643	2215.341	C
1094	9310585.067	180910.564	2215.063	TN
1095	9310583.971	180909.06	2215.167	TN
1096	9310582.771	180906.222	2215.225	TN
1097	9310581.296	180903.232	2214.909	TN
1098	9310593.739	180896.835	2213.405	C
1099	9310593.738	180896.837	2213.407	C
1100	9310593.741	180896.829	2213.406	C
1101	9310598.986	180900.631	2213.204	TN
1102	9310598.06	180899.607	2213.523	TN
1103	9310595.857	180897.65	2213.48	TN
1104	9310593.036	180895.028	2213.178	TN
1105	9310601.8	180882.962	2211.413	C
1106	9310601.8	180882.965	2211.413	C
1107	9310601.798	180882.974	2211.413	C
1108	9310610.812	180885.745	2209.602	TN
1109	9310607.411	180883.536	2211.402	TN
1110	9310604.573	180882.11	2211.4	TN
1111	9310600.86	180880.54	2211.156	TN
1112	9310597.387	180879.066	2211.262	TN
1113	9310610.751	180872.359	2209.959	C
1114	9310610.749	180872.382	2209.96	C
1115	9310610.747	180872.365	2209.96	C
1116	9310613.505	180870.025	2208.508	TN
1117	9310611.471	180868.488	2209.678	TN
1118	9310609.221	180867.392	2209.619	TN
1119	9310606.16	180866.231	2209.329	TN
1120	9310602.667	180864.581	2209.311	TN
1121	9310612.422	180860.603	2208.698	C
1122	9310612.422	180860.601	2208.7	C
1123	9310612.42	180860.584	2208.699	C
1124	9310620.148	180859.273	2207.188	TN
1125	9310617.717	180858.485	2208.284	TN
1126	9310615.498	180857.024	2208.281	TN

1127	9310611.726	180855.219	2207.835	TN
1128	9310609.715	180853.995	2207.514	TN
1129	9310620.087	180843.599	2206.548	C
1130	9310620.089	180843.599	2206.548	C
1131	9310620.094	180843.599	2206.547	C
1132	9310624.845	180847.981	2206.264	TN
1133	9310623.19	180847.632	2206.916	TN
1134	9310620.564	180846.786	2206.976	TN
1135	9310617.793	180845.788	2206.788	TN
1136	9310616.257	180845.173	2206.541	TN
1137	9310624.636	180821.124	2205.058	TN
1138	9310623.349	180822.475	2204.916	TN
1139	9310621.484	180824.478	2204.923	TN
1140	9310619.272	180827.483	2204.667	TN
1141	9310629.184	180836.47	2205.951	TN
1142	9310627.258	180836.373	2206.039	TN
1143	9310624.322	180836.032	2206.001	TN
1144	9310621.204	180835.901	2205.702	TN
1145	9310619.872	180834.807	2205.169	TN
1146	9310628.785	180827.455	2205.414	TN
1147	9310626.715	180828.393	2205.429	TN
1148	9310624.353	180829.793	2205.403	TN
1149	9310620.882	180831.391	2205.113	TN
1150	9310632.107	180837.515	2209.379	TN
1151	9310630.574	180837.374	2206.817	TN
1152	9310628.157	180849.678	2211.982	TN
1153	9310624.915	180848.405	2206.743	TN
1154	9310623.415	180860.976	2213.125	TN
1155	9310621.353	180858.359	2207.996	TN
1156	9310620.742	180870.045	2215.074	TN
1157	9310618.813	180867.087	2210.019	TN
1158	9310626.993	180885.158	2221.078	TN
1159	9310618.21	180899.442	2223.028	TN
1160	9310612.35	180899.915	2221.974	TN
1161	9310611.412	180888.807	2212.281	TN
1162	9310614.292	180876.342	2210.597	TN
1163	9310597.951	180907.519	2215.558	TN
1164	9310569.161	180919.915	2224.061	TN
1165	9310382.359	180710.201	2158.173	p07
1166	9310392.608	180710.593	2157.042	TN
1167	9310392.588	180709.429	2157.273	TN
1168	9310391.965	180707.69	2157.349	TN
1169	9310391.155	180705.839	2157.414	TN
1170	9310397.813	180707.756	2156.838	C
1171	9310397.81	180707.756	2156.838	C
1172	9310401.352	180708.84	2156.238	TN
1173	9310401.052	180707.645	2156.646	TN

1174	9310400.985	180705.511	2156.682	TN
1175	9310400.452	180703.543	2156.548	TN
1176	9310399.746	180701.306	2156.503	TN
1177	9310409.889	180706.559	2156.042	C
1178	9310409.889	180706.559	2156.041	C
1179	9310409.882	180706.56	2156.042	C
1180	9310408.698	180708.516	2155.902	TN
1181	9310408.596	180707.308	2156.196	TN
1182	9310408.647	180705.494	2156.173	TN
1183	9310408.255	180703.738	2156.141	TN
1184	9310407.526	180700.514	2155.732	TN
1185	9310421.406	180707.244	2155.273	C
1186	9310421.411	180707.244	2155.273	C
1187	9310421.414	180707.244	2155.273	C
1188	9310419.203	180709.085	2155.309	TN
1189	9310419.21	180707.828	2155.445	TN
1190	9310419.304	180705.789	2155.466	TN
1191	9310418.939	180703.573	2155.301	TN
1192	9310419.089	180702.085	2155.159	TN
1193	9310431.88	180707.559	2154.637	C
1194	9310431.876	180707.56	2154.637	C
1195	9310431.872	180707.56	2154.638	C
1196	9310430.554	180708.853	2154.526	TN
1197	9310430.764	180707.938	2154.741	TN
1198	9310431.081	180705.934	2154.754	TN
1199	9310431.255	180704.142	2154.657	TN
1200	9310431.365	180702.636	2154.553	TN
1201	9310443.538	180708.31	2154.013	C
1202	9310443.548	180708.31	2154.013	C
1203	9310443.554	180708.31	2154.012	C
1204	9310441.797	180708.59	2154.173	TN
1205	9310441.508	180706.863	2154.087	TN
1206	9310440.927	180704.255	2153.83	TN
1207	9310440.835	180702.688	2153.774	TN
1208	9310451.856	180703.038	2153.201	TN
1209	9310450.547	180702.156	2153.44	TN
1210	9310449.714	180701.545	2153.455	TN
1211	9310448.667	180700.729	2153.434	TN
1212	9310447.909	180700.163	2152.971	TN
1213	9310452.629	180699.137	2153.243	ALC
1214	9310449.311	180697.557	2153.276	ALC
1215	9310456.439	180690.55	2153.721	TN
1216	9310455.352	180690.504	2153.051	TN
1217	9310454.717	180690.329	2153.214	TN
1218	9310453.129	180690.109	2153.318	TN
1219	9310450.836	180689.576	2153.272	TN
1220	9310450.27	180689.346	2153.135	TN

1221	9310456.337	180687.874	2153.309	TN
1222	9310455.145	180687.551	2153.322	TN
1223	9310453.384	180687.295	2153.374	TN
1224	9310451.474	180687.017	2153.341	TN
1225	9310449.793	180686.391	2153.178	TN
1226	9310381.74	180708.461	2158.464	TN
1227	9310381.258	180707.879	2159.315	TN
1228	9310385.54	180706.976	2157.903	TN
1229	9310385.849	180704.396	2159.501	TN
1230	9310388.315	180703.722	2159.235	TN
1231	9310383.536	180716.94	2160.099	TN
1232	9310388.444	180713.525	2159.629	TN
1233	9310543.421	180497.318	2137.31	p08
1234	9310461.681	180546.937	2150.248	TN
1235	9310471.051	180540.836	2149.216	TN
1236	9310475.167	180543.252	2148.449	TN
1237	9310475.191	180539.999	2148.709	TN
1238	9310474.91	180538.408	2148.663	TN
1239	9310484.442	180542.961	2147.836	TN
1240	9310484.069	180541.906	2147.204	TN
1241	9310483.796	180540.872	2147.481	TN
1242	9310483.23	180538.938	2147.497	TN
1243	9310482.482	180536.461	2147.342	TN
1244	9310481.507	180534.619	2147.266	TN
1245	9310488.595	180540.863	2146.544	TN
1246	9310487.552	180537.067	2146.72	TN
1247	9310485.253	180532.375	2146.354	TN
1248	9310497.489	180537.828	2145.82	TN
1249	9310497.052	180537.047	2145.102	TN
1250	9310496.623	180536.124	2145.373	TN
1251	9310495.684	180534.678	2145.419	TN
1252	9310494.699	180533.36	2145.417	TN
1253	9310492.691	180530.179	2144.953	TN
1254	9310501.074	180535.308	2144.725	TN
1255	9310499.065	180531.858	2144.881	TN
1256	9310496.443	180527.578	2144.48	TN
1257	9310508.793	180530.887	2144.253	TN
1258	9310508.273	180530.123	2143.524	TN
1259	9310507.743	180529.328	2143.757	TN
1260	9310506.794	180527.851	2143.755	TN
1261	9310505.887	180526.543	2143.704	TN
1262	9310504.026	180523.014	2143.303	TN
1263	9310512.258	180527.596	2142.93	TN
1264	9310510.326	180524.358	2143.006	TN
1265	9310507.961	180520.208	2142.748	TN
1266	9310520.718	180523.022	2142.481	TN
1267	9310519.991	180522.187	2141.365	TN

1268	9310519.575	180521.537	2141.586	TN
1269	9310518.678	180520.123	2141.61	TN
1270	9310517.645	180518.701	2141.546	TN
1271	9310514.729	180514.67	2141.62	TN
1272	9310523.678	180519.511	2140.721	TN
1273	9310521.835	180516.466	2140.957	TN
1274	9310519.724	180512.169	2140.377	TN
1275	9310531.423	180515.621	2141.532	TN
1276	9310530.87	180514.523	2139.756	TN
1277	9310530.26	180513.683	2139.971	TN
1278	9310529.548	180512.361	2139.982	TN
1279	9310528.503	180510.836	2139.963	TN
1280	9310525.999	180507.046	2139.716	TN
1281	9310536.372	180511.958	2139.269	TN
1282	9310534.162	180507.838	2139.353	TN
1283	9310531.076	180503.116	2138.968	TN
1284	9310544.779	180508.575	2139.382	TN
1285	9310544.383	180507.308	2137.962	TN
1286	9310543.953	180506.63	2138.158	TN
1287	9310543.036	180505.461	2138.152	TN
1288	9310542.032	180503.271	2137.966	TN
1289	9310539.913	180500.102	2138.029	TN
1290	9310537.847	180497.442	2137.716	TN
1291	9310535.437	180492.899	2137.127	TN
1292	9310525.994	180488.196	2135.417	CASA
1293	9310528.042	180487.348	2135.534	TN
1294	9310529.229	180497.703	2136.825	CASA
1295	9310521.688	180500.218	2137.132	CASA
1296	9310535.141	180489.676	2136.978	CASA
1297	9310545.909	180484.08	2136.674	CASA
1298	9310541.422	180490.802	2137.039	TN
1299	9310547.322	180489.936	2136.968	TN
1300	9310554.288	180488.563	2136.813	TN
1301	9310562.382	180483.65	2136.591	TN
1302	9310552.848	180511.246	2137.823	TN
1303	9310551.406	180503.238	2137.46	TN
1304	9310550.448	180496.668	2137.251	TN
1305	9310555.475	180490.048	2137.086	CASA
1306	9310556.485	180506.109	2137.457	CASA
1307	181362	9310059.104	2337.1966	AM01
1308	181208.124	9310245.667	2316.8766	AM02
1309	181026.519	9310620.746	2282.8112	AM03
1310	180958.333	9310643.371	2256.3064	AM04
1311	181004.485	9310400.456	2236.8465	AM05
1312	180842.958	9310610.225	2209.0333	AM06
1313	180735.957	9310386.552	2162.6246	AM07
1314	180555.266	9310463.828	2152.9788	AM08

Anexo 7. Doce imágenes fotogramétricas representativas de las 2127 capturadas en campo con el UAS Phantom 4 RTK.

DJI_001 y 002



DJI_003 y 004



DJI_005 y 006



DJI_007 y 008



DJI_009 y 010



DJI_011 y 012

